

ABHANDLUNGEN
ZUR
GEOLOGISCHEN SPEZIALKARTE
VON
ELSASS - LOTHRINGEN.

Neue Folge. — Heft VI. Atlas.

NEUNUNDFÜNFZIG TAFELN IN LICHTDRUCK.

S TR A S S B U R G i. E.,
STRASSBURGER DRUCKEREI UND VERLAGSANSTALT
vormals R. SCHULTZ & Cie.
1905.

DIE VERSTEINERUNGEN
DER
EISENERZFORMATION

von

DEUTSCH-LOTHRINGEN UND LUXEMBURG.

von

E. W. BENECKE.

ATLAS.



STRASSBURG i. E.,
STRASSBURGER DRUCKEREI UND VERLAGSANSTALT
vorm. R. SCHULTZ & Cie.
1905.

Erklärung zu Tafel I.

Fig. 1. 1a. *Pentacrinus* cf. *personatus* QU. Oberer Teil der Erzformation, Esch. In natürlicher und doppelter Größe. Original in der Sammlung des Athenäum in Luxemburg. S. 77.

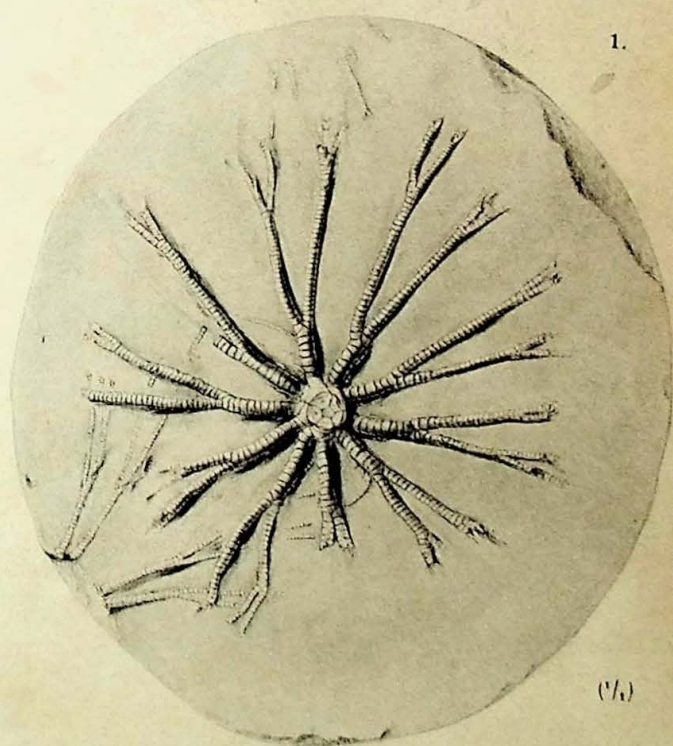
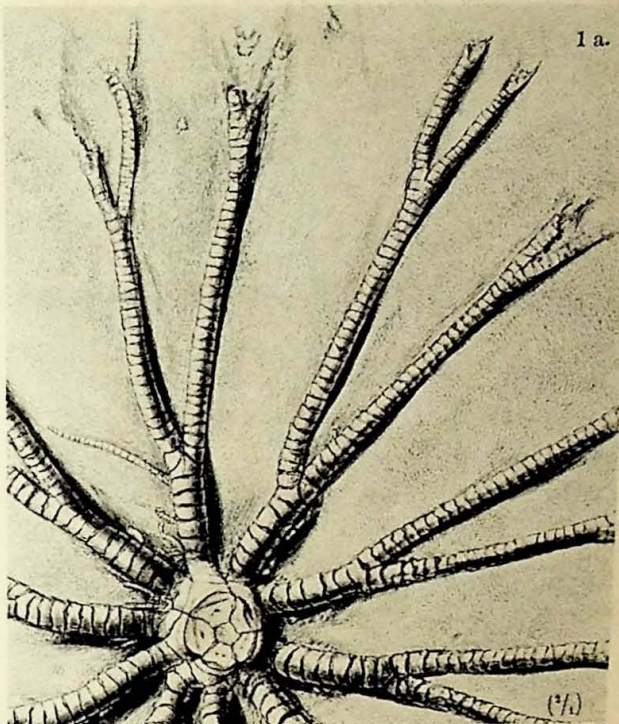
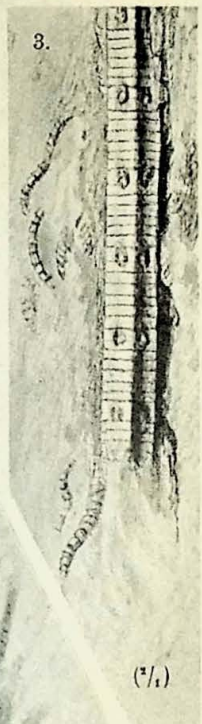
Fig. 2. *Pentacrinus* cf. *personatus* QU. Oberer Teil der Erzformation, Rombach. In doppelter Größe. Siehe Taf. II fig. 1. L. S. S. 79.

Fig. 3. *Pentacrinus* cf. *personatus* QU. Oberer Teil der Erzformation, Rombach. In doppelter Größe. Siehe Taf. II fig. 3. L. S. S. 79.

L. S. = Sammlung der geologischen Landesanstalt.

U. S. = Sammlung des geognostisch-palaeontologischen
Instituts der Universität.

S. S. = Straßburger städtische Sammlung, mit der vorigen
vereinigt.



Erklärung zu Tafel II.

Pentacrinus cf. *personatus* QU. Oberer Teil der Erzformation,
Rombach. Platte mit drei Kronen und einem Stiel-
fragment in natürlicher Größe. Fig. 1 u. 4 in doppelter
Größe auf Taf. I fig. 2 u. 3. L. S. S. 79.



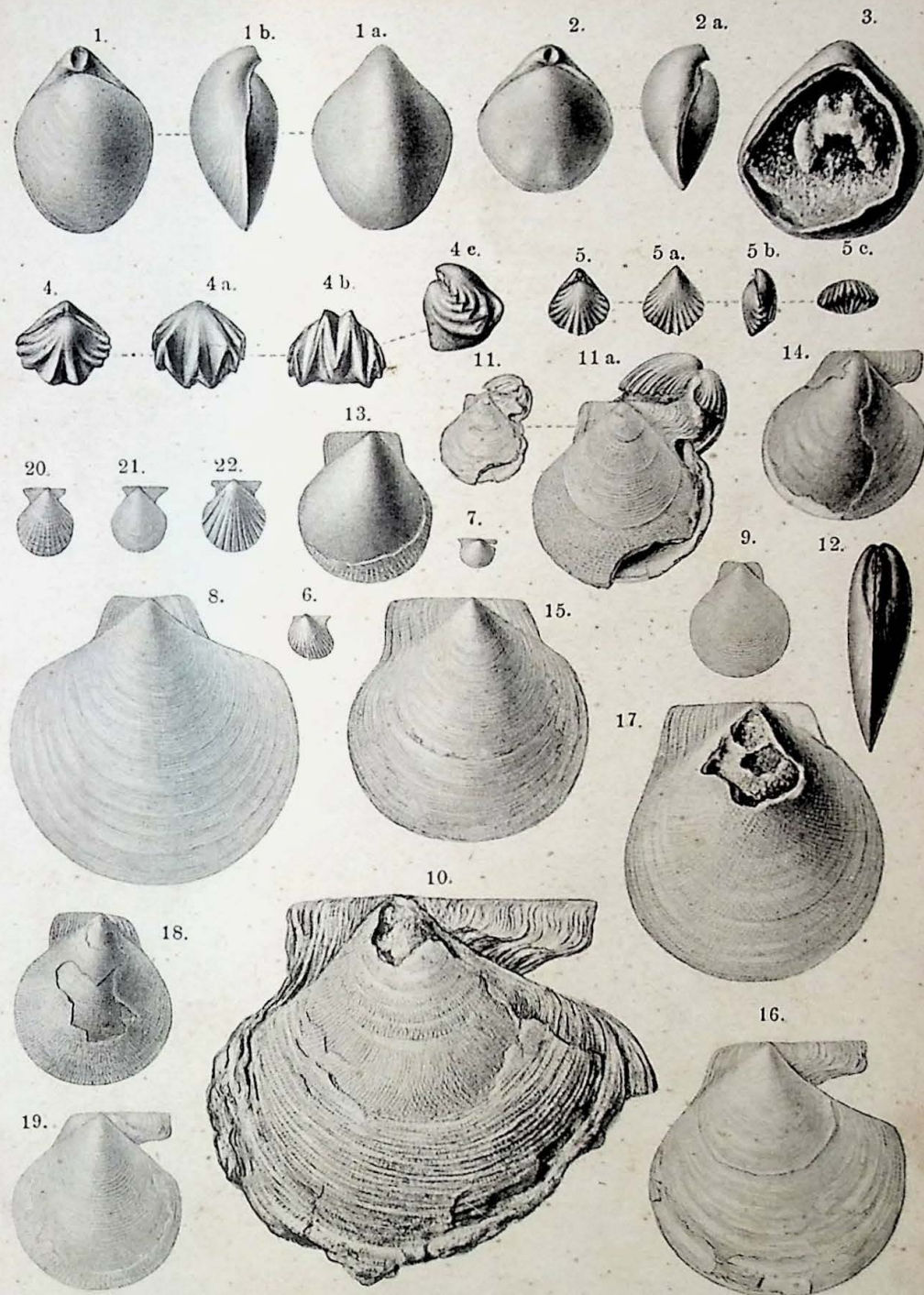


- Fig. 14. *Pecten (Camptonectes) lens* Sow. Rechte Klappe. Schwarzes Lager, Maringen. L. S. S. 99.
- Fig. 15. *Pecten (Camptonectes) lens* Sow. Linke Klappe. Rotsandiges Lager, Grube Ida Amalie bei Aumetz. L. S. S. 99.
- Fig. 16. *Pecten (Camptonectes) lens* Sow. Rechte Klappe. Rotsandiges Lager, Grube Ida Amalie bei Aumetz. L. S. S. 99.
- Fig. 17. *Pecten (Camptonectes) lens* Sow. Linke Klappe. Rotsandiges Lager, Esch. L. S. S. 99.
- Fig. 18. *Pecten (Camptonectes) lens* Sow. Linke Klappe. Rotsandiges Lager, Esch. L. S. S. 110.
- Fig. 19. *Pecten (Camptonectes) lens* Sow. Rechte Klappe. Rotsandiges Lager, Eisenkaul bei Esch. L. S. S. 99.
- Fig. 20. *Pecten (Variamussium) pumilus* LMCK. Linke Klappe. Rotsandiges Lager, Grube Ida Amalie bei Aumetz. L. S. S. 112.
- Fig. 21. *Pecten (Variamussium) pumilus* LMCK. Rechte Klappe. Rotsandiges Lager, Grube Ida Amalie bei Aumetz. L. S. S. 112.
- Fig. 22. *Pecten (Variamussium) pumilus* LMCK. Steinkern der rechten Klappe. Rotsandiges Lager, Esch. L. S. S. 112.

Erklärung zu Tafel III.

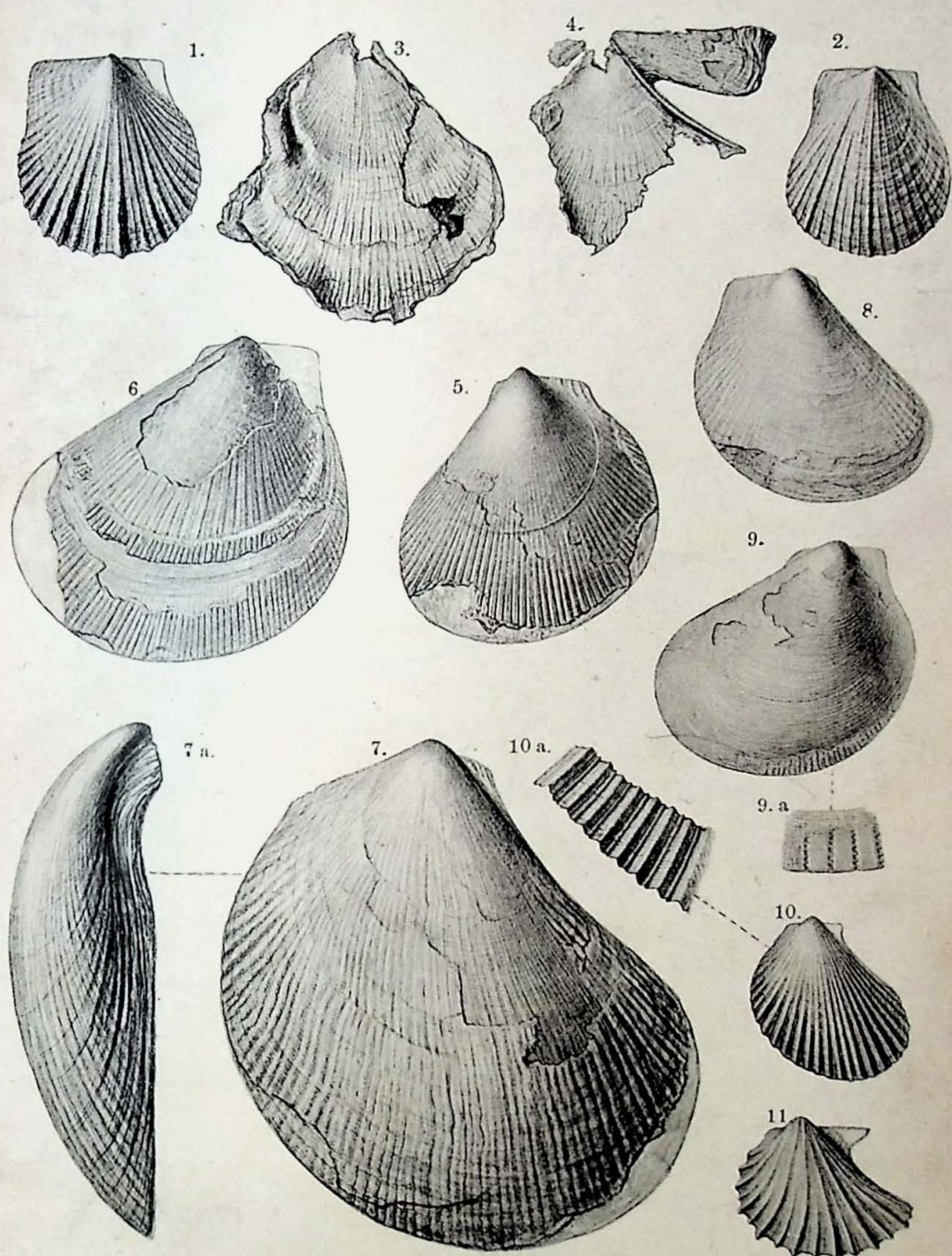
- Fig. 1. 1a. 1b. *Terebratula ovoides* Sow. Rotkalkiges Lager, Villerupt. L. S. S. 84.
- Fig. 2. 2a. *Terebratula infraoolithica* DESL. Rotkalkiges Lager, Villerupt. L. S. S. 85.
- Fig. 3. *Terebratula infraoolithica* DESL. Brachialapparat. Zwischen rotkalkigem und rotsandigem Lager. Esch. L. S. S. 85.
- Fig. 4. 4a. 4b. 4c. *Rhynchonella Friereni* BRANCO. Gelbes Lager des Saarschachtes bei Roncourt. L. S. S. 87.
- Fig. 5. 5a. 5b. 5c. *Rhynchonella Krammi* n. f. Rotsandiges Lager des Herrmannschachtes bei Arzweiler. L. S. S. 87.
- Fig. 6. *Pseudomonotis elegans* MNSTR. sp. Linke Klappe. Levesqueischichten, Bahneinschnitt Hayingen. L. S. S. 95.
- Fig. 7. *Pseudomonotis elegans* MNSTR. sp. Rechte Klappe. Gelbes Lager von Grube Pauline bei Montois-la-Montagne. L. S. S. 95.
- Fig. 8. *Pecten demissus* PHILL. Rotsandiges Lager, Grube Ida Amalie bei Aumetz. L. S. S. 97.
- Fig. 9. *Pecten spatulatus* (ROEM.) QU. Graues Lager, Grube Orne bei Moyeuvre. L. S. S. 98.
- Fig. 10. *Pecten (Camptonectes) lens* Sow. Rechte Klappe. Coralline Oolite von Malton, Jorksh. U. S. S. 99.
- Fig. 11. 11a. *Pecten subannulatus* SCHLIPPE. Rechte Klappe. Hauptoolith, Buchsweiler. L. S. S. 105.
- Fig. 12. *Pecten (Camptonectes) lens* Sow. Ansicht von vorn. Levesqueischichten, Stollen Burbach bei Algringen. L. S. S. 99.
- Fig. 13. *Pecten (Camptonectes) lens* Sow. Linke Klappe. Graues Lager, Ste. Marie-aux-Chênes. L. S. S. 99.

(Fortsetzung s. Rückseite.)



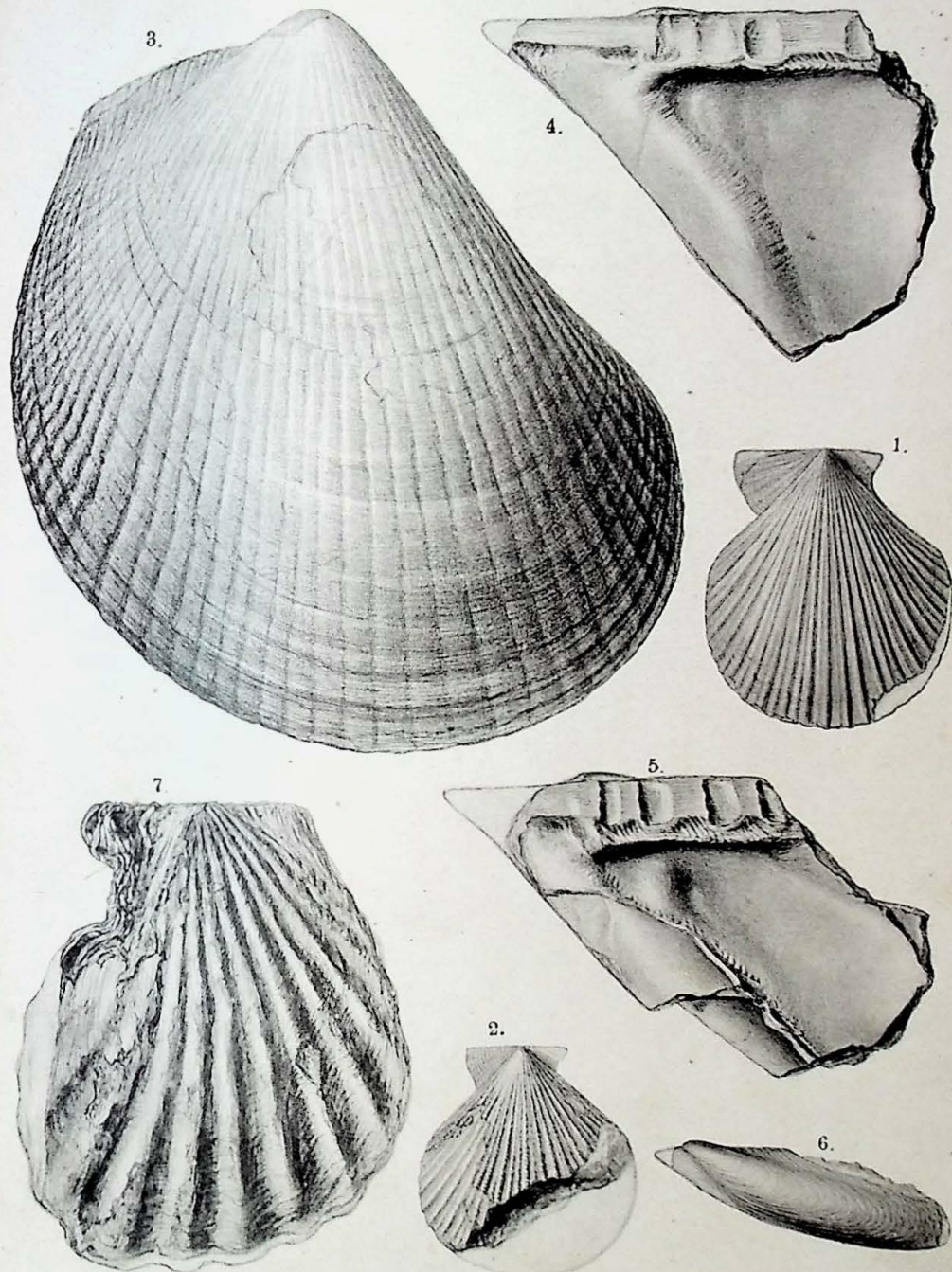
Erklärung zu Tafel IV.

- Fig. 1. *Velopecten tuberculosus* GLDF. sp. Linke Klappe. Rotsandiges Lager, Grube Ida Amalie bei Aumetz. L. S. S. 114.
- Fig. 2. *Velopecten tuberculosus* GLDF. sp. Linke Klappe. Rotsandiges Lager, Grube Ida Amalie bei Aumetz. L. S. S. 114.
- Fig. 3. *Velopecten tuberculosus* GLDF. sp. Rechte Klappe. Rotsandiges Lager, Grube Ida Amalie bei Aumetz. L. S. S. 114.
- Fig. 4. *Velopecten tuberculosus* GLDF. sp. Rechte Klappe. Rotsandiges Lager, Hermannschacht bei Arzweiler. L. S. S. 114.
- Fig. 5. *Lima (Plagiostoma) cardiformis* Sow. Linke Klappe. Rotsandiges Lager, Grube Ida Amalie bei Aumetz. L. S. S. 119.
- Fig. 6. *Lima (Plagiostoma) semicircularis* GLDF. Linke Klappe. Rotsandiges Lager, Grube Ida Amalie bei Aumetz. L. S. S. 117.
- Fig. 7. *Lima (Plagiostoma) Leesbergi* BRANCO. Rechte Klappe.
Fig. 7a. Rechte Klappe von vorn. Rotsandiges Lager, Grube Ida Amalie bei Aumetz. L. S. S. 120.
- Fig. 8. *Lima (Plagiostoma) ferruginea* n. f. Rechte Klappe. Rotsandiges Lager, Grube Ida Amalie bei Aumetz. L. S. S. 122.
- Fig. 9. *Lima (Plagiostoma) ferruginea* n. f. Linke Klappe.
Fig. 9a. Schalenoberfläche in 4facher Vergrößerung. Rotsandiges Lager, Grube Ida Amalie bei Aumetz. L. S. S. 122.
- Fig. 10. *Lima (Mantellum) duplicata* Sow. Rechte Klappe.
Fig. 10a. Schalenoberfläche in doppelter Vergrößerung. Graues Lager, Grube Orne, Moyeuvre. L. S. S. 124.
- Fig. 11. *Oxytoma inaequivale* Sow. sp. Linke Klappe. Zwischen beiden rotkalkigen Lagern, Villerupt. L. S. S. 91.



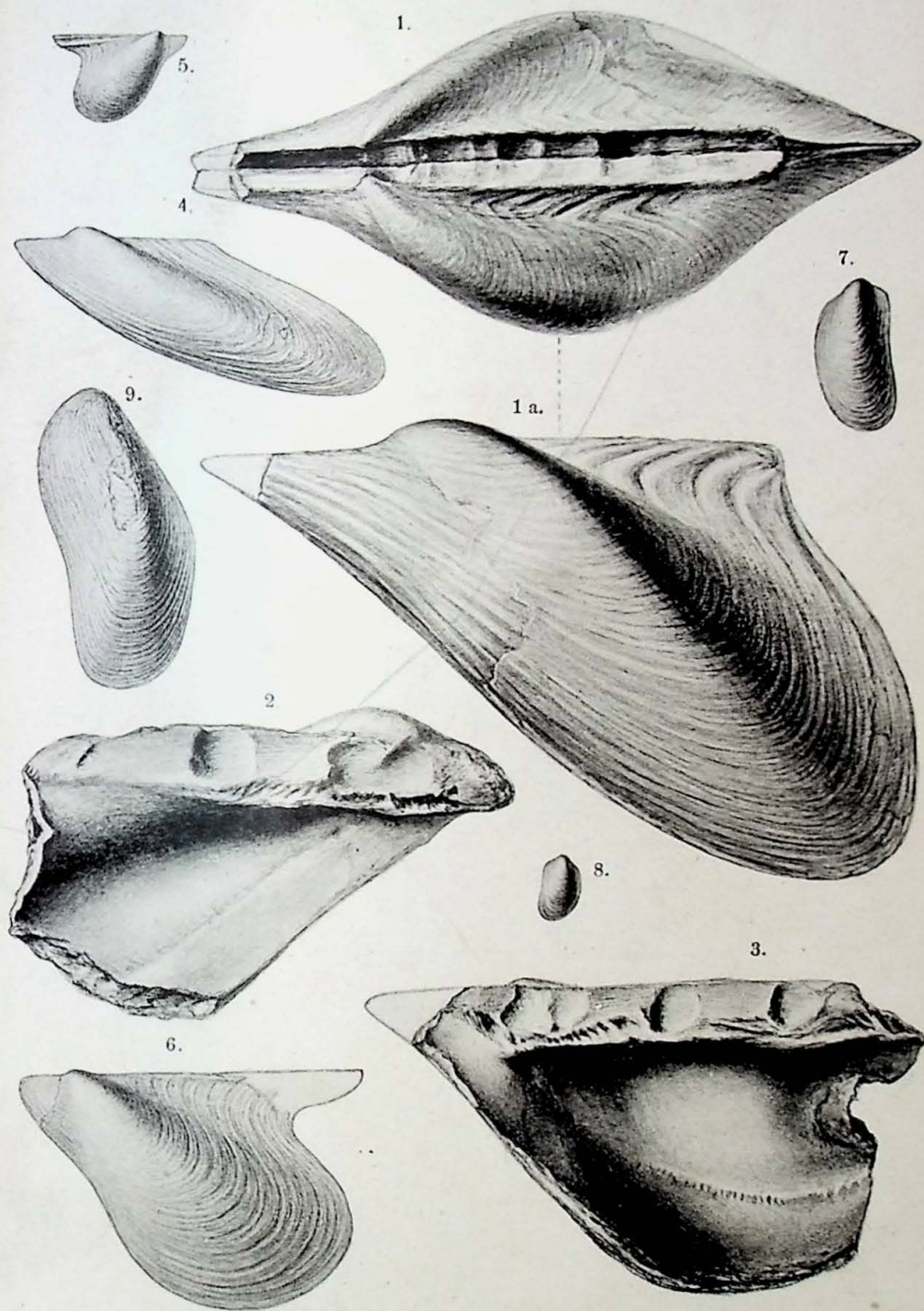
Erklärung zu Tafel V.

- Fig. 1. *Pecten (Chlamys) textorius* SCHL. Linke Klappe. Braunes Lager, Grube St. Michel bei Deutsch-Oth. L. S. S. 111.
- Fig. 2. *Pecten (Chlamys) textorius* SCHL. Linke Klappe. Braunes Lager, Grube St. Michel bei Deutsch-Oth. L. S. S. 111.
- Fig. 3. *Lima (Plagiostoma) Leesbergi* BRANCO. Rechte Klappe. Rotsandiges Lager, Esch. Original in der Sammlung des Athenäum in Luxemburg. S. 120.
- Fig. 4. *Gervilleia Hartmanni* GLDF. Rechte Klappe. Graues Lager, Stürzenberg bei Bevingen. L. S. S. 126.
- Fig. 5. *Gervilleia Hartmanni* GLDF. Rechte Klappe. Schichten des *Amm. opalinus*, Teufelsloch bei Boll. U. S. S. 126.
- Fig. 6. *Gervilleia* cf. *acuta* Sow. Linke Klappe. Gelbes Lager, Saarschacht bei Roncourt. L. S. S. 139.
- Fig. 7. *Clenostreon pectiniforme* SCHL. sp. Linke Klappe. Braunes Lager, Grube St. Michel bei Deutsch-Oth. L. S. S. 125.



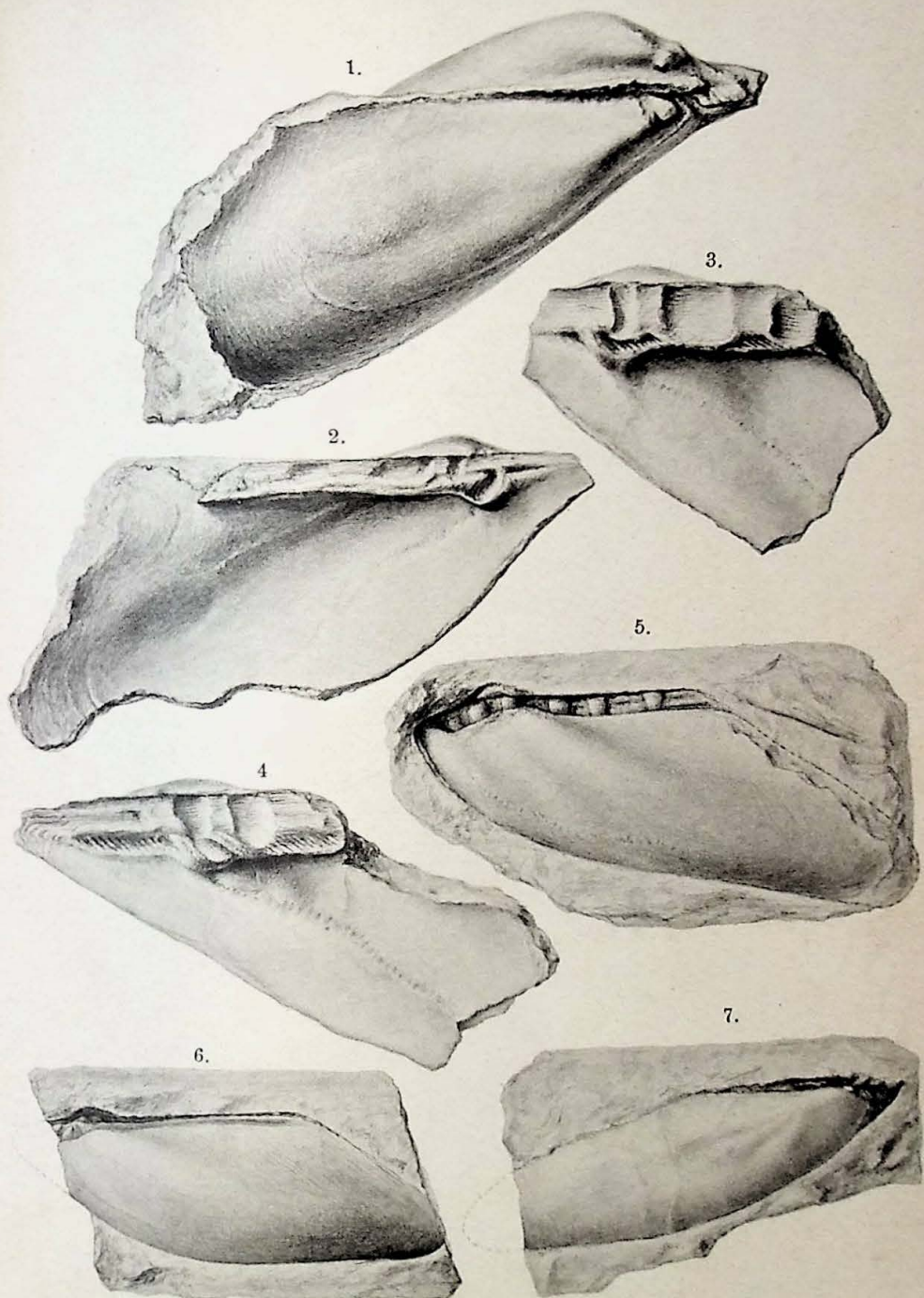
Erklärung zu Tafel VI.

- Fig. 1. *Gervilleia Hartmanni* GLDF. Ansicht der Oberseite.
Fig. 1a. Linke Klappe. Graues Lager, Stürzenberg bei Bevingen. L. S. S. 126.
- Fig. 2. *Gervilleia subtortuosa* OPP. Linke Klappe von innen. Graues Lager, Stürzenberg bei Bevingen. L. S. S. 132.
- Fig. 3. *Gervilleia subtortuosa* OPP. Rechte Klappe. Graues Lager, Stürzenberg bei Bevingen. L. S. S. 132.
- Fig. 4. *Gervilleia* sp. Linke Klappe. Rotsandiges Lager, Katzenberg bei Esch. L. S. S. 141.
- Fig. 5. *Gervilleia ? ferruginea* n. f. Rechte Klappe. Rotsandiges Lager, Esch. L. S. S. 142.
- Fig. 6. *Gervilleia ? ferruginea* n. f. Linke Klappe. Rotsandiges Lager, Esch. L. S. S. 142.
- Fig. 7. *Modiola gregaria* ZIET. Rechte Klappe. Graues Lager, Oberkorn. L. S. S. 165.
- Fig. 8. *Modiola gregaria* ZIET. Rechte Klappe. Graues Lager, Maringen bei Maizières. L. S. S. 165.
- Fig. 9. *Modiola cuneata* SOW. Linke Klappe. Rotsandiges Lager, Katzenberg bei Esch. L. S. S. 165.



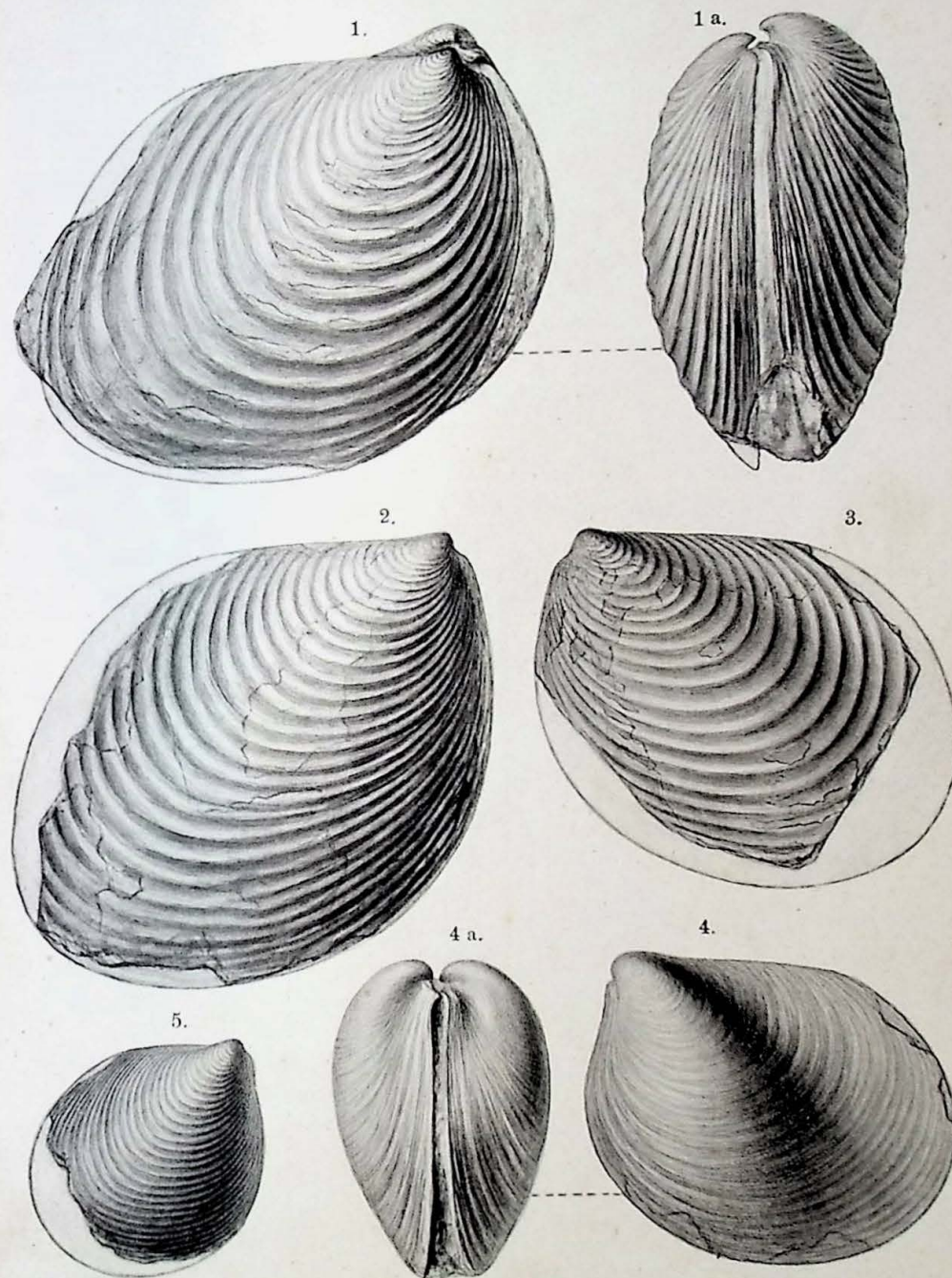
Erklärung zu Tafel VII.

- Fig. 1. *Gervilleia subtortuosa* OPP. Zwischen unterem und oberem rotkalkigem Lager, Nock bei Redingen. L. S. S. 132.
- Fig. 2. *Gervilleia Hartmanni* GLDF. Linke Klappe von innen. Über dem gelben Lager, Maringen bei Maizières. L. S. S. 126.
- Fig. 3. *Gervilleia Hartmanni* GLDF. Rechte Klappe von innen. Graues Lager, Stürzenberg bei Bevingen L. S. S. 126.
- Fig. 4. *Gervilleia Hartmanni* GLDF. Rechte Klappe von innen. Schichten der *Trigonia navis*, Gundershofen. U. S. S. 126.
- Fig. 5. *Gervilleia inflata* SCHAFH. Abdruck der linken Klappe. Rhät, Ferme Houdremont bei Château-Salins. L. S. S. 135.
- Fig. 6. *Gervilleia inflata* SCHAFH. Abdruck der linken Klappe. Rhät, Ferme Houdremont bei Château-Salins. L. S. S. 135.
- Fig. 7. *Gervilleia inflata* SCHAFH. Abdruck der rechten Klappe. Rhät, Kössen. U. S. S. 135.



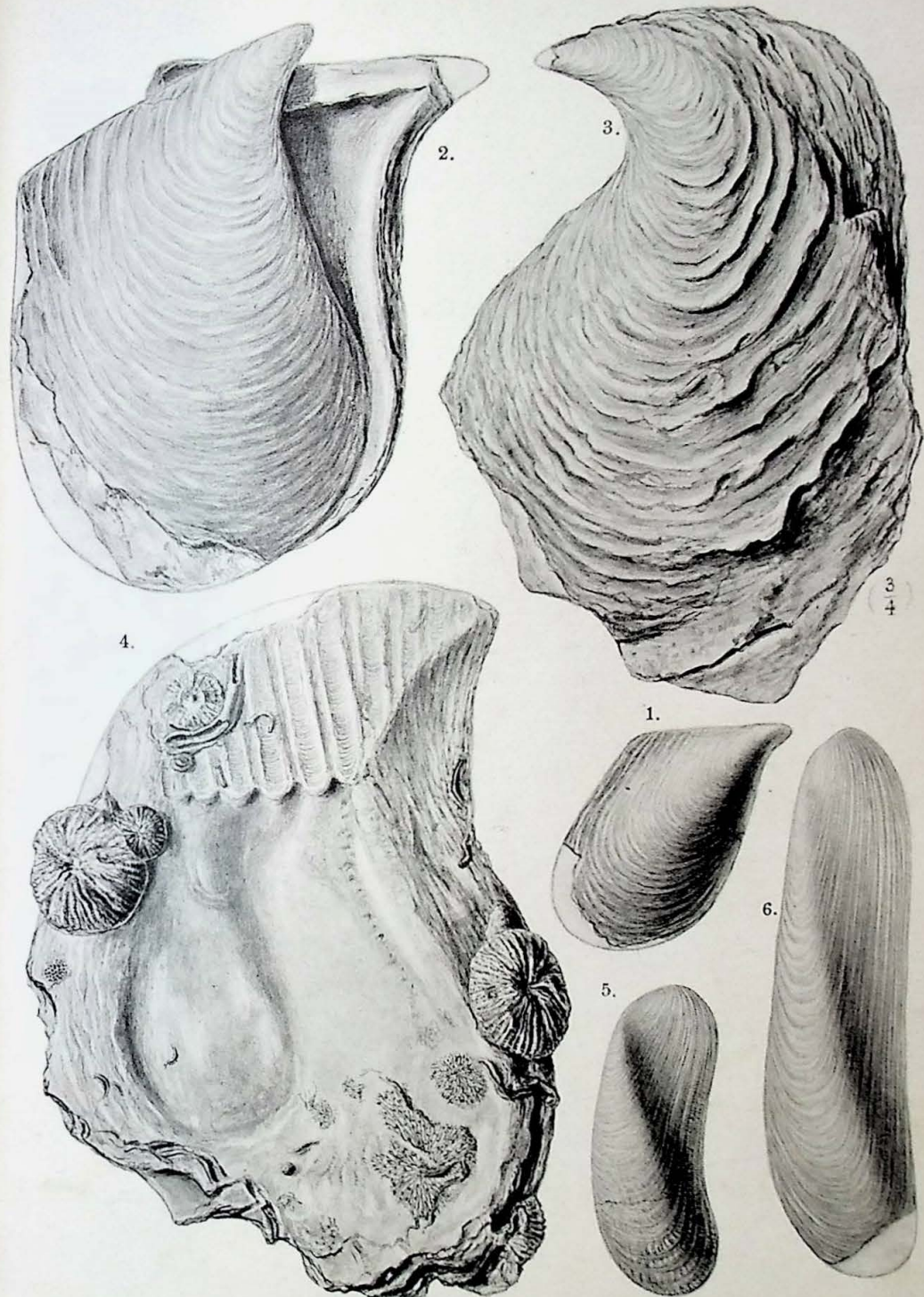
Erklärung zu Tafel VIII.

- Fig. 1. *Inoceramus polyplocus* F. ROEM. Rechte Klappe.
Fig. 1a. Ansicht von vorn. Schichten des *Inoceramus polyplocus*, Hildesheim. U. S. S. 145.
- Fig. 2. *Inoceramus polyplocus* F. ROEM. Rechte Klappe.
Schichten des *Ammonites Sowerbyi*, Luftschaft am Kartebusch bei Hayingen. L. S. S. 145.
- Fig. 3. *Inoceramus polyplocus* F. ROEM. Linke Klappe.
Schichten des *Ammonites Sowerbyi*, Stürzenberg bei Bevingen. L. S. S. 145.
- Fig. 4. *Inoceramus polyplocus* F. ROEM. Linke Klappe. Fig. 4a.
Ansicht von vorn. Schichten des *Ammonites Sowerbyi*, Monvaux. L. S. S. 145.
- Fig. 5. *Inoceramus polyplocus* F. ROEM. Rechte Klappe.
Schichten des *Ammonites Sowerbyi*, Monvaux. L. S. S. 145.



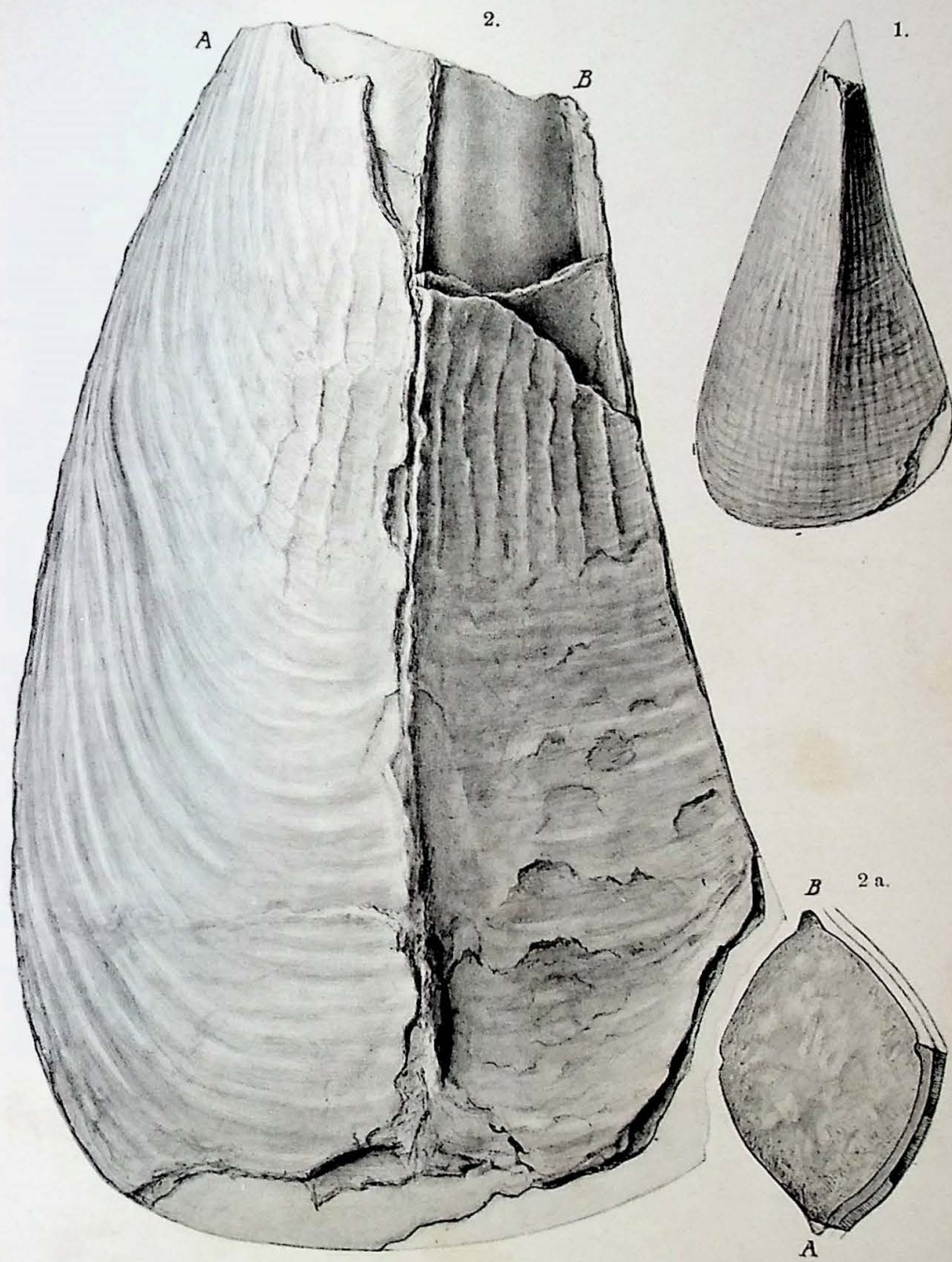
Erklärung zu Tafel IX.

- Fig. 1. *Perna isognomonoides* STAHL. Rechte Klappe. Braunes Lager, Grube St. Michel bei Deutsch-Oth. L. S. S. 144.
- Fig. 2. *Perna isognomonoides* STAHL. Ansicht der rechten Klappe von außen, der linken Klappe von innen. Braunes Lager, Grube St. Michel bei Deutsch-Oth. L. S. S. 144.
- Fig. 3. *Perna isognomonoides* STAHL. var. *crassitesta* GLDF. Linke Klappe. Schichten des *Ammonites Sowerbyi*, Col de Lessy bei Metz. L. S. S. 144.
- Fig. 4. *Perna isognomonoides* STAHL. var. *crassitesta* GLDF. Linke Klappe von innen, mit *Montlivaultia cf. sessilis* MNSTR. und *Berenicea* sp. Schichten des *Ammonites Sowerbyi*, Col de Lessy bei Metz. L. S. S. 144.
- Fig. 5. *Modiola Kochi* n. f. Rechte Klappe. Braunes Lager. Grube St. Michel bei Deutsch-Oth. L. S. S. 167.
- Fig. 6. *Modiola plicata* Sow. Rechte Klappe. Gelbes Lager, Saarschacht bei Roncourt. L. S. S. 168.
-



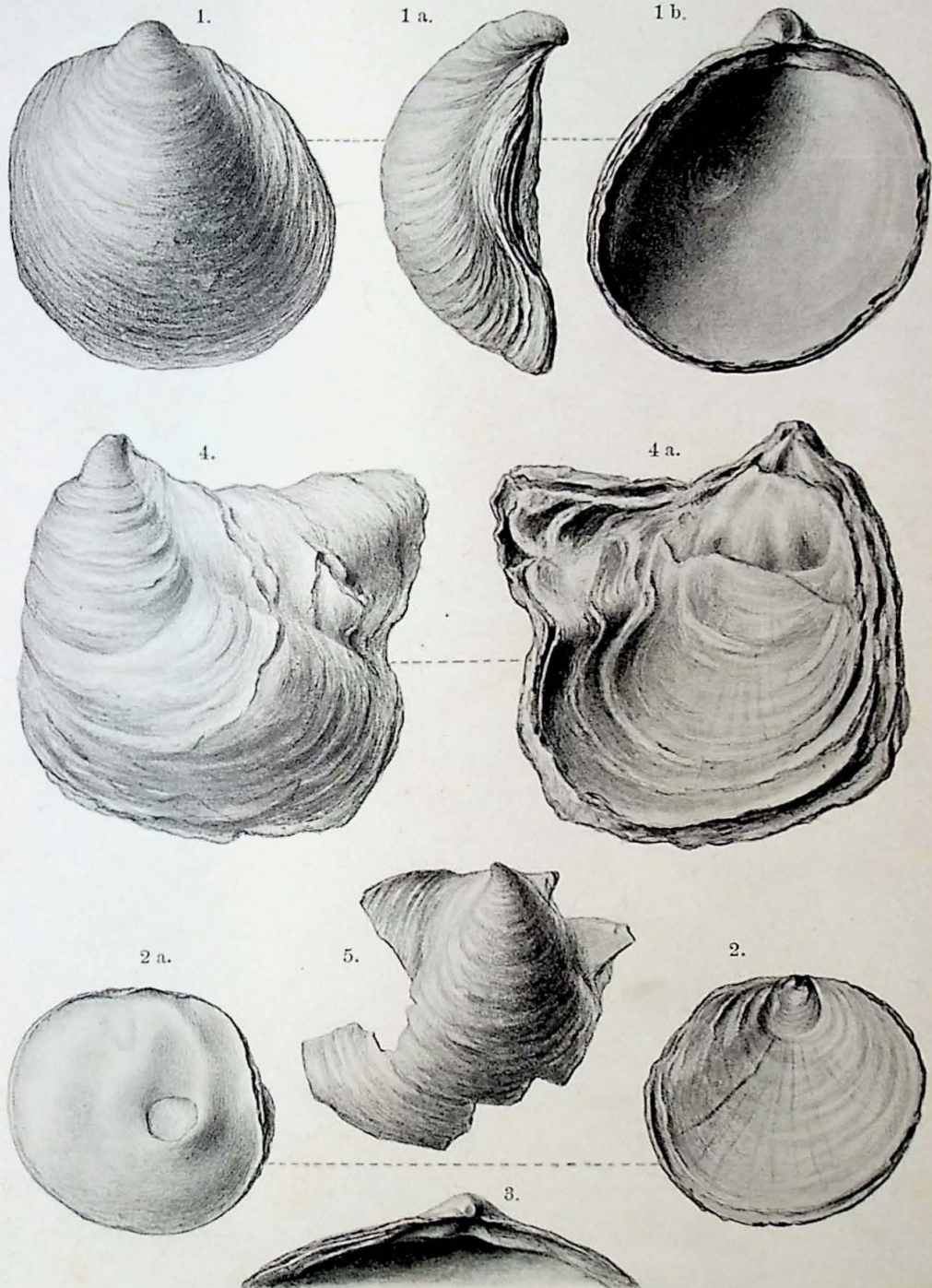
Erklärung zu Tafel X.

- Fig. 1. *Pinna opalina* QU. Linke Klappe. Rotsandiges Lager,
Rümelingen. L. S. S. 152.
- Fig. 2. *Pinna opalina* QU. Linke Klappe. Graues Lager, Stürzen-
berg bei Bevingen. L. S. S. 152.
- Fig. 3. *Pinna opalina* QU. Querschnitt am vorderen Ende des
Fig. 2 abgebildeten Exemplares. L. S. S. 152.
-



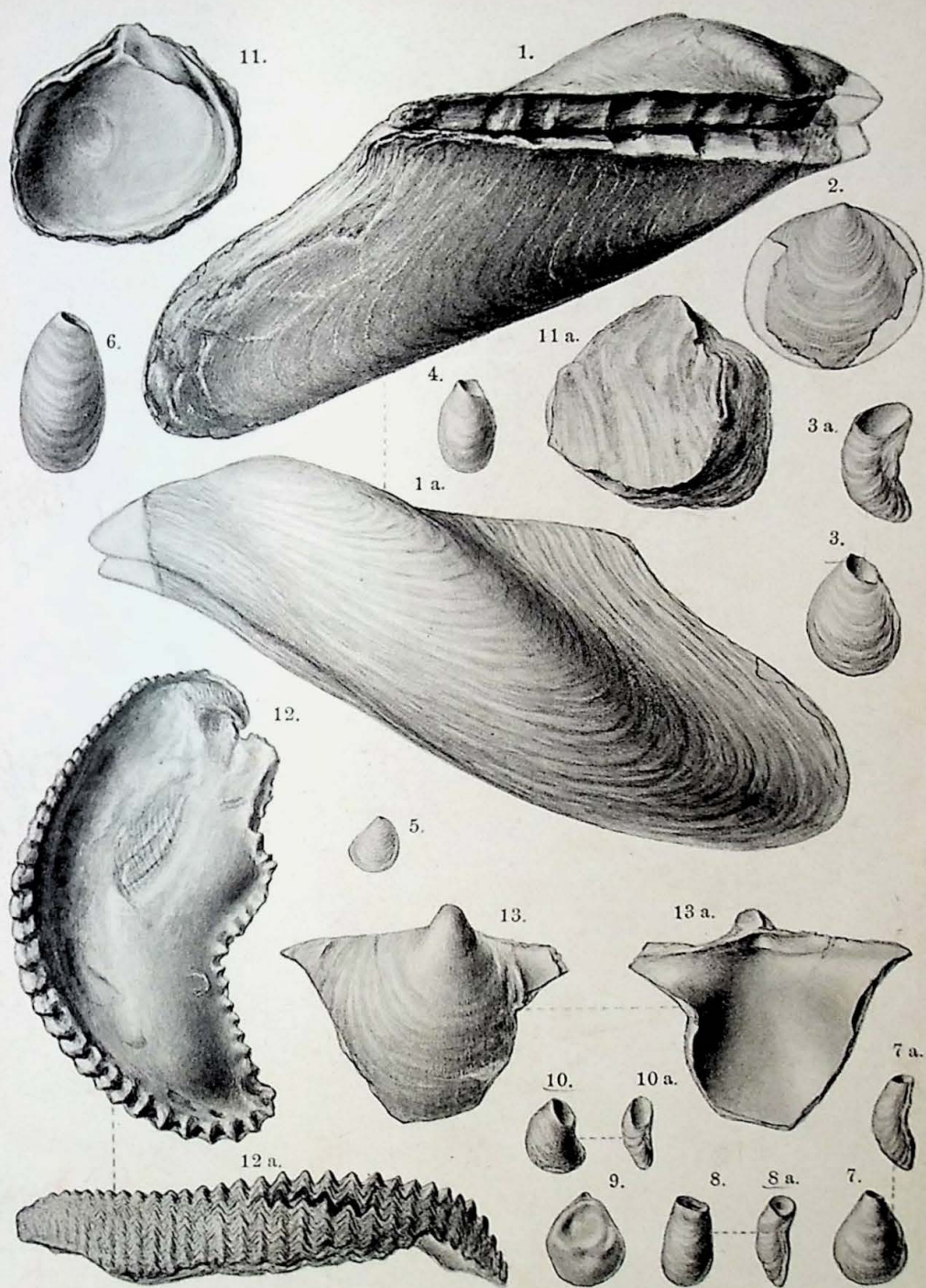
Erklärung zu Tafel XI.

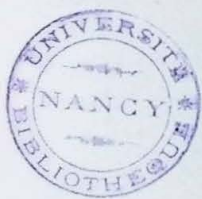
- Fig. 1. *Gryphaea ferruginea* TERQ. Linke Klappe von außen,
fig. 1a von hinten, fig. 1b von innen. Schwarzes Lager,
Bahnhoferweiterung Hayingen. L. S. S. 162.
- Fig. 2. *Gryphaea ferruginea* TERQ. Rechte Klappe. Schwarzes
Lager, Bahnhoferweiterung Hayingen. L. S. S. 162.
- Fig. 3. *Gryphaea ferruginea* TERQ. Ansicht des Wirbels.
Schwarzes Lager, Oberkorn. L. S. S. 162.
- Fig. 4. *Gryphaea sublobata* DESH. Linke Klappe. Schichten
mit *Ammonites Sowerbyi*, Pierrevillers. L. S. S. 164.
- Fig. 5. *Gryphaea* sp. Linke Klappe. Graues Lager, Stürzen-
berg bei Bevingen. L. S. S. 164.



Erklärung zu Tafel XII.

- Fig. 1. *Gervilleia subtortuosa* OPP. Ligamentfläche und rechte Klappe. Fig. 1a, linke Klappe. Levesqueischichten, Rudolfstollen bei Algringen. L. S. S. 132.
- Fig. 2. *Placunopsis jurensis* MORR. u. LYC. Gewölbte Klappe. Rotsandiges Lager, Grube Ida Amalie bei Aumetz. L. S. S. 154.
- Fig. 3. 3a. *Ostrea calceola* ZIET. Linke Klappen. Dach des grauen Lagers, Düdelingen. L. S. S. 156.
- Fig. 4. *Ostrea calceola* ZIET. Linke Klappe. Dach des grauen Lagers, Düdelingen. L. S. S. 156.
- Fig. 5. *Ostrea calceola* ZIET. Rechte Klappe. Dach des grauen Lagers, Hayingen. L. S. S. 156.
- Fig. 6. *Ostrea calceola* ZIET. Linke Klappe. Dach des grauen Lagers, Grube Witten bei Algringen. L. S. S. 156.
- Fig. 7. *Ostrea calceola* ZIET. Linke Klappe von der Unterseite, fig. 7a von vorn. Dach des grauen Lagers, Esch. L. S. S. 156.
- Fig. 8. *Ostrea calceola* ZIET. Linke Klappe von der Unterseite, fig. 8a von vorn. Dach des grauen Lagers, Esch. L. S. S. 156.
- Fig. 9. *Ostrea calceola* ZIET. Rechte Klappe von innen. Dach des grauen Lagers, Esch. L. S. S. 156.
- Fig. 10. *Ostrea calceola* ZIETEN. Linke Klappe von der Unterseite, fig. 10a von vorn. L. S. S. 156.
- Fig. 11. *Ostrea irregularis* MNSTR. Linke Schale von innen, fig. 11a von der Unterseite. Levesqueischichten, Grube Ternel bei Maringen. L. S. S. 156.
- Fig. 12. *Ostrea* sp. Linke Klappe von innen, fig. 12a gefalteter Hinterrand. Levesqueischichten, Grube Ternel bei Maringen. L. S. S. 161.
- Fig. 13. *Gryphaea* sp. Linke Klappe von der Unterseite, fig. 13a von innen. Graues Lager, Stürzenberg bei Bevingen. L. S. S. 164.





- Fig. 9. *Trigonia similis* Br. Rechte Klappe. Gelbes Lager,
Saarschacht bei Roncourt. L. S. S. 205.
- Fig. 10. *Trigonia similis* Br. Rechte Klappe von innen. Gelbes
Lager, Saarschacht bei Roncourt. L. S. S. 205.
- Fig. 11. *Trigonia similis* Br. Linke Klappe. Gelbes Lager,
Saarschacht bei Roncourt. L. S. S. 205.
- Fig. 12. *Trigonia similis* Br. Linke Klappe von innen. Gelbes
Lager, Saarschacht bei Roncourt. L. S. S. 205.
- Fig. 13. *Trigonia similis* Br. Area einer linken Klappe. Gelbes
Lager, Saarschacht bei Roncourt. L. S. S. 205.
- Fig. 14. *Trigonia similis* Br. Area einer rechten Klappe. Gelbes
Lager, Saarschacht bei Roncourt. L. S. S. 205.

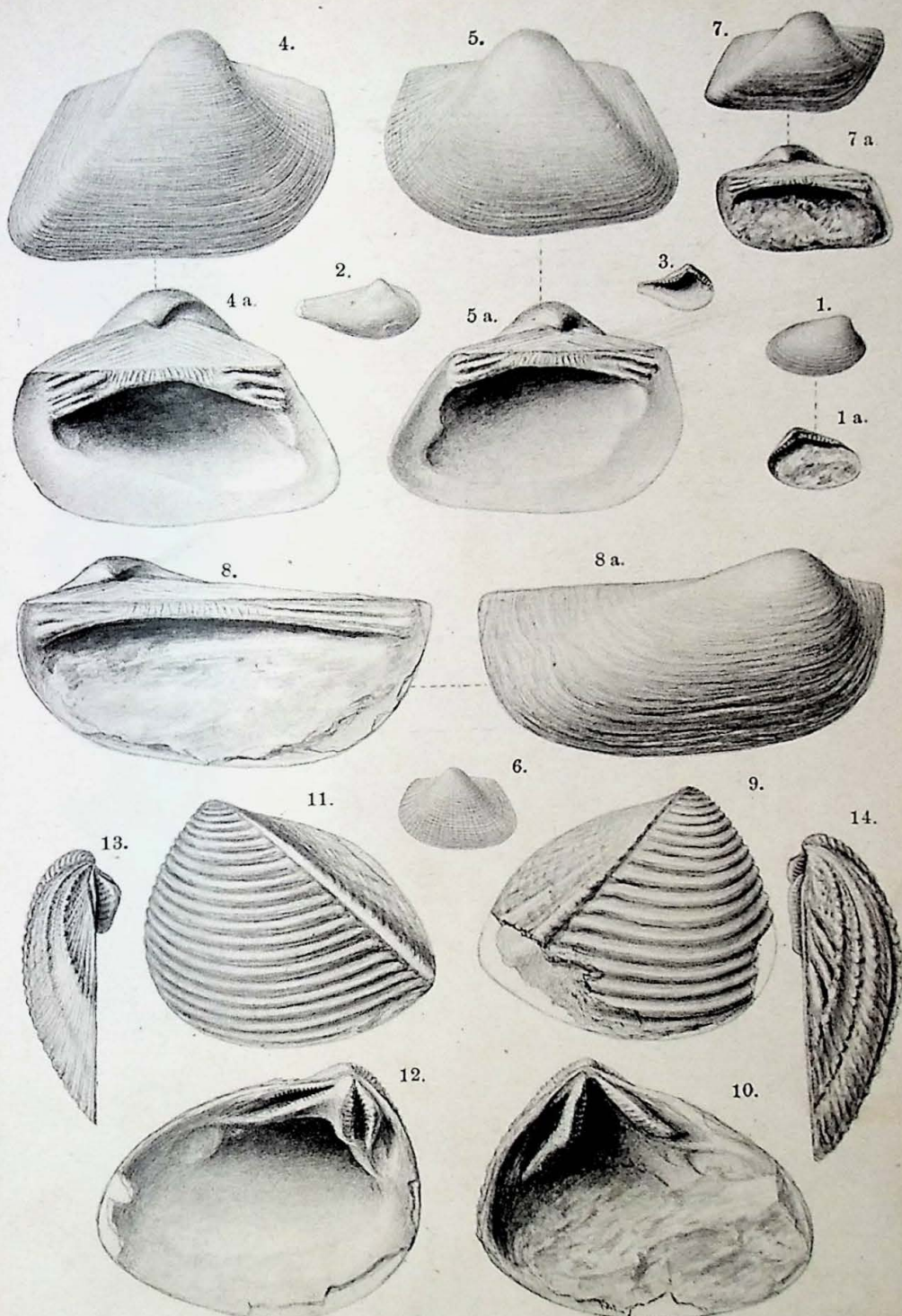
Erklärung zu Tafel XIII.

- Fig. 1. *Nucula aalensis* OPP. Rechte Klappe von außen, fig. 1a von innen. Gelbes Lager, Saarschacht bei Roncourt. L. S. S. 169.
- Fig. 2. *Leda rostralis* LMCK. Rechte Klappe. Graues Lager, Maringen bei Maizières. L. S. S. 170.
- Fig. 3. *Leda rostralis* LMCK. Linke Klappe von innen. Schichten mit *Astarte Voltzi* usw., sogen. Torulosusschichten, Prinzheim, U. Els. L. S. S. 170.
- Fig. 4. *Cucullaea aalensis* QU. Rechte Klappe von außen, fig. 4a von innen. Gelbes Lager, Saarschacht bei Roncourt. L. S. S. 171.
- Fig. 5. *Cucullaea aalensis* QU. Linke Klappe von außen, fig. 5a von innen. Gelbes Lager, Saarschacht bei Roncourt. L. S. S. 171.
- Fig. 6. *Cucullaea* sp. Linke Klappe. Gelbes Lager, Saarschacht bei Roncourt L. S. S. 173.
- Fig. 7. *Cucullaea inaequivalvis* GLDF. Linke Klappe von außen, 7a von innen. Gelbes Lager, Saarschacht bei Roncourt. L. S. S. 174.
- Fig. 8. *Macroodus hirsonensis* ARCH. sp. Rechte Klappe von innen, fig. 8a von außen. Gelbes Lager, Saarschacht bei Roncourt. L. S. S. 176.
- Da die vorderen Zähne in Fig. 8 auf der Tafel unrichtig gezeichnet sind, gebe ich hierunter eine verbesserte Abbildung.



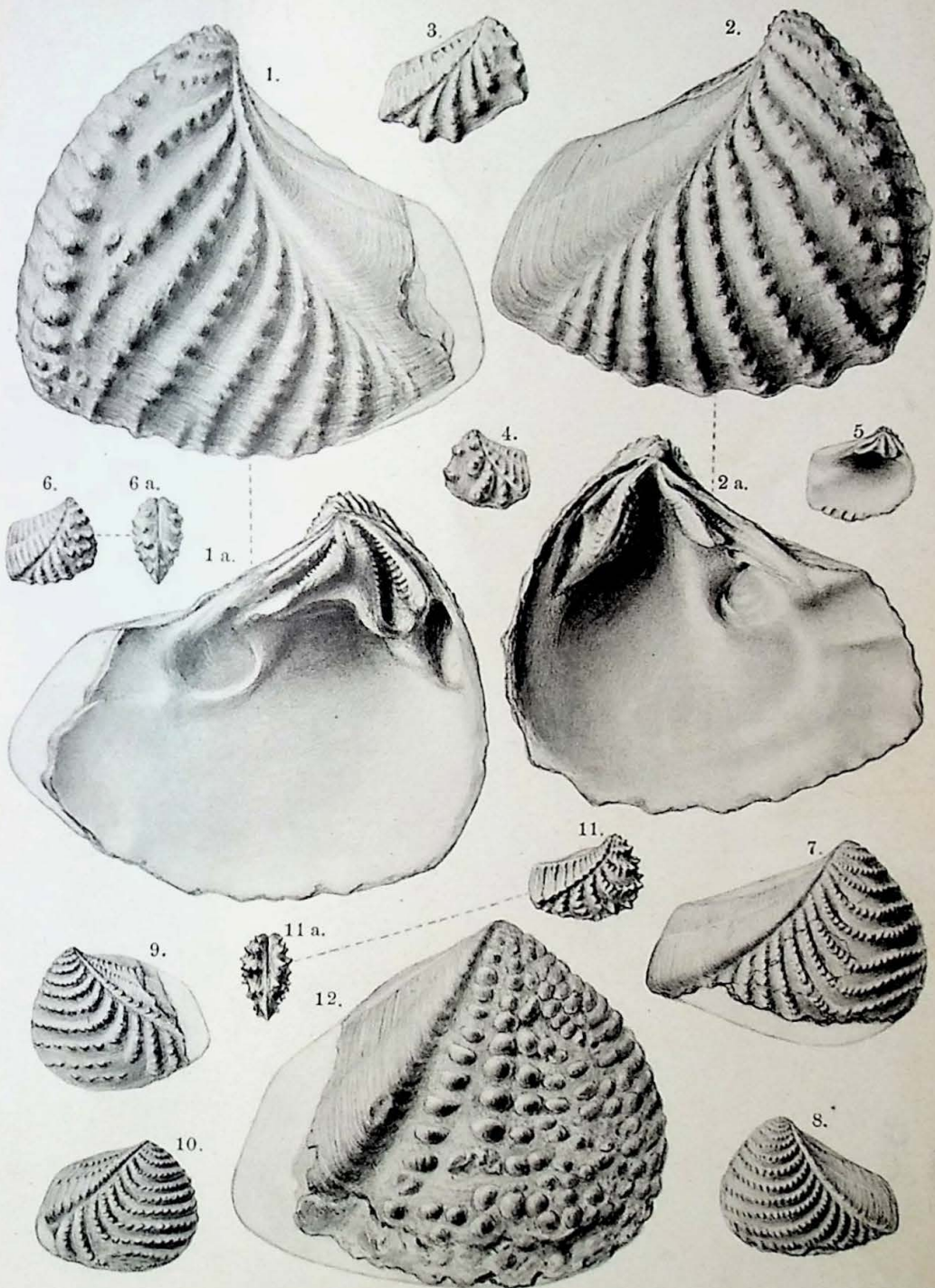
(Fortsetzung s. Rückseite.)

11 May 2024



Erklärung zu Tafel XIV.

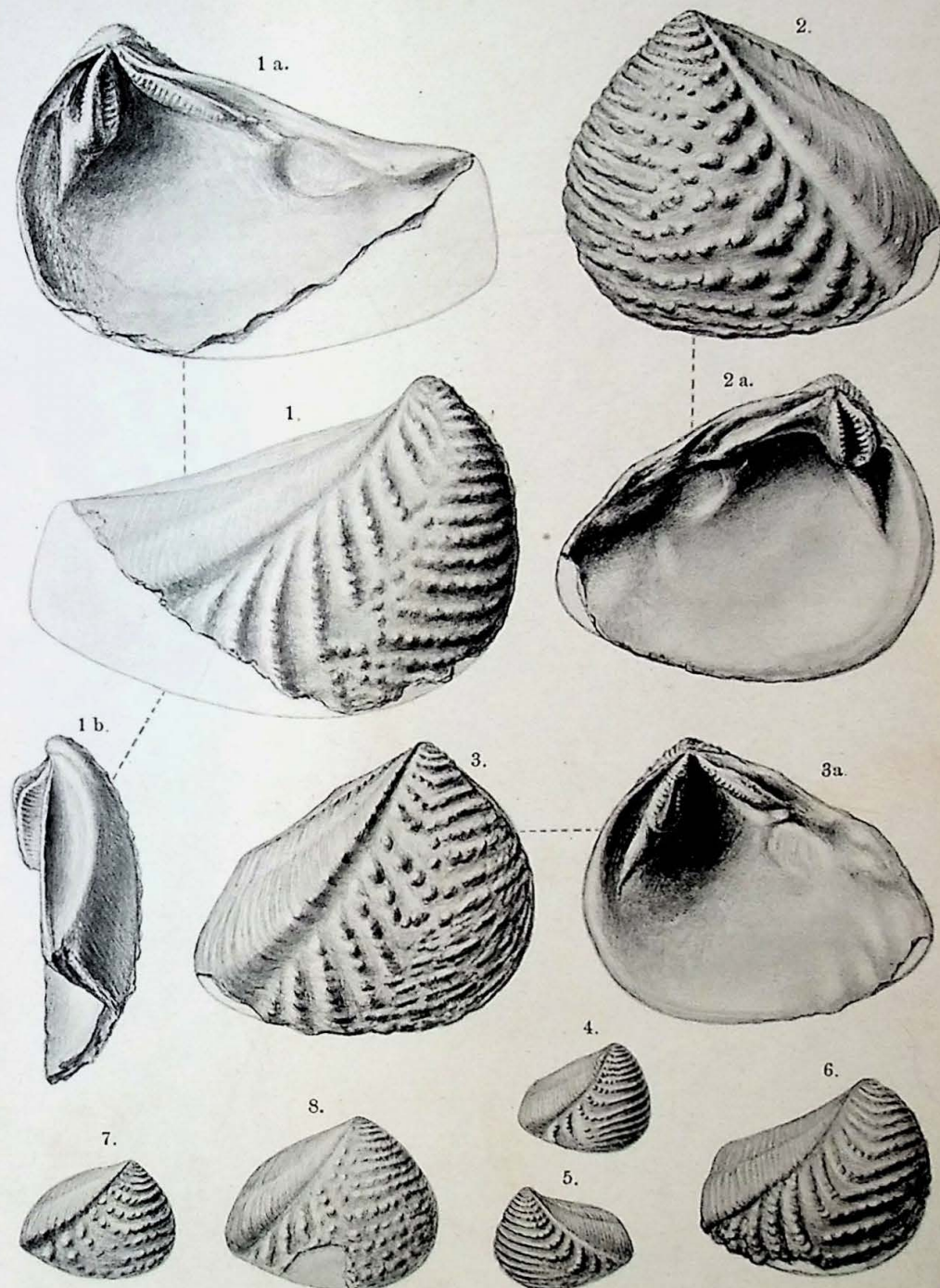
- Fig. 1. *Trigonia navis* LMCK. Linke Klappe. Fig. 1a von innen.
Graues Lager, Stürzenberg bei Bevingen. L. S. S. 181.
- Fig. 2. *Trigonia navis* LMCK. Rechte Klappe. Fig. 2a von innen.
Graues Lager, Stürzenberg bei Bevingen. L. S. S. 181.
- Fig. 3. *Trigonia navis* LMCK. Junges Exemplar. Schichten
des *Ammonites opalinus*, Gundershofen, Unt.-Els. L. S.
S. 181.
- Fig. 4. *Trigonia navis* LMCK. Junges Exemplar. Gelbes Lager,
Saarschacht bei Roncourt. L. S. S. 181.
- Fig. 5. *Trigonia pulchella* AG. Innenseite der linken Klappe.
Schichten mit *Astarte Voltzi* etc., sogen. Torulosusschichten,
Silzklamm bei Uhrweiler, Unt.-Els. L. S.
S. 184.
- Fig. 6. *Trigonia pulchella* AG. Rechte Klappe. Fig. 6a von
vorn. Schichten mit *Astarte Voltzi* etc., sogen. Torulosusschichten,
Buesweiler Tunnel, Unt.-Els. L. S. S. 184.
- Fig. 7. *Trigonia formosa* LYC. Rechte Klappe. Gelbes Lager,
Neue Grube Maringen. L. S. S. 193.
- Fig. 8. *Trigonia formosa* LYC. Linke Klappe. Gelbes Lager,
Neue Grube Maringen. L. S. S. 193.
- Fig. 9. *Trigonia spinulosa* Y. u. B. Linke Klappe. Graues
Lager, Grube Orne bei Moyeuvre. L. S. S. 195.
- Fig. 10. *Trigonia spinulosa* Y. u. B. Rechte Klappe. Gelbes
Lager, Neue Grube Maringen. L. S. S. 195.
- Fig. 11. *Trigonia tuberculata* AG. Rechte Klappe. Fig. 11a von
vorn. Schichten mit *Ammonites opalinus*, Metzingen
bei Reutlingen. U. S. S. 197.
- Fig. 12. *Trigonia Terquemi* n. f. Rechte Klappe. Rotsandiges
Lager, Katzenberg bei Esch. L. S. S. 191.



Erklärung zu Tafel XV.

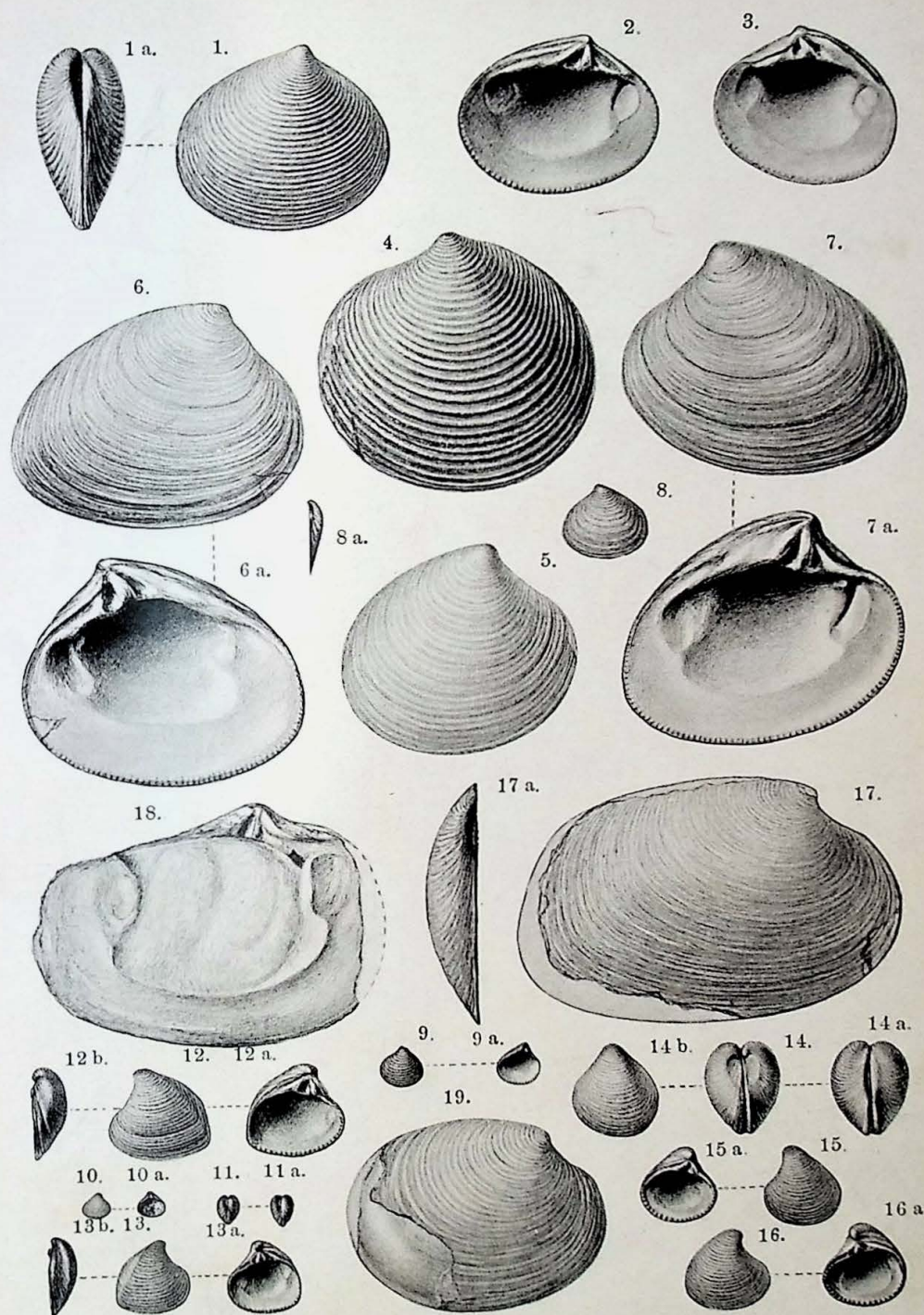
- Fig. 1. *Trigonia aff. Leckenbyi* (LYC.) BRANCO. Original von
BRANCO 30 Taf. VIII fig. 2. Rechte Klappe. Fig. 1a
von innen. Fig. 1b von hinten. ? Graues Lager, Hayingen.
L. S. S. 188.
- Fig. 2. *Trigonia Engeli* n. sp. Linke Klappe. Fig. 2a von innen.
Graues Lager, Grube Orne bei Moyeuvre. L. S. S. 189.
- Fig. 3. *Trigonia Engeli* n. sp. Rechte Klappe. Fig. 3a von innen.
Grube Orne bei Moyeuvre. L. S. S. 189.
- Fig. 4. *Trigonia v costata* LYC. Rechte Klappe. Gelbes Lager,
Saarschacht bei Roncourt. L. S. S. 199.
- Fig. 5. *Trigonia v costata* LYC. Linke Klappe. Gelbes Lager,
Saarschacht bei Roncourt. L. S. S. 199.
- Fig. 6. *Trigonia conjungens* PHILL. Rechte Klappe. Rot-
sandiges Lager, Katzenberg bei Esch. L. S. S. 201.
- Fig. 7. *Trigonia compta* LYC. Rechte Klappe. Gelbes Lager,
Saarschacht bei Roncourt. L. S. S. 202.
- Fig. 8. *Trigonia compta* LYC. Rechte Klappe. Gelbes Lager,
Saarschacht bei Roncourt. L. S. S. 202.

Die Knoten der mittleren Reihe der Area sind
auf der Zeichnung zu schwach.



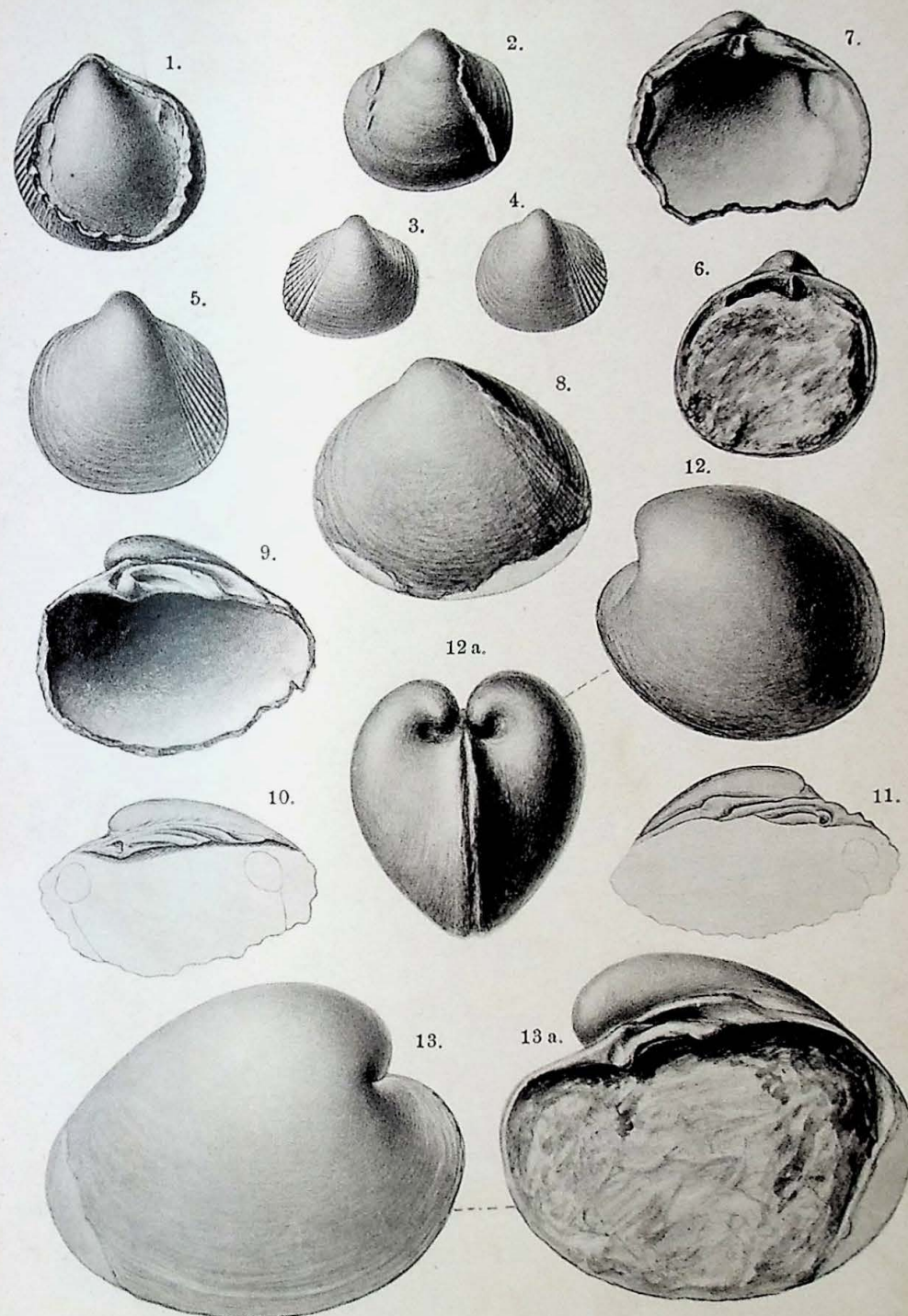
Erklärung zu Tafel XVI.

- Fig. 1. *Astarte elegans* Sow. Rechte Klappe. Fig. 1a von vorn. Gelbes Lager, Saarschacht bei Roncourt. L. S. S. 214.
- Fig. 2. *Astarte elegans* Sow. Linke Klappe. Gelbes Lager, Saarschacht bei Roncourt. L. S. S. 214.
- Fig. 3. *Astarte elegans* Sow. Rechte Klappe. Gelbes Lager, Saarschacht bei Roncourt. L. S. S. 214.
- Fig. 4. *Astarte* sp. Linke Klappe. Rotsandiges Lager, Katzenberg bei Esch. L. S. S. 216.
- Fig. 5. *Astarte* sp. Rechte Klappe. Rotsandiges Lager, Katzenberg bei Esch. L. S. S. 216.
- Fig. 6. *Astarte Nicklesi* n. sp. Rechte Klappe. Fig. 6a von innen. Gelbes Lager, Saarschacht bei Roncourt L. S. S. 217.
- Fig. 7. *Astarte Nicklesi* n. sp. Linke Klappe. Fig. 7a von innen. Gelbes Lager, Saarschacht bei Roncourt. L. S. S. 217.
- Fig. 8. *Astarte cf. depressa* GLDF. Linke Klappe. Fig. 8a von vorn. Gelbes Lager, Saarschacht bei Roncourt. L. S. S. 220.
- Fig. 9. *Astarte aalensis* OPP. Linke Klappe. Fig. 9a von innen. Gelbes Lager, Saarschacht bei Roncourt. L. S. S. 221.
- Fig. 10. *Astarte aalensis* OPP. Rechte Klappe. Fig. 10a von innen. Gelbes Lager, Saarschacht bei Roncourt. L. S. S. 221.
- Fig. 11. *Astarte aalensis* OPP. von vorn. Fig. 11a von hinten. Gelbes Lager, Saarschacht bei Roncourt. L. S. S. 221.
- Fig. 12. *Astarte lotharingica* n. sp. Linke Klappe. Fig. 12a von innen. Fig. 12b von vorn. Gelbes Lager, Saarschacht bei Roncourt. L. S. S. 223.
- Fig. 13. *Astarte lotharingica* n. sp. Rechte Klappe. Fig. 13a von innen. Fig. 13b von hinten. Gelbes Lager, Saarschacht bei Roncourt. L. S. S. 223.
- Fig. 14. *Astarte cordiformis* DESH. von vorn. Fig. 14a von hinten. Fig. 14b linke Klappe. Oolithe ferrugineuse, Bayeux, Calvados. U. S. S. 225.
- Fig. 15. *Astarte cordiformis* DESH. Linke Klappe. Fig. 15a von innen. Oolithe ferrugineuse, Bayeux, Calvados. U. S. S. 225.
- Fig. 16. *Astarte cordiformis* DESH. Rechte Klappe. Fig. 16a von innen. Oolithe ferrugineuse, Bayeux, Calvados. U. S. S. 225.
- Fig. 17. *Astarte excavata* Sow. Rechte Klappe. Fig. 17a von vorn. Gelbes Lager, Saarschacht bei Roncourt. L. S. S. 225.
- Fig. 18. *Astarte excavata* Sow. Abdruck der rechten Klappe. Gelbes Lager, Saarschacht bei Roncourt. L. S. S. 225.
- Fig. 19. *Astarte* sp. Rechte Klappe. Gelbes Lager, Saarschacht bei Roncourt. L. S. S. 228.



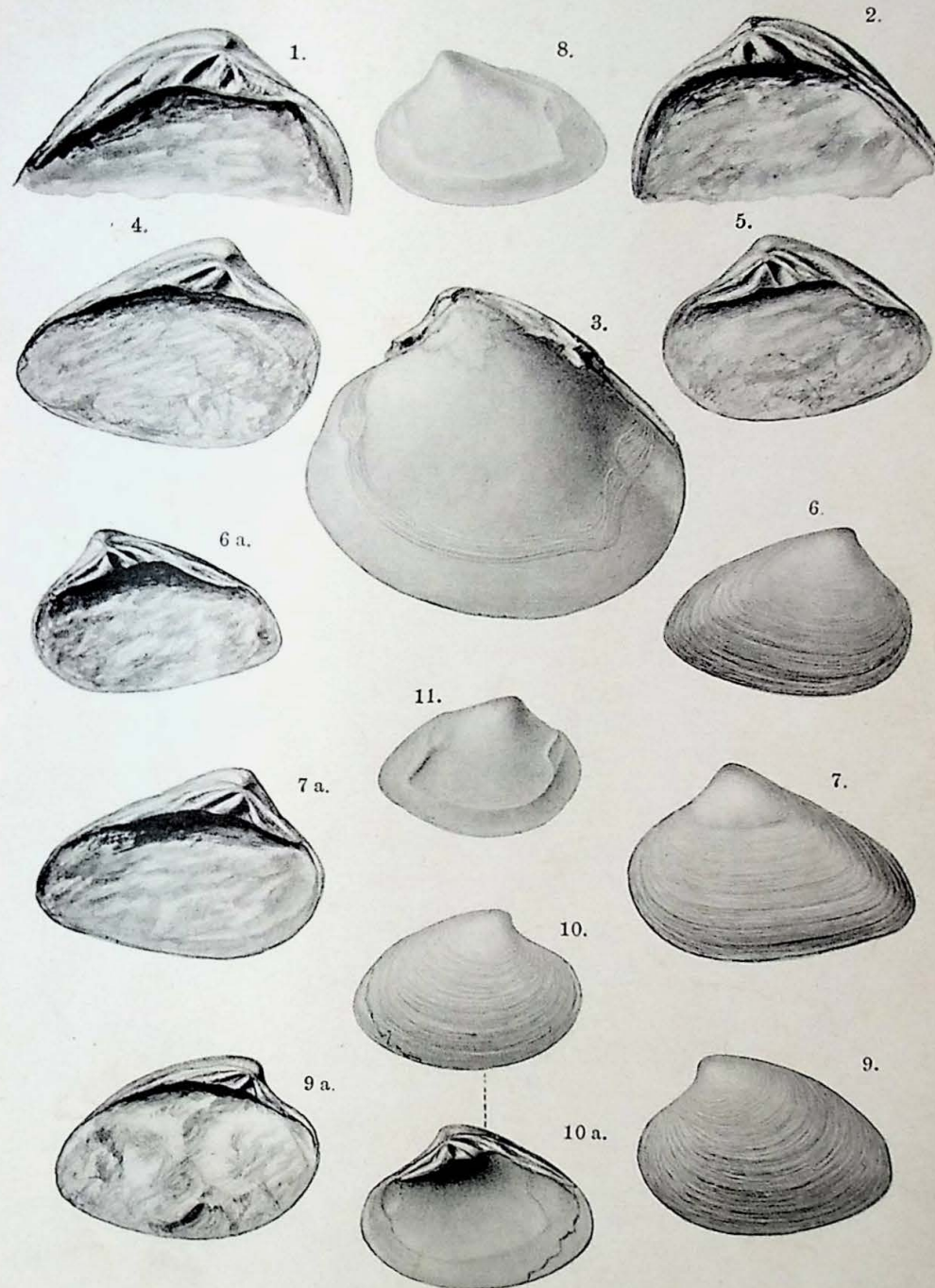
Erklärung zu Tafel XVII.

- Fig. 1. *Protocardia striatula* (Sow.) PHILL. sp. Rechte Klappe.
Graues Lager, Grube Orne bei Moyeuvre. L. S. S. 228.
- Fig. 2. *Protocardia striatula* (Sow.) PHILL. sp. Rechte Klappe.
Gelbes Lager, Neue Grube Maringen. L. S. S. 228.
- Fig. 3. *Protocardia striatula* (Sow.) PHILL. sp. Rechte Klappe.
Gelbes Lager, Saarschacht. L. S. S. 228.
- Fig. 4. *Protocardia striatula* (Sow.) PHILL. sp. Linke Klappe.
Gelbes Lager, Saarschacht bei Roncourt. L. S. S. 228.
- Fig. 5. *Protocardia striatula* (Sow.) PHILL. sp. Linke Klappe.
Dogger, Cold Comfort (Gloucest.) U. S. S. 228.
- Fig. 6. *Protocardia striatula* (Sow.) PHILL. sp. Linke Klappe
von innen. Cold Comfort (Gloucest.) U. S. S. 228.
- Fig. 7. *Protocardia* sp. Linke Klappe, von innen. Gelbes Lager,
Saarschacht bei Roncourt. L. S. S. 231.
- Fig. 8. *Protocardia* sp. Linke Klappe. ? Rotkalkige Lager,
Hayingen. L. S. S. 231.
- Fig. 9. *Isocardia cordata* J. BUCKM. sp. Rechte Klappe. Graues
Lager. Stürzenberg bei Bevingen. L. S. S. 232.
- Fig. 10. *Isocardia cordata* J. BUCKM. sp. Rechte Klappe. Kopie
nach TERQUEM 267 Pl. II fig. 10a. Fer hydroxidé
oolithique, ohne nähere Angabe des Lagers. S. 232.
- Fig. 11. *Isocardia cordata* J. BUCKM. sp. Linke Klappe. Kopie
nach TERQUEM 267 Pl. II fig. 10b. Fer hydroxidé
oolithique, ohne nähere Angabe des Lagers. S. 232.
- Fig. 12. *Isocardia cordata* J. BUCKM. sp. Linke Klappe. Fig. 12a
von vorn. Zwischen grauem und rotkalkigem Lager,
Esch. L. S. S. 232.
- Fig. 13. *Isocardia cordata* J. BUCKM. sp. Rechte Klappe. Fig. 13a
rechte Klappe von innen. Unteroolith, Leckhampton
(Gloucest.) U. S. S. 232.



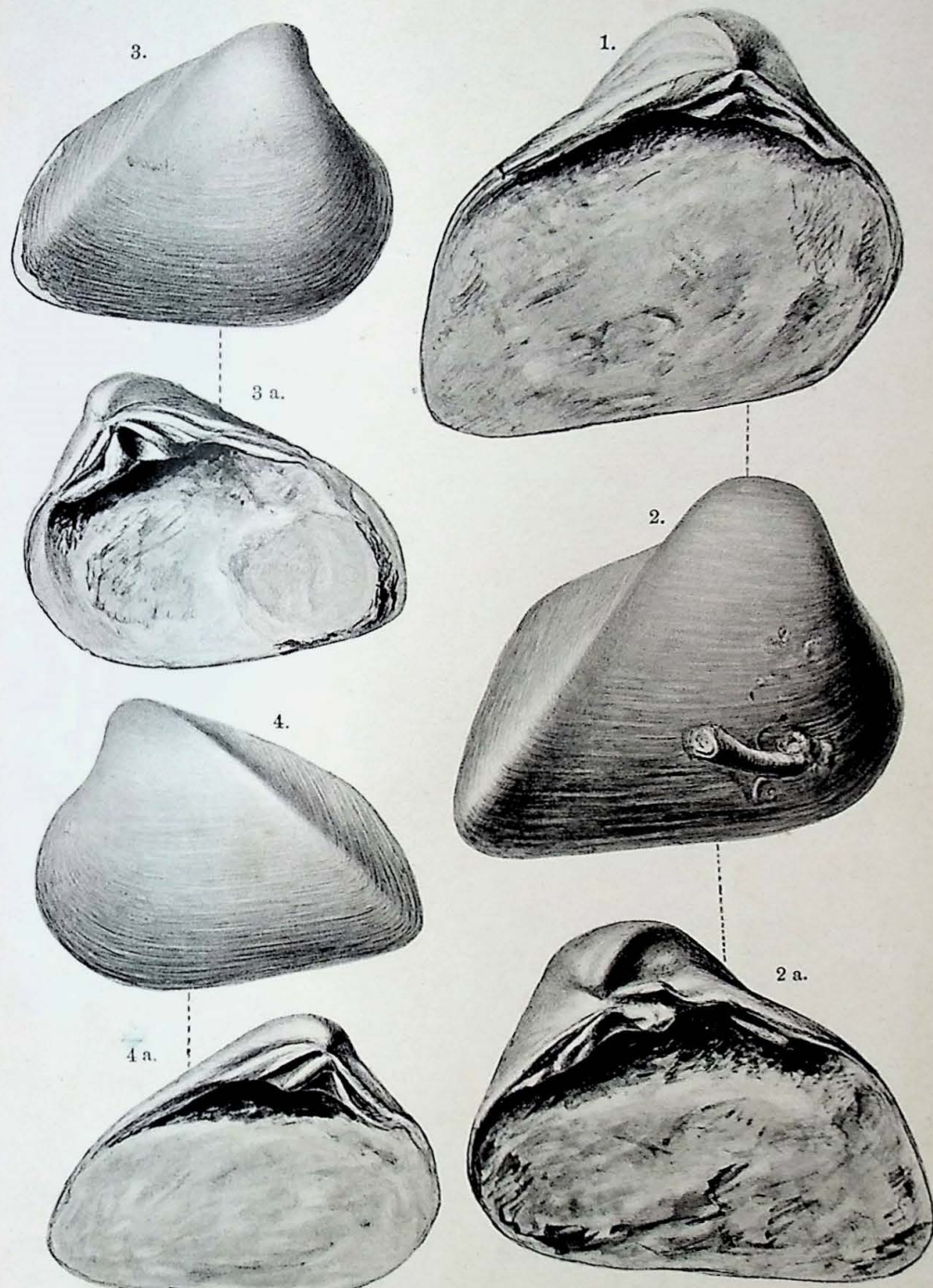
Erklärung zu Tafel XVIII.

- Fig. 1. *Pronoella trigonellaris* SCHL. sp. Schloß der linken Klappe. Schichten mit *Ammonites opalinus*, Gundershofen, Unt.-Els. U. S. S. 242.
- Fig. 2. *Pronoella trigonellaris* SCHL. sp. Schloß der rechten Klappe. Schichten mit *Ammonites opalinus*, Gundershofen, Unt.-Els. U. S. S. 242.
- Fig. 3. *Pronoella trigonellaris* SCHL. sp. Steinkern. Schichten mit *Ammonites opalinus*. Metzingen, Württemberg. U.S. S. 242.
- Fig. 4. *Pronoella lotharingica* n. sp. Linke Klappe. Rotkalkiges Lager, Hayingen. S. S. S. 236.
- Fig. 5. *Pronoella lotharingica* n. sp. Rechte Klappe. Rotkalkiges Lager, Hayingen. S. S. S. 236.
- Fig. 6. *Pronoella lotharingica* n. sp. Rechte Klappe. Fig. 6a von innen. Gelbes Lager, Saarschacht bei Roncourt. L. S. S. 236.
- Fig. 7. *Pronoella lotharingica* n. sp. Linke Klappe. Fig. 7a von innen. Gelbes Lager. Saarschacht bei Roncourt. L. S. S. 236.
- Fig. 8. *Pronoella lotharingica* n. sp. Steinkern. Gelbes Lager, Saarschacht bei Roncourt. L. S. S. 236.
- Fig. 9. *Pronoella Spanieri* n. sp. Linke Klappe. Fig. 9a von innen. Gelbes Lager, Saarschacht bei Roncourt. L. S. S. 245.
- Fig. 10. *Pronoella Spanieri* n. sp. Rechte Klappe. Fig. 10a von innen. Gelbes Lager, Saarschacht bei Roncourt. L. S. S. 245.
- Fig. 11. *Pronoella Spanieri* n. sp. Steinkern. Gelbes Lager, Saarschacht bei Roncourt. L. S. S. 245.



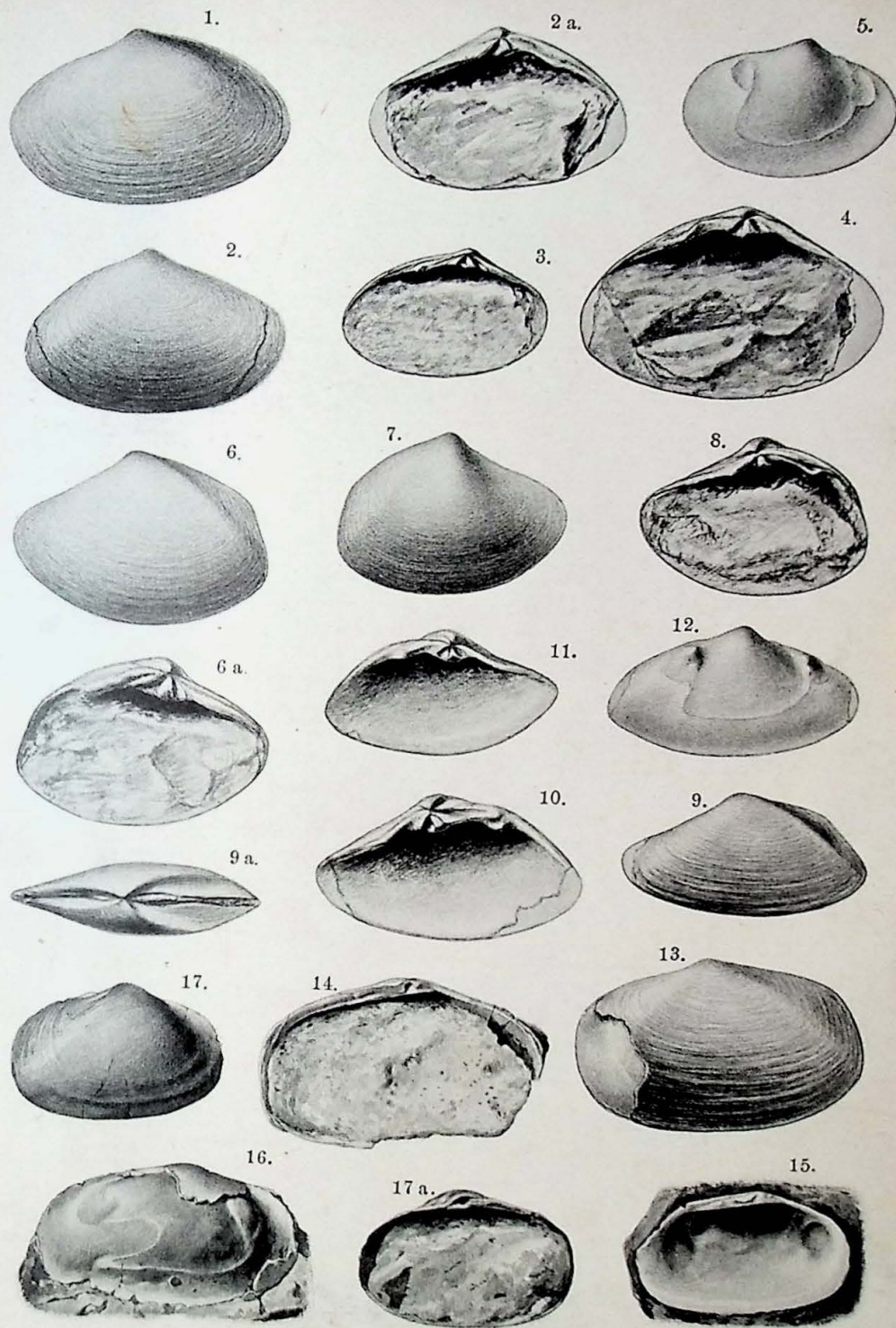
Erklärung zu Tafel XIX.

- Fig. 1. *Pseudotrapezium cordiforme* DESH. Linke Klappe von innen. Oolithe ferrugineuse, Bayeux (Calvados). U. S. S. 238.
- Fig. 2. *Pseudotrapezium cordiforme* DESH. Rechte Klappe. Fig. 2a von innen. Oolithe ferrugineuse, Bayeux (Calvados). U. S. S. 238.
- Fig. 3. *Pronoella Lebruniana* ORB. Rechte Klappe, Fig. 3a von innen. Obere Lagen der Erzformation oder über derselben. Chavigny (Meurthe-et-Moselle). U. S. S. 240.
- Fig. 4. *Pronoella Lebruniana* ORB. Linke Klappe. Fig. 4a von innen. Obere Lagen der Erzformation oder über derselben. U. S. S. 240.



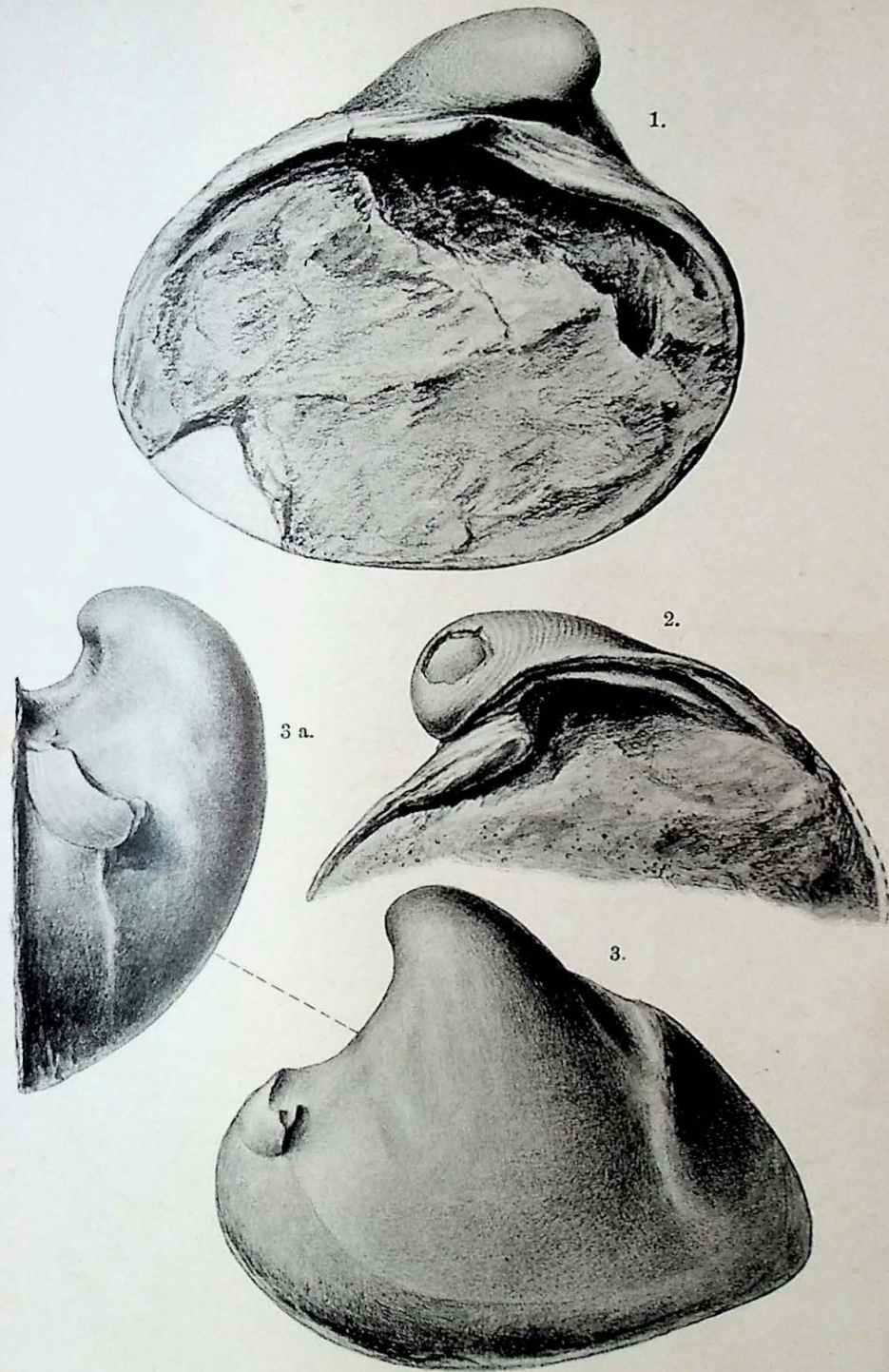
Erklärung zu Tafel XX.

- Fig. 1. *Tancredia compressa* TERQ. Linke Klappe. Gelbes Lager, Saarschacht bei Roncourt. L. S. S. 249.
- Fig. 2. *Tancredia compressa* TERQ. Rechte Klappe. Fig. 2a von innen. Gelbes Lager, Saarschacht bei Roncourt. L. S. S. 249.
- Fig. 3. *Tancredia compressa* TERQ. Linke Klappe. Gelbes Lager, Saarschacht bei Roncourt. L. S. S. 249.
- Fig. 4. *Tancredia compressa* TERQ. Linke Klappe. Rotkalkiges Lager, Hayingen. S. S. S. 249.
- Fig. 5. *Tancredia compressa* TERQ. Oberes rotkalkiges Lager, Pickberg bei Redingen. L. S. S. 249.
- Fig. 6. *Tancredia incurva* n. sp. Linke Klappe. Fig. 6a von innen. Dach des rotkalkigen Lagers, Rümelingen. L. S. S. 251.
- Fig. 7. *Tancredia incurva* n. sp. Rechte Klappe. Gelbes Lager, Neue Grube Maringen. L. S. S. 251.
- Fig. 8. *Tancredia incurva* n. sp. Rechte Klappe von innen. Gelbes Lager, Neue Grube Maringen. L. S. S. 251.
- Fig. 9. *Tancredia donaciformis* LYC. Linke Klappe. Fig. 9a Ansicht auf die Wirbel. Graues Lager, Stürzenberg bei Bevingen. L. S. S. 245.
- Fig. 10. *Tancredia donaciformis* LYC. Rechte Klappe von innen. Graues Lager, Stürzenberg bei Bevingen. L. S. S. 245.
- Fig. 11. *Tancredia donaciformis* LYC. Linke Klappe von innen. Gelbes Lager, Saarschacht bei Roncourt. L. S. S. 245.
- Fig. 12. *Tancredia donaciformis* LYC. Steinkern von der rechten Seite. Gelbes Lager, Neue Grube Maringen. L. S. S. 245.
- Fig. 13. *Quenstedtia oblita* (? PHILL.) MORR. u. LYC. Linke Klappe. Gelbes Lager, Saarschacht bei Roncourt. L. S. S. 252.
- Fig. 14. *Quenstedtia oblita* (? PHILL.) MORR. u. LYC. Linke Klappe von innen. Gelbes Lager, Saarschacht bei Roncourt. L. S. S. 252.
- Fig. 15. *Quenstedtia oblita* (? PHILL.) MORR. u. LYC. Linke Klappe von innen. Gelbes Lager, Saarschacht bei Roncourt. L. S. S. 252.
- Fig. 16. *Quenstedtia oblita* (? PHILL.) MORR. u. LYC. Steinkern von der rechten Seite. Gelbes Lager, Saarschacht bei Roncourt. L. S. S. 252.
- Fig. 17. *Quenstedtia* sp. Rechte Klappe. Fig. 17a von innen. Gelbes Lager, Saarschacht bei Roncourt. L. S. S. 251.
-



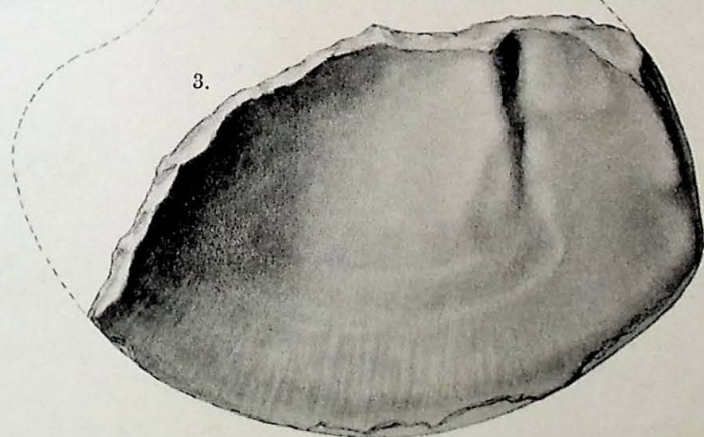
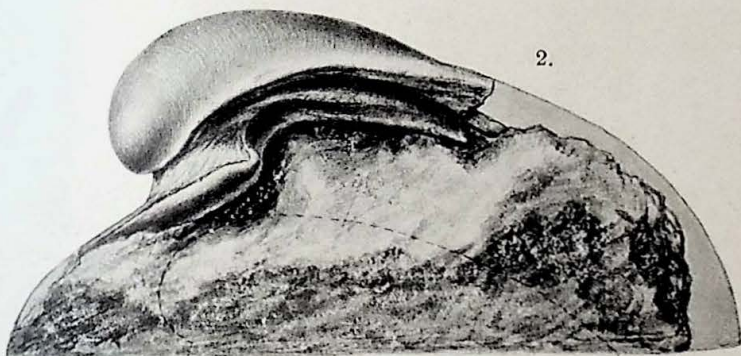
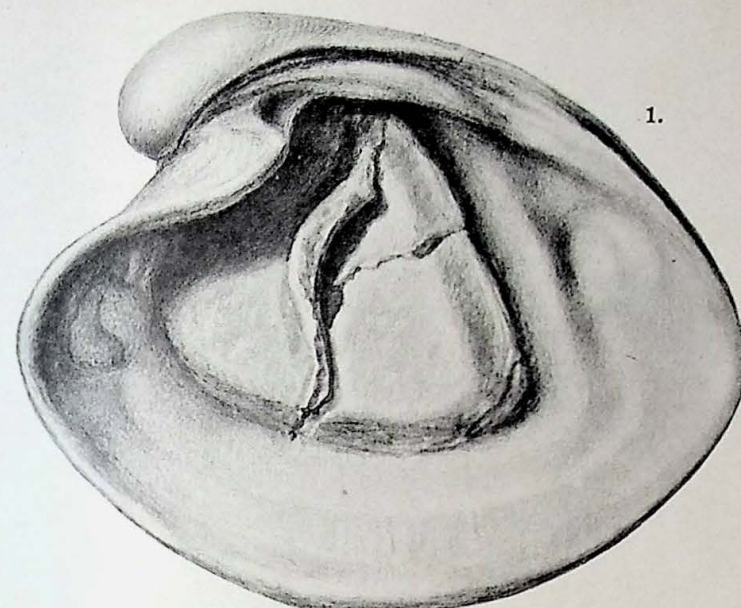
Erklärung zu Tafel XXI.

- Fig. 1. *Ceromya aalensis* QU. sp. Linke Klappe. Original zu
BRANCO 30 Taf. IX fig. 2 ? Graues Lager, Esch. L. S.
S. 266. 269.
- Fig. 2. *Ceromya aalensis* QU. sp. Rechte Klappe. ? Graues
Lager, Kneuttingen. L. S. S. 269.
- Fig. 3. *Ceromya aalensis* QU. sp. Steinkern, Ansicht der linken
Seite. Fig. 3a Ansicht von vorn. Zwischen unterem und
oberem rotkalkigen Lager. Nock bei Redingen. L. S.
S. 269.



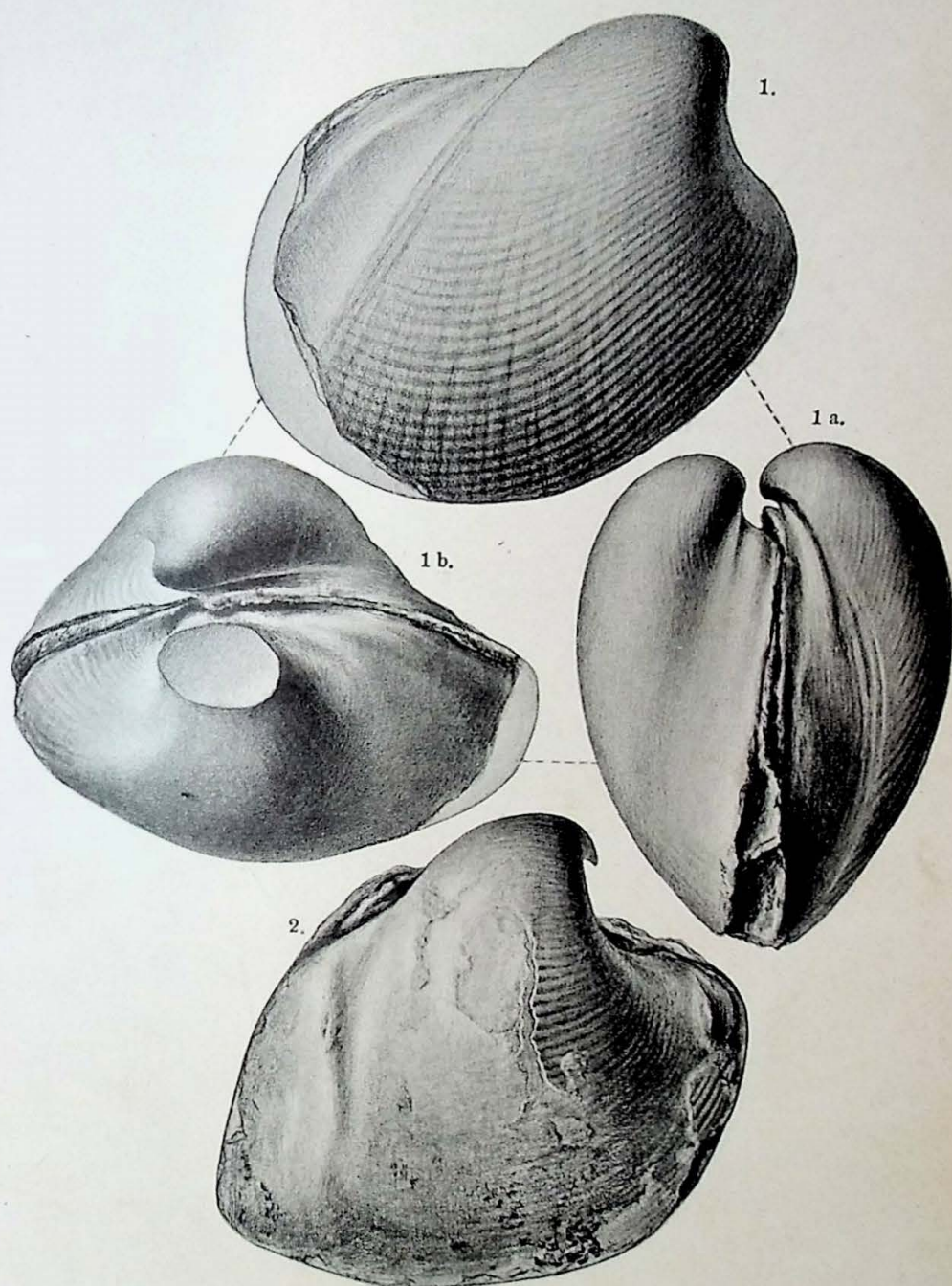
Erklärung zu Tafel XXII.

- Fig. 1. *Ceromya aalensis* QU. sp. Nach einem Gipsabdruck des Originale von TERQEM 267 Pl. IV fig. 3 und BAYAN 9 160 Textfigur. ? Graues Lager, Longwy. Sammlung der École des Mines in Paris. S. 258.
- Fig. 2. *Ceromya aalensis* QU. sp. Original zu QUENSTEDT 210 Taf. XLIV fig. 28 und 211 Taf. XLIX fig. 2. Sammlung des geologischen Institutes der Universität Tübingen. S. 257.
- Fig. 3. *Ceromya aalensis* QU. sp. Fragment einer rechten Klappe. Graues Lager, Stürzenberg bei Bevingen. L. S. S. 269.



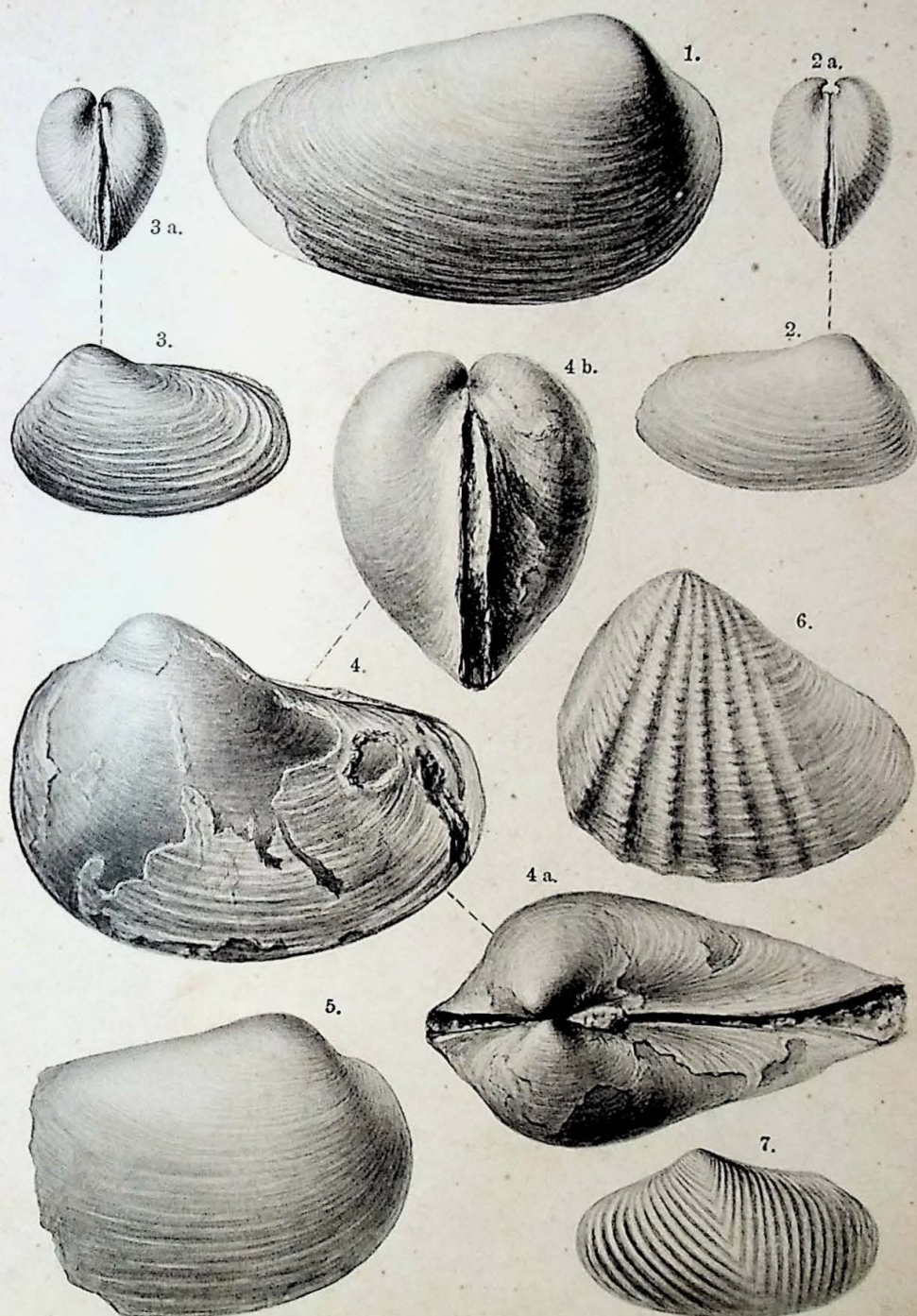
Erklärung zu Tafel XXIII.

- Fig. 1. *Ceromya bajociana* ORB. Steinkern, Ansicht der rechten Seite, Fig. 1a Ansicht von hinten. Fig. 1b Ansicht der Wirbelseite. Unteroolith Dundry (Somers.) U. S. S. 270.
- Fig. 2. *Ceromya aalensis* QU. sp. ? Graues Lager, Lothringen L. S. S. 271.
-



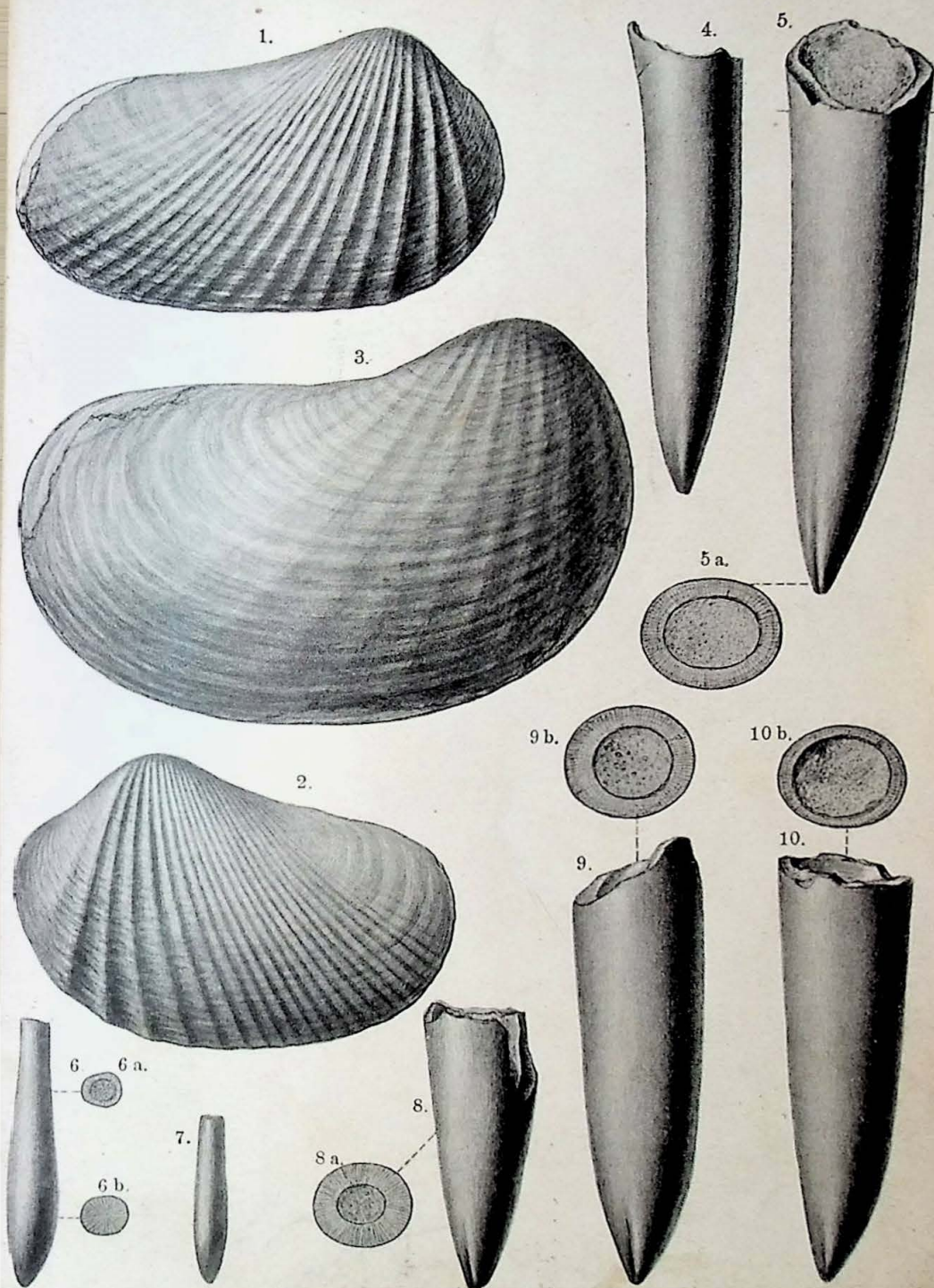
Erklärung zu Tafel XXIV.

- Fig. 1. *Pleuromya glabra* AG. Rechte Klappe. Genaueres Lager unbekannt. Ars. L. S. S. 280.
- Fig. 2. *Pleuromya elongata* (MNSTR. ?) AG. Rechte Klappe. Fig. 2a von vorn. Graues Lager, Stürzenberg bei Beningen. L. S. S. 279.
- Fig. 3. *Pleuromya uniooides* A. ROEM. sp. Linke Klappe. Fig. 3a von vorn. Oberste Lagen der Erzformation, Esch. L. S. S. 278.
- Fig. 4. *Homomya obtusa* AG. Linke Klappe. Fig. 4a Ansicht der Oberseite. Fig. 4b von vorn. Genaueres Lager unbekannt. Ars. L. S. S. 277.
- Fig. 5. *Homomya obtusa* AG. Rechte Klappe. Graues Lager, Kneuttingen. L. S. S. 277.
- Fig. 6. *Pholadomya reticulata* AG. Linke Klappe. Levesqueischichten. Galerie des Aulnes, Maringen. L. S. S. 281.
- Fig. 7. *Goniomya Knorri* AG. Linke Klappe. Graues Lager, Saarschacht bei Roncourt. L. S. S. 282.



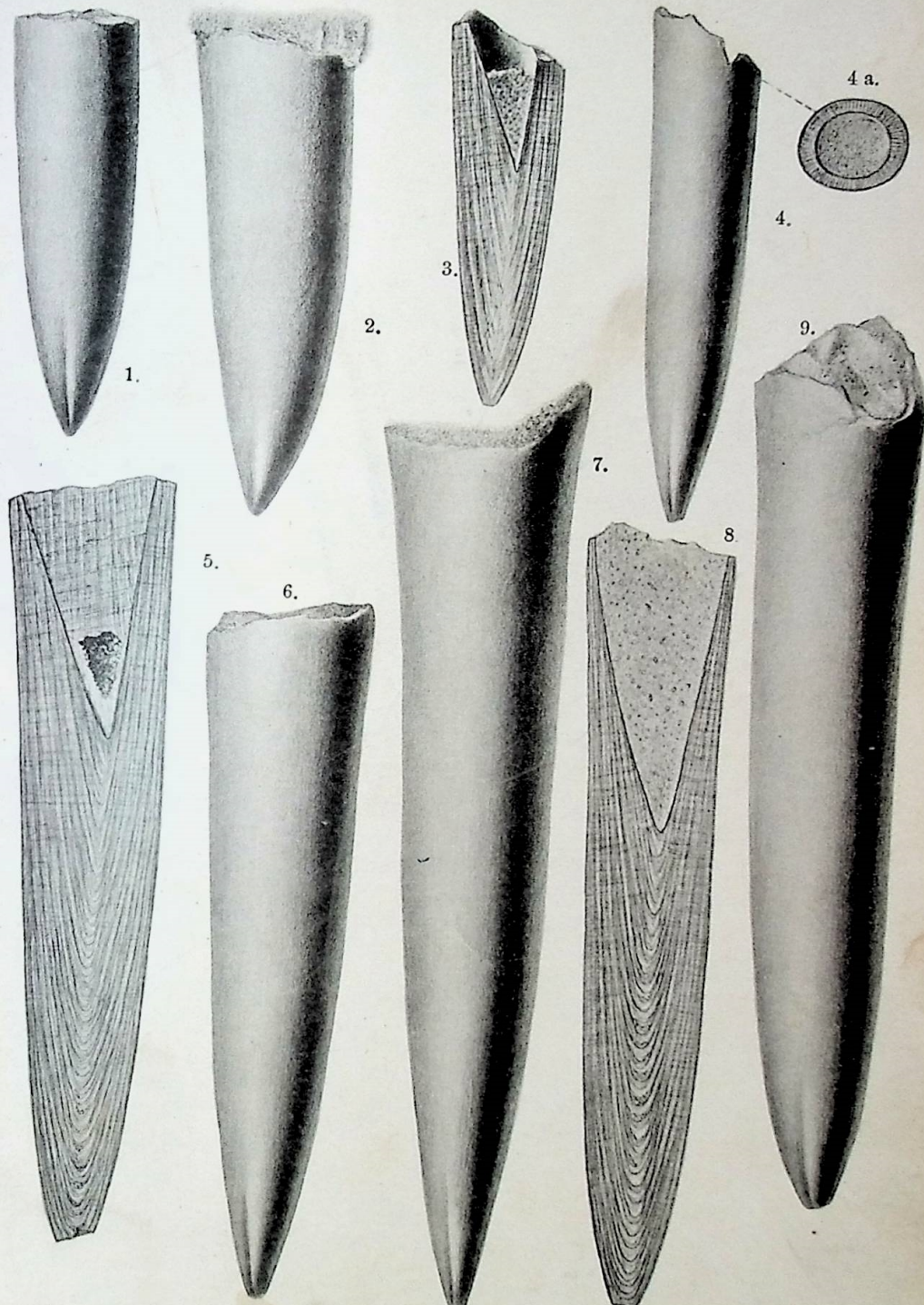
Erklärung zu Tafel XXV.

- Fig. 1. *Pholadomya fidicula* Sow. Rechte Klappe. Graues Lager, Hayingen. S. S. S. 280.
- Fig. 2. *Pholadomya fidicula* Sow. Linke Klappe. Schwarzes Lager, Kneuttingen. L. S. S. 280.
- Fig. 3. *Pholadomya Frickensis* MOESCH. Rechte Klappe. Graues Lager oder etwas tiefer, Lamadeleine, Luxemburg. Sammlung des Athenäum in Luxemburg. S. 281.
- Fig. 4. *Belemnites tripartitus* SCHL. -*incurvatus* ZIET. Levesqueischichten, Stollen Burbach I. L. S. S. 298.
- Fig. 5. *Belemnites* cf. *incurvatus* ZIET. Fig. 5a Querschnitt. Levesqueischichten, Bahnhofserweiterung, Hayingen. L. S. S. 297.
- Fig. 6. *Belemnites subclavatus* VOLTZ. Fig. 6a u. 6b Querschnitte. Graues Lager, Adlergrund bei Redingen. L. S. S. 298.
- Fig. 7. *Belemnites subclavatus* VOLTZ. Näheres Lager unbekannt. Ars. L. S. S. 298.
- Fig. 8. *Belemnites* cf. *incurvatus* ZIET. Fig. 8a Querschnitt. Graues Lager oder etwas tiefer. Tetingen (Luxemburg). L. S. S. 297.
- Fig. 9. *Belemnites* cf. *incurvatus* ZIET. Fig. 9b Querschnitt. Graues Lager, Stürzenberg bei Bevingen. L. S. S. 297.
- Fig. 10. *Belemnites* cf. *incurvatus* ZIETEN. Fig. 10b Querschnitt. Graues Lager, Stürzenberg bei Bevingen. L. S. S. 297.



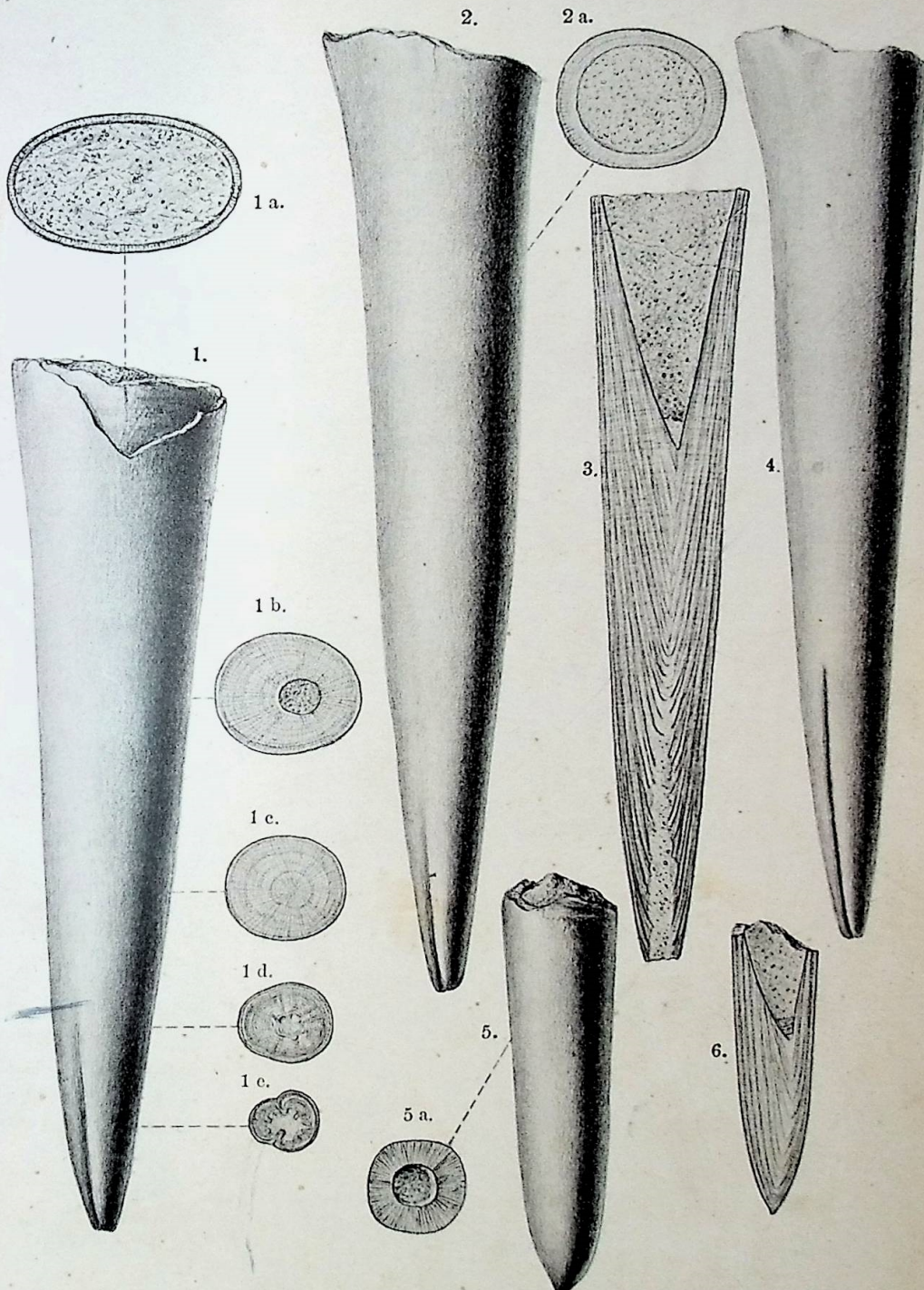
Erklärung zu Tafel XXVI.

- Fig. 1. *Belemnites incurvatus* ZIET. Rotkalkiges Lager, Esch.
L. S. S. 297.
- Fig. 2. *Belemnites incurvatus* ZIET. Braunes Lager, Grube
St. Michel bei Deutsch-Oth. L. S. S. 297.
- Fig. 3. *Belemnites incurvatus* ZIET. Durchschnitt. Graues Lager,
Oberkorn. L. S. S. 297.
- Fig. 4. *Belemnites incurvatus* ZIET. — *tripartitus* SCHL. Fig. 4a
Querschnitt. Graues Lager, Butte bei Deutsch-Oth.
L. S. S. 297.
- Fig. 5. *Belemnites inornatus* PHILL. Längsschnitt. Levesquei-
schichten, Galerie des Aulnes, Maringen. L. S. S. 290.
- Fig. 6. *Belemnites inornatus* PHILL. Levesqueischichten, Galerie
des Aulnes, Maringen. L. S. S. 290.
- Fig. 7. *Belemnites rhenanus* OPP. Graues Lager, Lannenberg
bei Rümelingen (Luxemburg). L. S. S. 288.
- Fig. 8. *Belemnites rhenanus* OPP. Längsschnitt. Levesquei-
schichten, Galerie des Aulnes, Maringen. L. S. S. 288.
- Fig. 9. *Belemnites inornatus* PHILL. Levesqueischichten, Galerie
des Aulnes, Maringen. L. S. S. 290.
-



Erklärung zu Tafel XXVII.

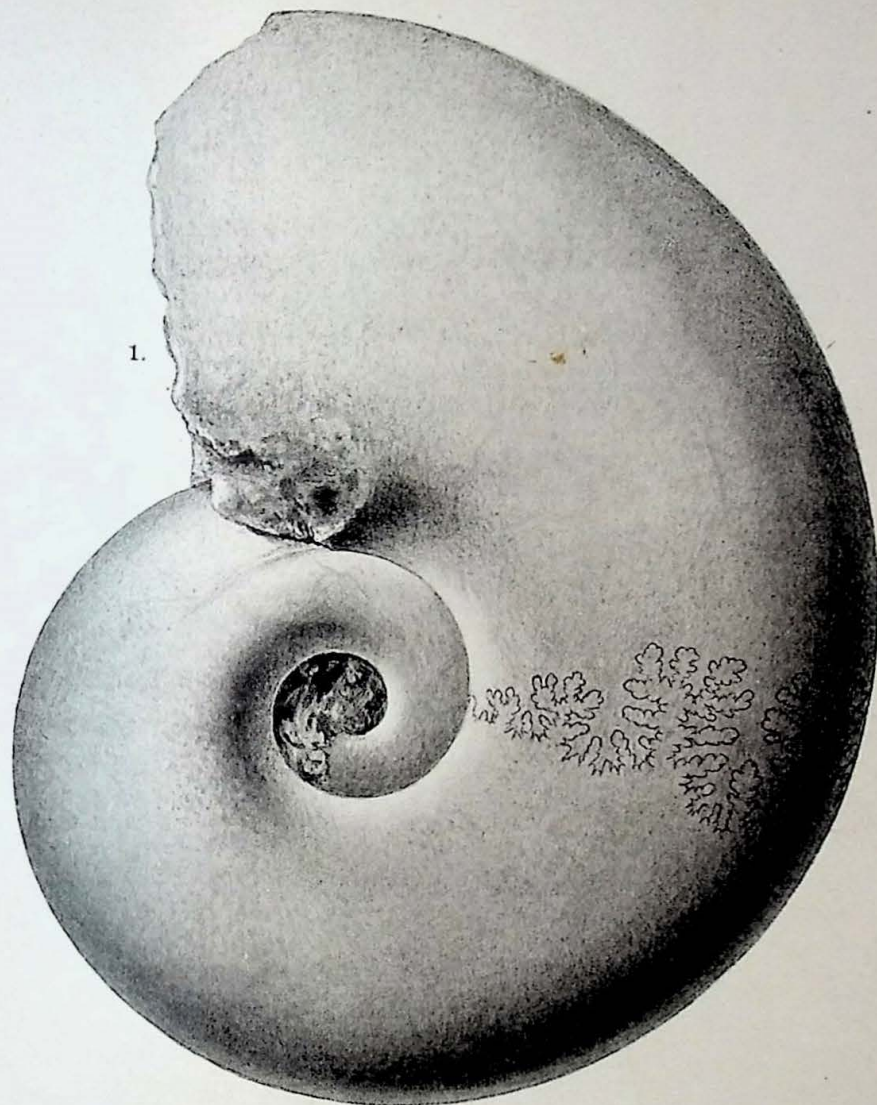
- Fig. 1. *Belemnites subgiganteus* BRANCO. Fig. 1a-e. Querschnitte. Levesqueischichten, Galerie des Aulnes, Maringen. L. S. S. 292.
- Fig. 2. *Belemnites subgiganteus* BRANCO. Fig. 2a Querschnitt, Levesqueischichten, Galerie des Aulnes, Maringen. L. S. S. 292.
- Fig. 3. *Belemnites subgiganteus* BRANCO. Längsschnitt. Levesqueischichten, Galerie des Aulnes, Maringen. L. S. S. 292.
- Fig. 4. *Belemnites subgiganteus* BRANCO. Levesqueischichten, Galerie des Aulnes, Maringen. L. S. S. 292.
- Fig. 5. *Belemnites breviformis* VOLTZ. Fig. 5a Querschnitt. Zwischen beiden rotkalkigen Lagern, Villerupt. L. S. S. 286.
- Fig. 6. *Belemnites breviformis* VOLTZ. Längsschnitt. Zwischen beiden rotkalkigen Lagern, Villerupt. L. S. S. 286.



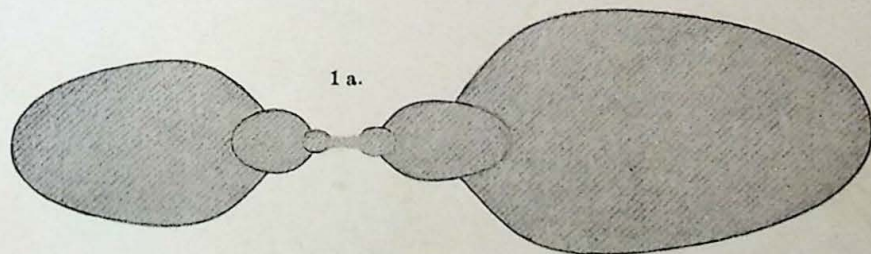
Erklärung zu Tafel XXVIII.

Fig. 1. *Lytoceras Wrighti* BUCKM. Fig. 1a Querschnitt. Rotkalkiges Lager, Adlergrund bei Redingen. L. S. S. 301.

1.



1 a.



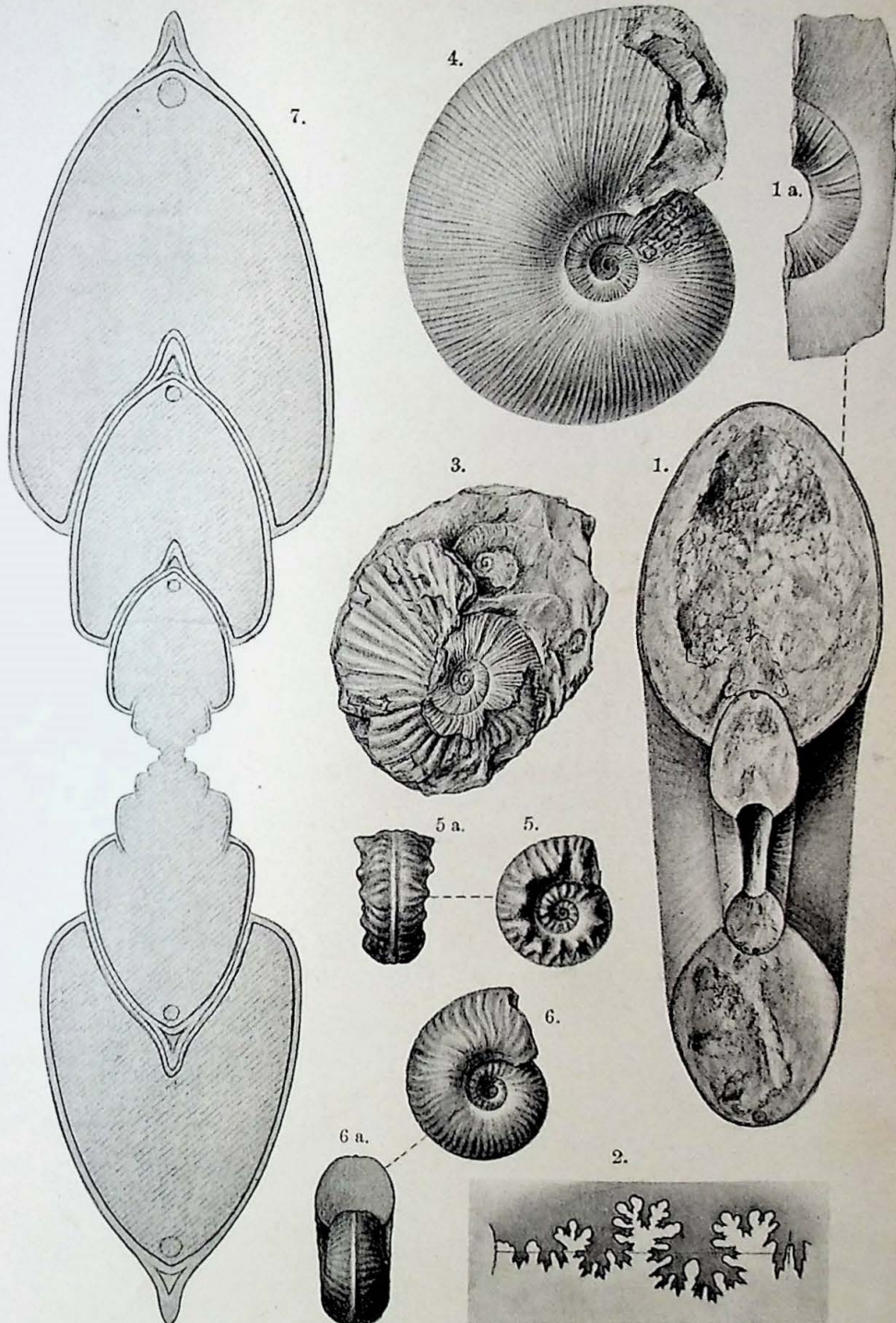
Erklärung zu Tafel XXIX.

Lytoceras Wrighti BUCKM. Braunes Lager. Grube St. Michel
bei Deutsch-Oth. L. S. S. 301.



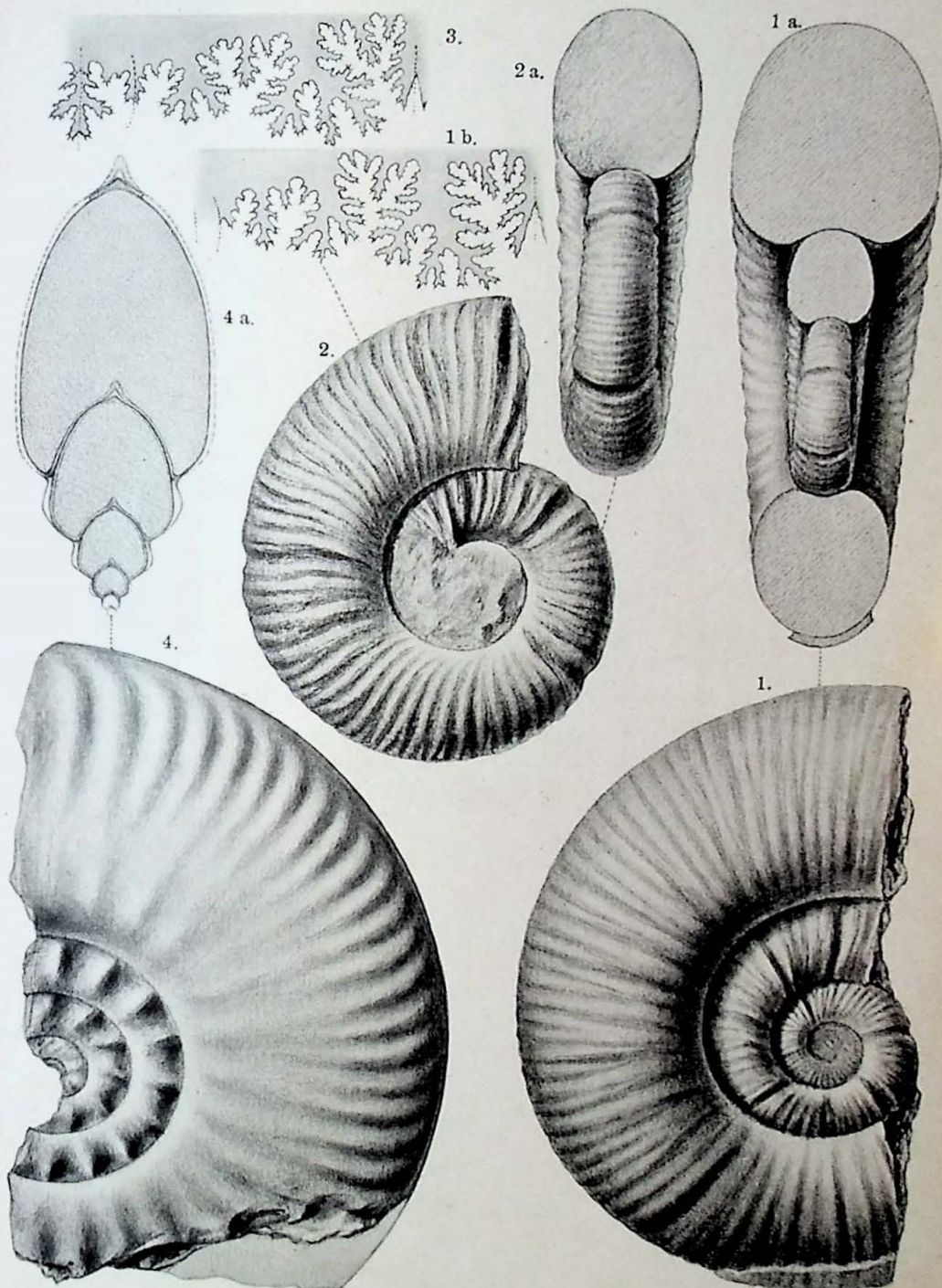
Erklärung zu Tafel XXX.

- Fig. 1. *Lytoceras Wrighti* BUCKM. Querschnitt nach dem Original von BRANCO 30, Taf. I fig. 8. Fig. 1a innere Windungen von Fig. 1. Wahrscheinlich graues Lager, Hayingen. L. S. S. 301.
- Fig. 2. *Lytoceras Wrighti* BUCKM. Sutur. S. 301.
- Fig. 3. *Lytoceras torulosum* SCHBL. sp. Schichten des *Harpoceras opalinum*, Ziegelfabrik bei Süßen (Württemberg). U. S. S. 304.
- Fig. 4. *Lytoceras dilucidum* OPP. Schichten des *Harpoceras opalinum*, Teufelsloch bei Boll (Württemberg). U. S. S. 304.
- Fig. 5. *Hammatoceras subinsigne* OPP. Schichten mit *Harpoceras opalinum*, La Verpillière. U. S. S. 332.
- Fig. 6. *Hammatoceras insigne* SCHBL. sp. Schichten mit *Lytoceras jurensse*. Uhrweiler (Unt.-Els.). L. S. S. 333.
- Fig. 7. *Hammatoceras lotharingicum* n. n. Querschnitt nach dem Original von *Ammonites aff. Sieboldi* BRANCO 30, Taf. V fig. 5. Wahrscheinlich graues Lager, Hayingen. L. S. S. 338.
-



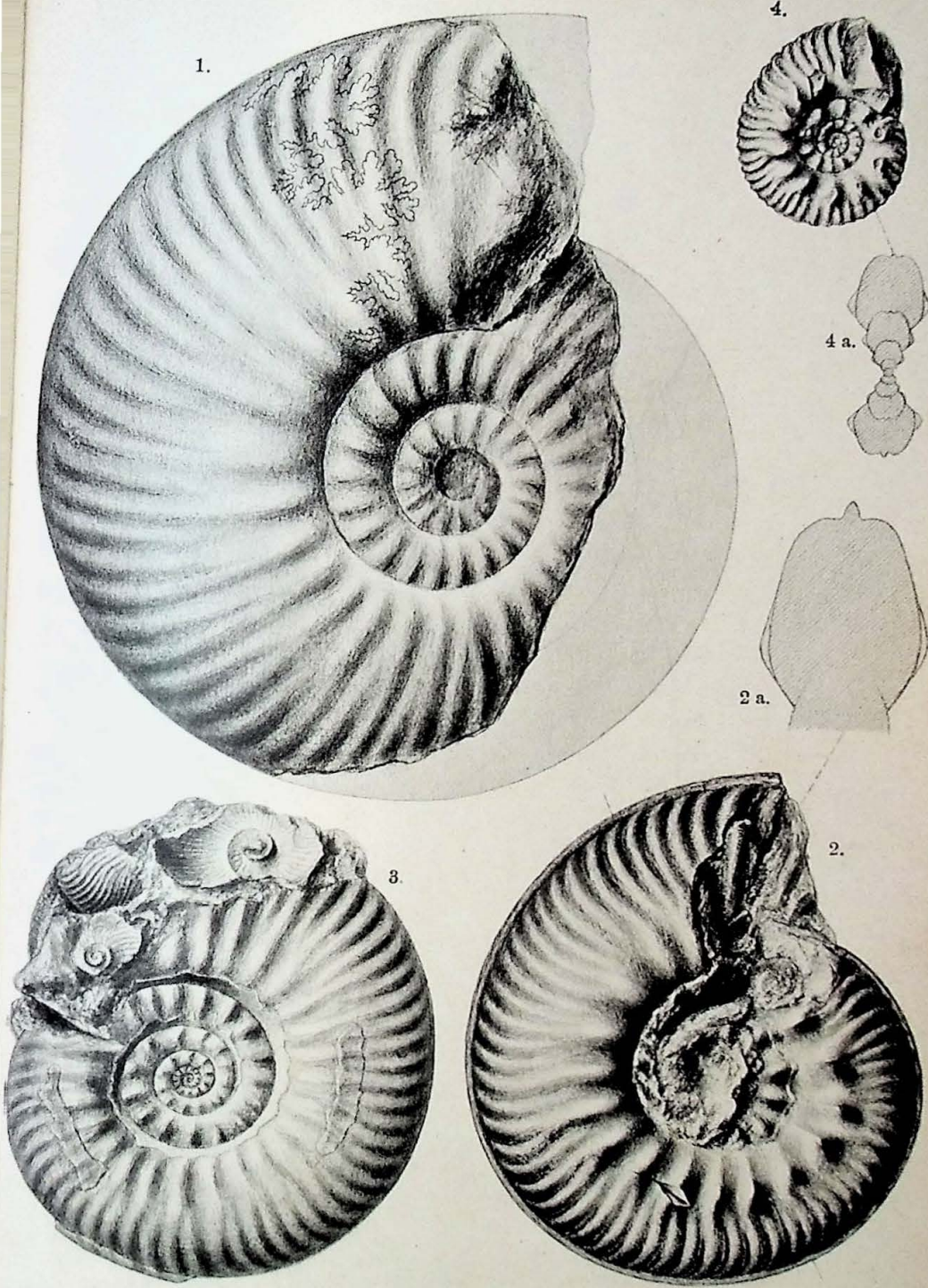
Erklärung zu Tafel XXXI.

- Fig. 1. *Lytoceras cf. irregulare* POMP. Fig. 1a, innere Windung und Durchschnitt der äußeren Windungen. 1b Sutur (Die von fig. 1b nach fig. 2 gezogene punktierte Linie müßte wegfallen. Die Sutur ist fig. 1 entnommen). Unterer Dogger, Conflans (Haute-Saône). U. S. S. 311.
- Fig. 2. *Lytoceras cf. irregulare* POMP. Fig. 2a, Ansicht von vorn. Unterer Dogger. Conflans (Haute-Saône). U. S. S. 311.
- Fig. 3. *Lytoceras fimbriatum* Sow. sp. Sutur. Schichten des *Lytoceras jurense* ZIET. Aue bei Sentheim (Ob.-Els.). L. S. S. 313.
- Fig. 4. *Hammatooceras* sp. Fig. 4a Querschnitt. Zwischen beiden rotkalkigen Lagern, Differdingen (Luxemburg). L. S. S. 339.



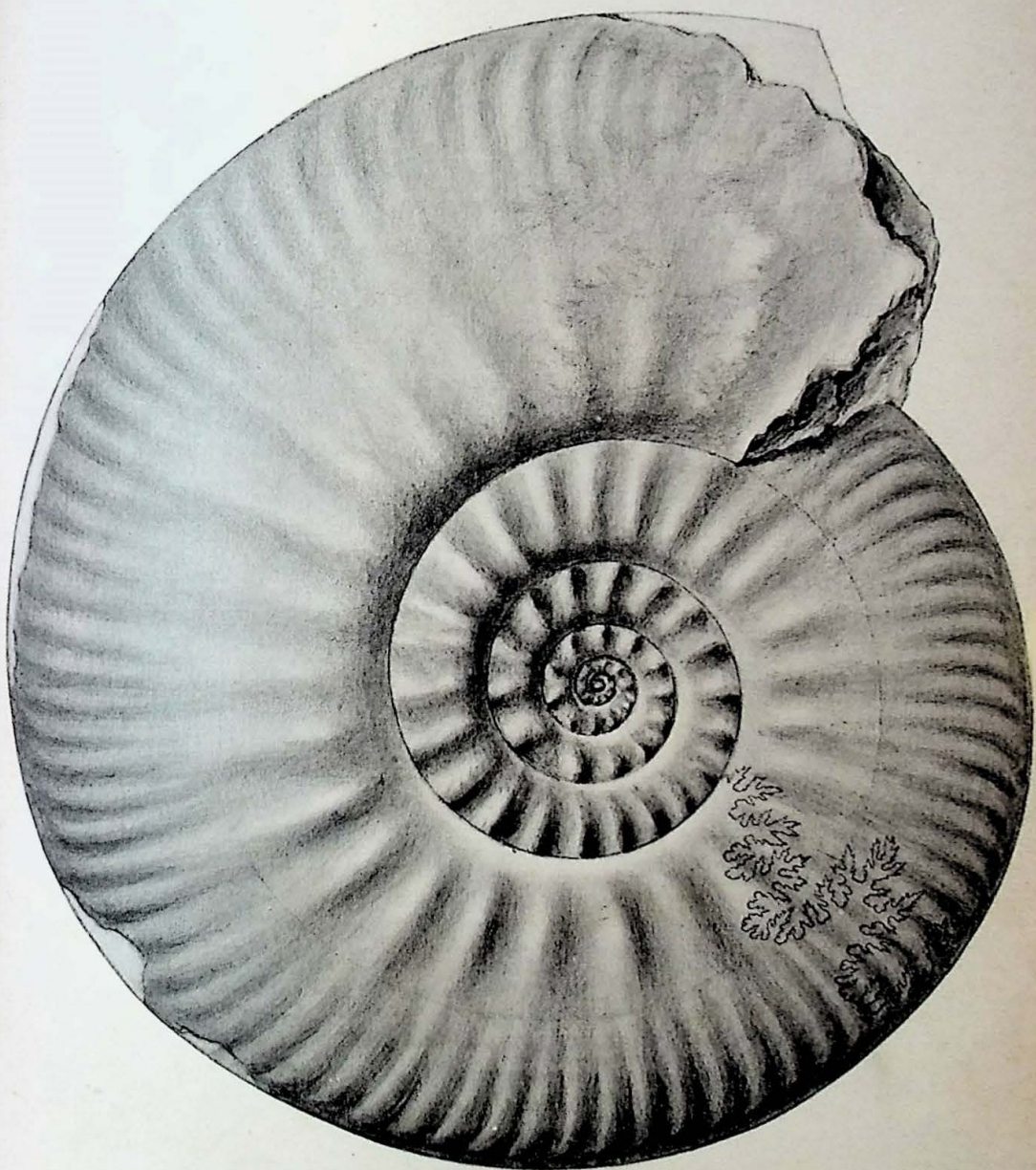
Erklärung zu Tafel XXXII.

- Fig. 1. *Hammatoceras lotharingicum* n. n. Graues Lager, Franchepré bei Moyeuvre. L. S. S. 335.
- Fig. 2. *Hammatoceras subinsigne* OPP. Fig. 2a Querschnitt. Schichten mit *Harpoceras opalinum*, Metzingen (Württemberg). Sammlung der technischen Hochschule in Stuttgart. S. 331, 333.
- Fig. 3. *Hammatoceras subinsigne* OPP. Schichten mit *Harpoceras opalinum*. La Verpillière, Isère. U. S. S. 334.
- Fig. 4. *Hammatoceras subinsigne* OPP. Fig. 4a Querschnitt. Schichten mit *Harpoceras opalinum*, Ottenbach (Württemberg). Sammlung des Königl. Naturalienkabinetts in Stuttgart. S. 333.
-



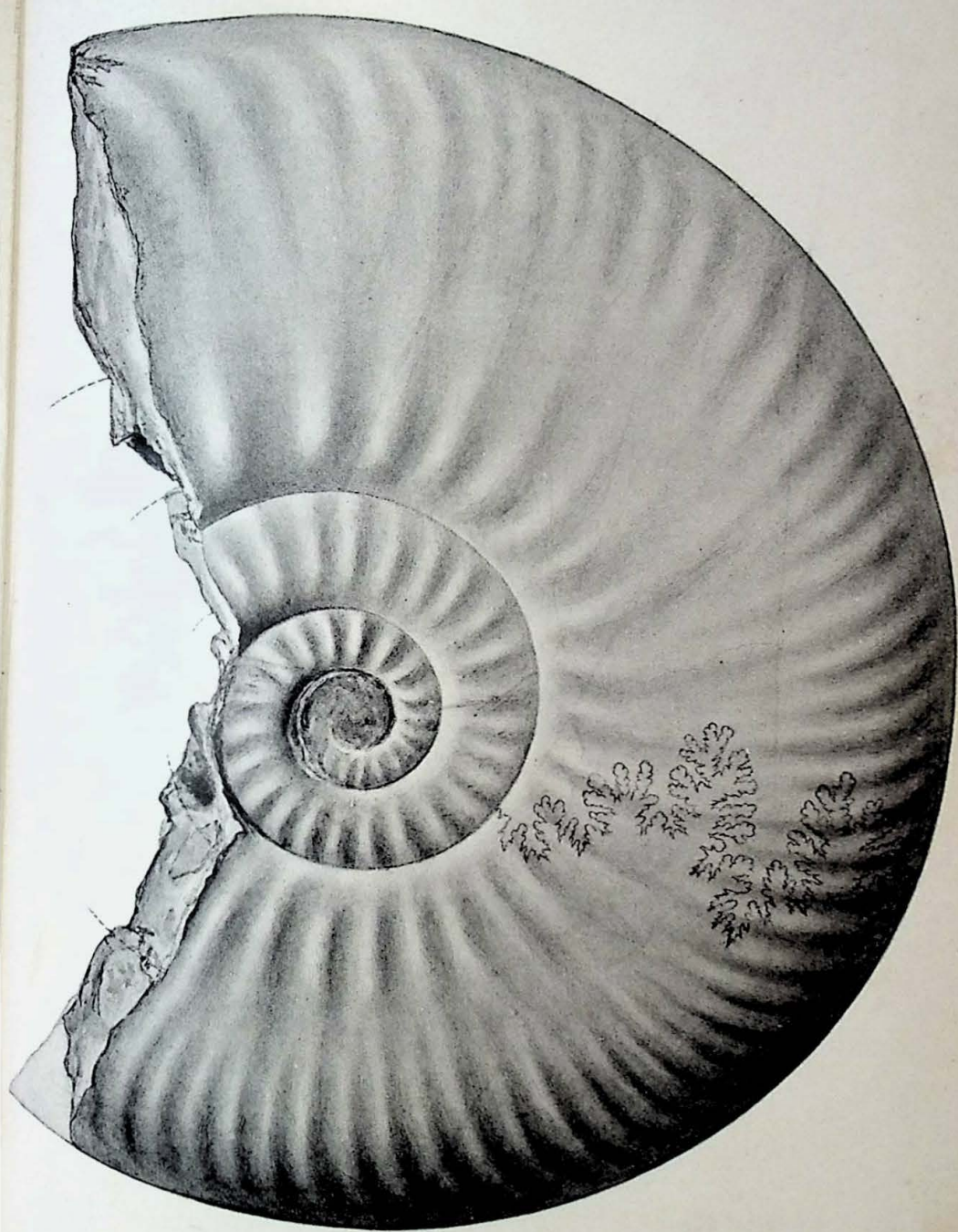
Erklärung zu Tafel XXXIII.

Hammatoceras subinsigne OPP. Graues Lager oder dicht unter
demselben, Moyeuvre. L. S. S. 334.



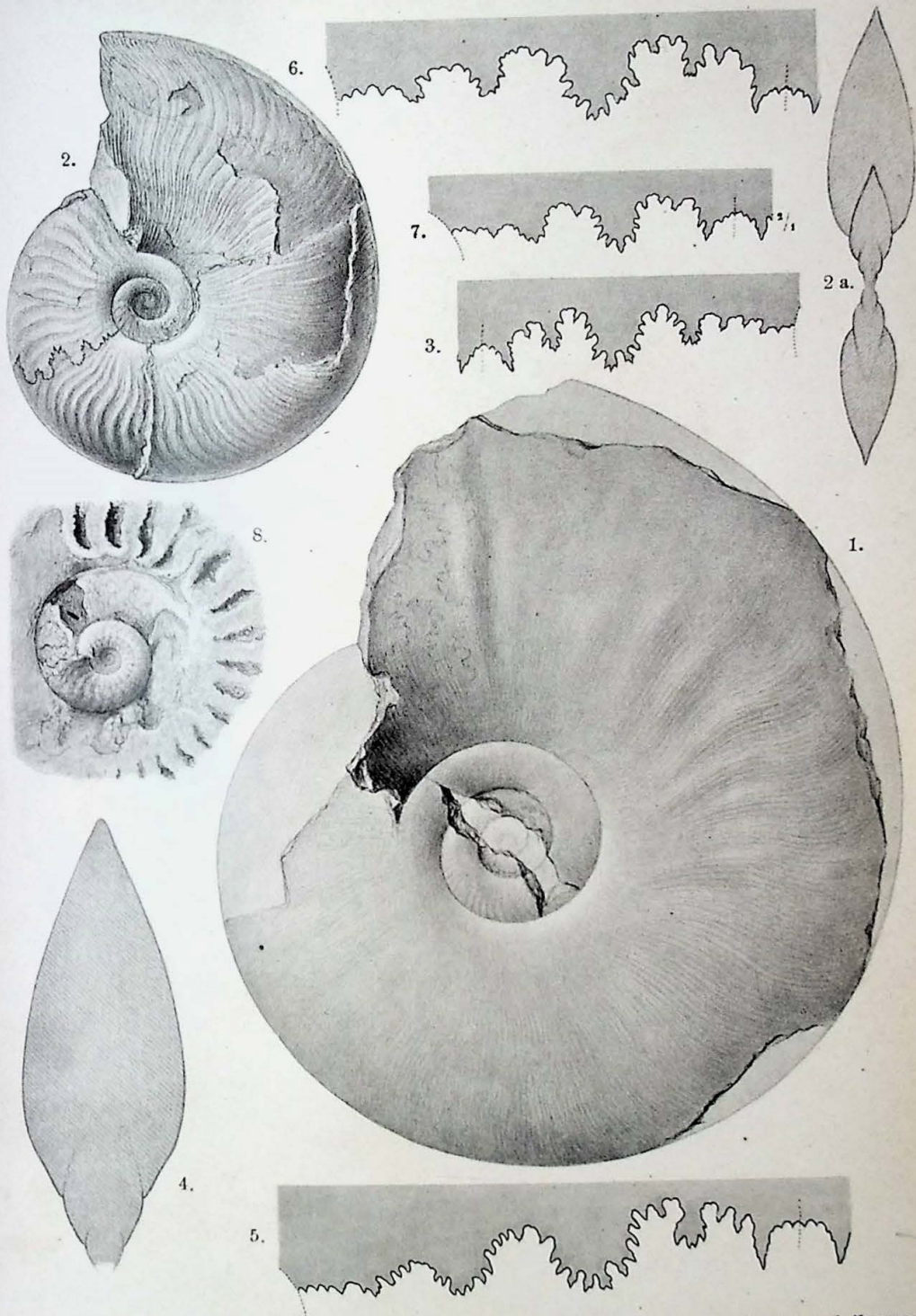
Erklärung zu Tafel XXXIV.

Hammatoceras lotharingicum n. n. Graues Lager oder dicht unter demselben, Hayingen. Nach dem Original von BRANCO (30, Taf. V fig. 5). Hayingen. L. S. S. 335.



Erklärung zu Tafel XXXV.

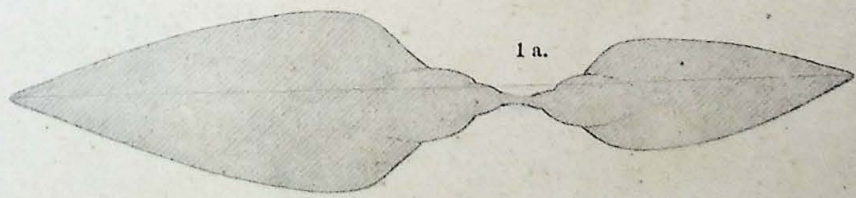
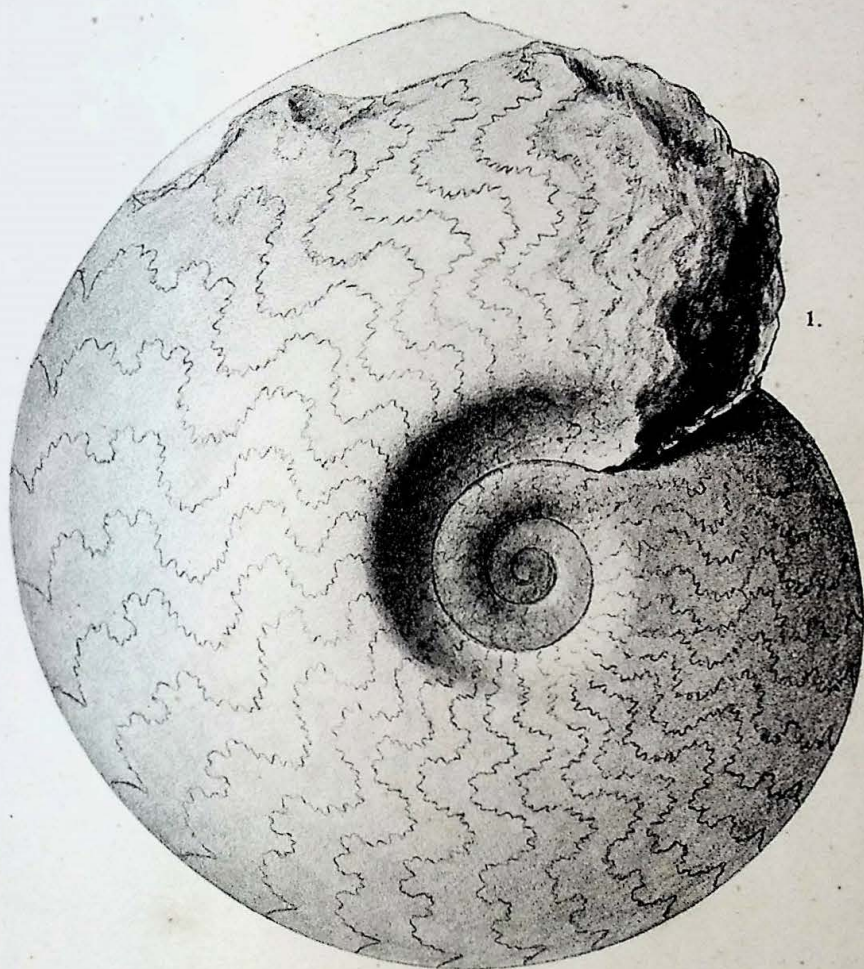
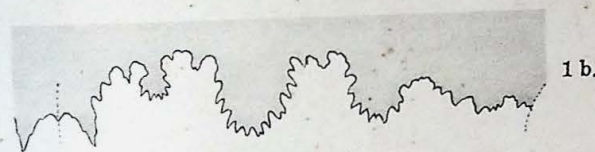
- Fig. 1. *Oxynoticeras compressum* n. sp. Über dem grauen Lager, Buvenberg bei Redingen. L. S. S. 324.
- Fig. 2. *Oxynoticeras affine* SEEB. sp. Fig. 2a Querschnitt. Schichten mit *Harpoceras opalinum*, Weenzen (Hannover). Universitätssammlung in Göttingen. S. 316.
- Fig. 3. *Oxynoticeras affine* SEEB. sp. Sutur von fig. 2. Vergröß. 5 : 2. S. 316.
- Fig. 4. *Oxynoticeras serrodens* QU. sp. Querschnitt. Schichten mit *Lytoceras jurensis*, Sondelfingen (Württemberg). U. S. S. 319.
- Fig. 5. *Oxynoticeras serrodens* QU. sp. Sutur. Schichten mit *Lytoceras jurensis*, Sondelfingen (Württemberg). U. S. S. 320.
- Fig. 6. *Oxynoticeras serrodens* QU. sp. Sutur. Schichten mit *Lytoceras jurensis*, Achdorf (Baden). U. S. S. 320.
- Fig. 7. *Oxynoticeras subserrodens* BRANCO. Sutur nach dem Exemplar bei BRANCO (30, Taf. III fig. 2). Vergröß. 2 : 1. Graues Lager, Stürzenberg. L. S. S. 327.
- Fig. 8. *Oxynoticeras compressum* n. sp. Graues Lager, Galgenberg bei Esch. L. S. S. 324.
-



Erklärung zu Tafel XXXVI.

Fig. 1. *Oxynoticeras affine* SEEB. sp. Fig. 1a Querschnitt.
Fig. 1b Sutur. Graues Lager, Lamadeleine, Luxemburg.
Sammlung des Athenäum in Luxemburg. S. 316.

Ob die in fig. 1a hervortretende Unsymmetrie
natürlich oder Folge eines Druckes ist, lässt das Stück
nicht erkennen.



Erklärung zu Tafel XXXVII.

Oxynoticeras affine SEEB. sp. Graues Lager. Fond de Gras bei
Rodingen (Luxemburg). Sammlung des Athenäum in
Luxemburg. S. 316.



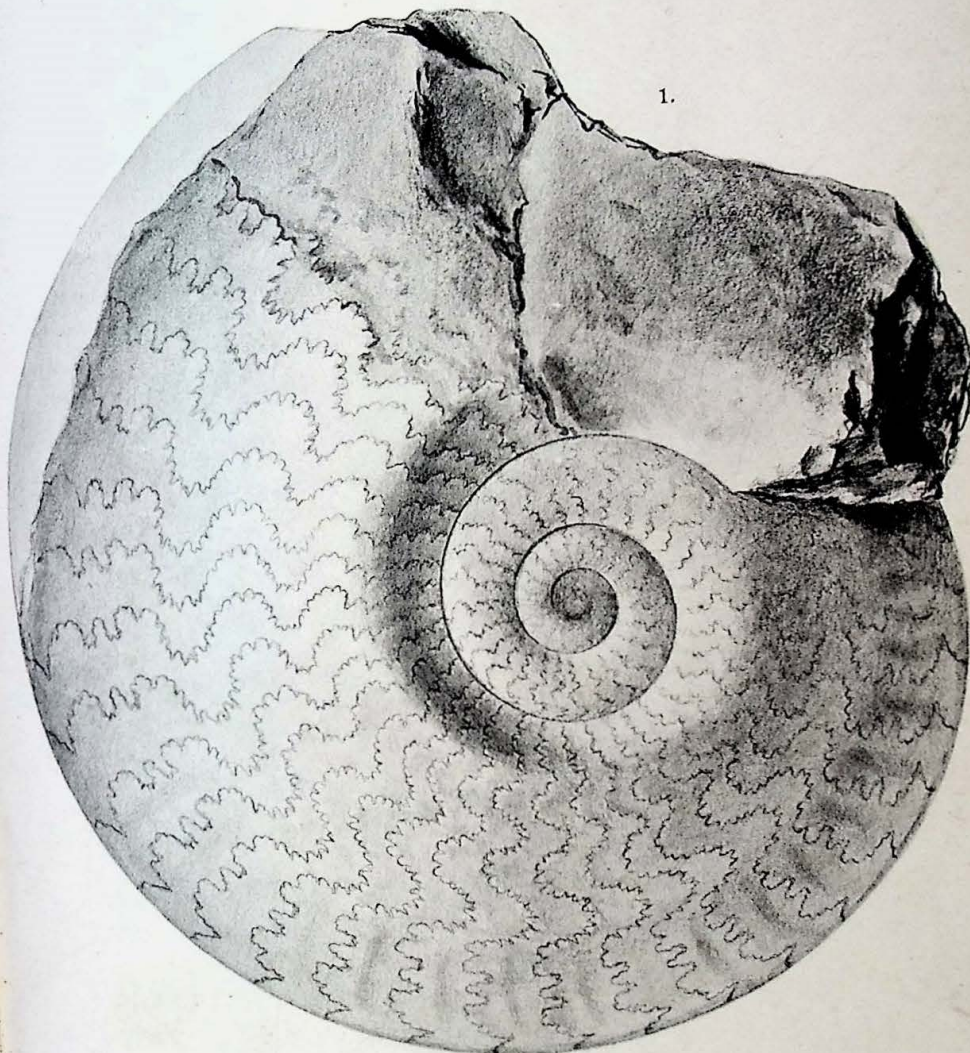
4/5

Erklärung zu Tafel XXXVIII.

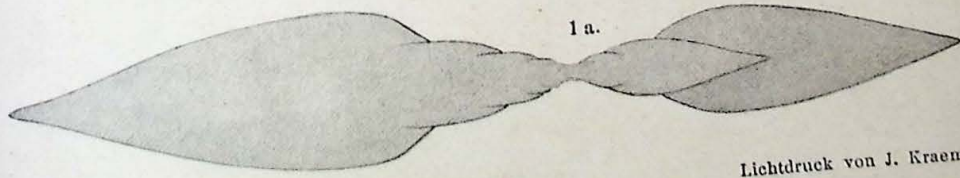
Fig. 1. *Oxynoticeras compressum* n. sp. Fig. 1a Querschnitt.
Fig. 1b Sutur. Graues Lager, Lothringen oder Luxemburg ohne nähere Fundortsangabe. U. S. S. 324.

1 b.

1.



1 a.

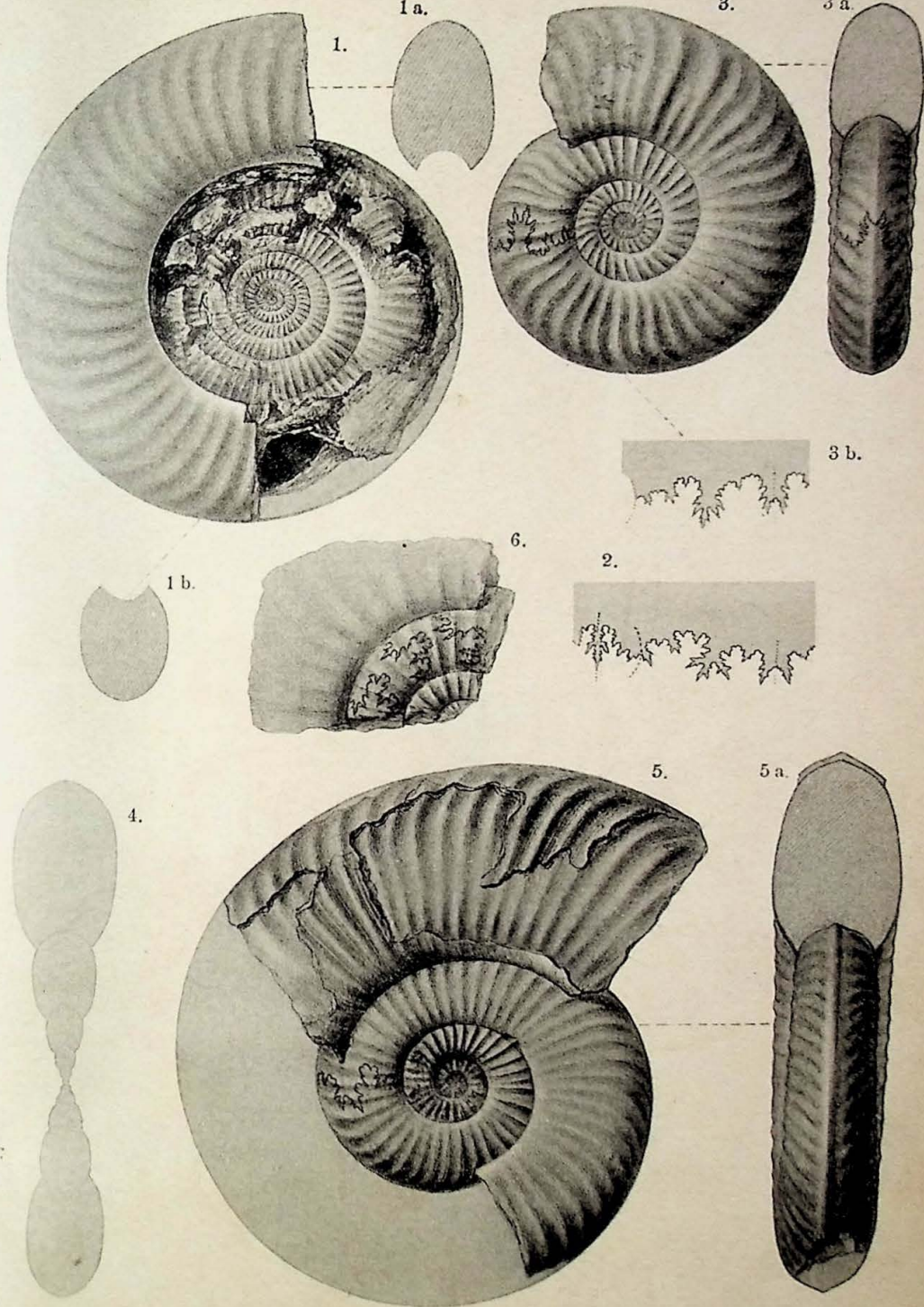


R. Scharfenberger n. d. Nat. gez.

Lichtdruck von J. Kraemer, Kehl.

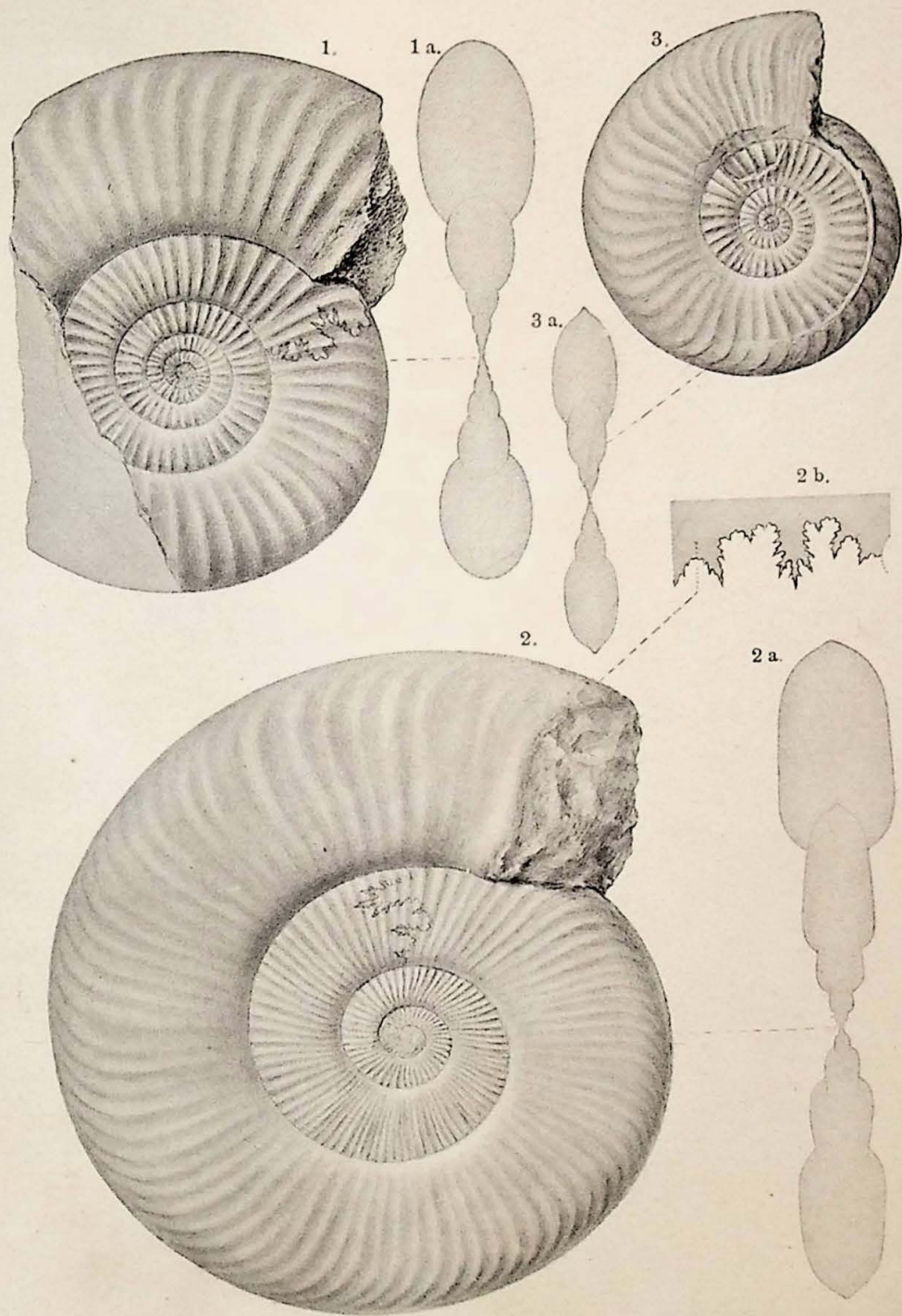
Erklärung zu Tafel XXXIX.

- Fig. 1. *Dumortieria Levesquei* ORB. sp. Fig. 1a, 1b Querschnitte. Levesqueischichten, Bahnhofserweiterung Hayingen. L. S. S. 340.
- Fig. 2. *Dumortieria Levesquei* ORB. sp. Sutur. Levesqueischichten, Algringen. S. 340.
- Fig. 3. *Dumortieria Levesquei* ORB. sp. Fig. 3a Ansicht von vorn, fig. 3b Sutur. Levesqueischichten, Réhon, Frankreich (Meurthe-et-Moselle). Sammlung des Athenäum in Luxemburg. S. 340.
- Fig. 4. *Dumortieria striatulo-costata* QU. sp. Querschnitt. Schichten mit *Lytoceras jurense*, Gegend von Gemünd (Württemberg). Nach dem Original zu QUENSTEDT (214, Taf. LII fig. 7) in der Tübinger Universitäts-sammlung. S. 346.
- Fig. 5. *Dumortieria striatulo-costata* QU. Fig. 5a Querschnitt. Ammonitenbrecce von Boll. U. S. S. 347.
- Fig. 6. *Dumortieria striatulo-costata* QU. Levesqueischichten, Algringen. Nach dem Original 14, Taf. V fig. 4. L. S. S. 347.



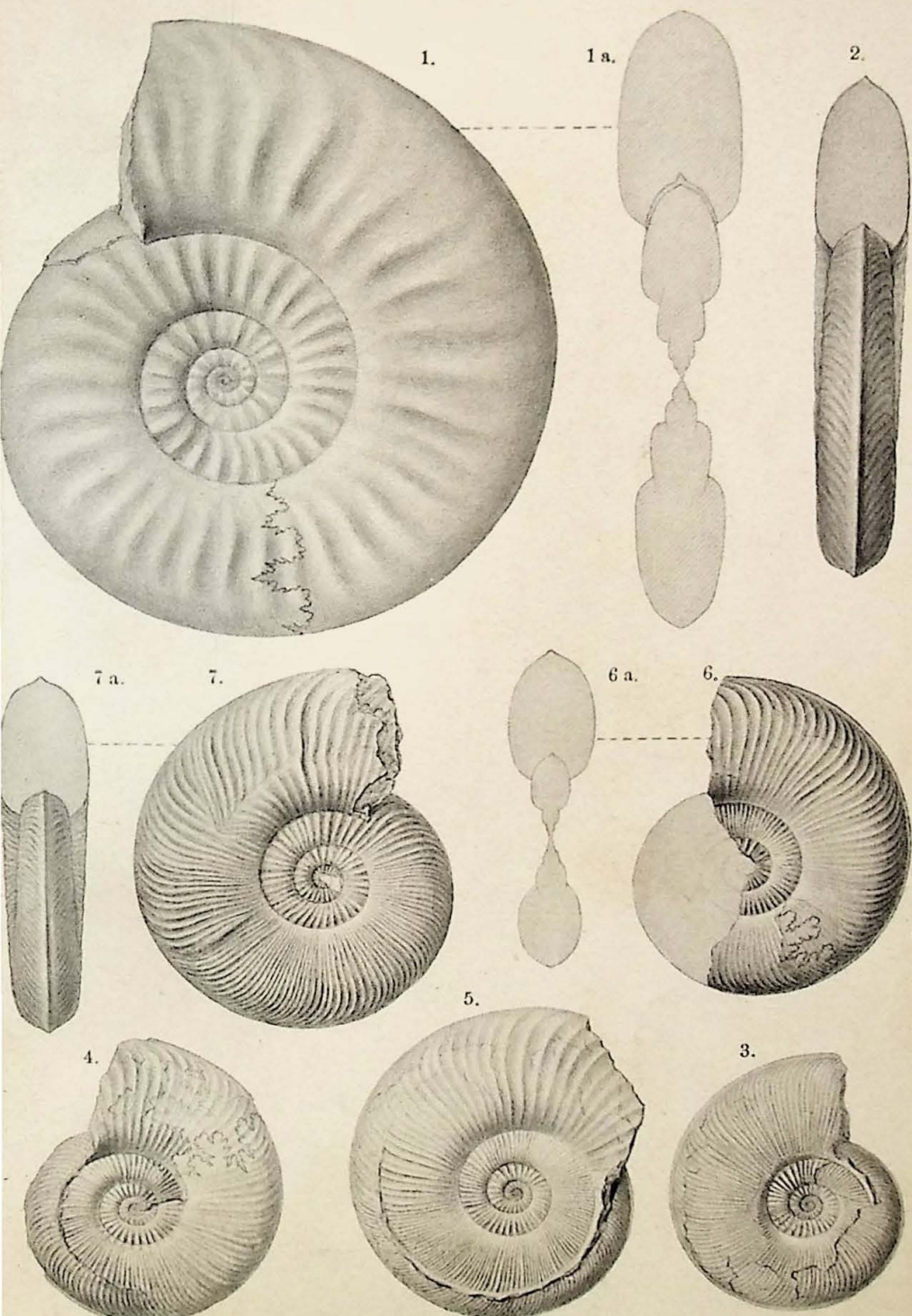
Erklärung zu Tafel XL.

- Fig. 1. *Dumortieria Levesquei* ORB. sp. Fig. 1a Querschnitt.
Levesqueischichten, Rodingen (Luxemburg). L. S.
S. 340.
- Fig. 2. *Dumortieria suevica* HAUG. Fig. 2a Querschnitt. Fig. 2b
Sutur. Levesqueischichten, Esch (Luxemburg). L. S.
S. 348.
- Fig. 3. *Dumortieria Nicklesi* n. n. Fig. 3a Querschnitt. Graues
Lager. Stürzenberg bei Bevingen. L. S. S. 356.
-



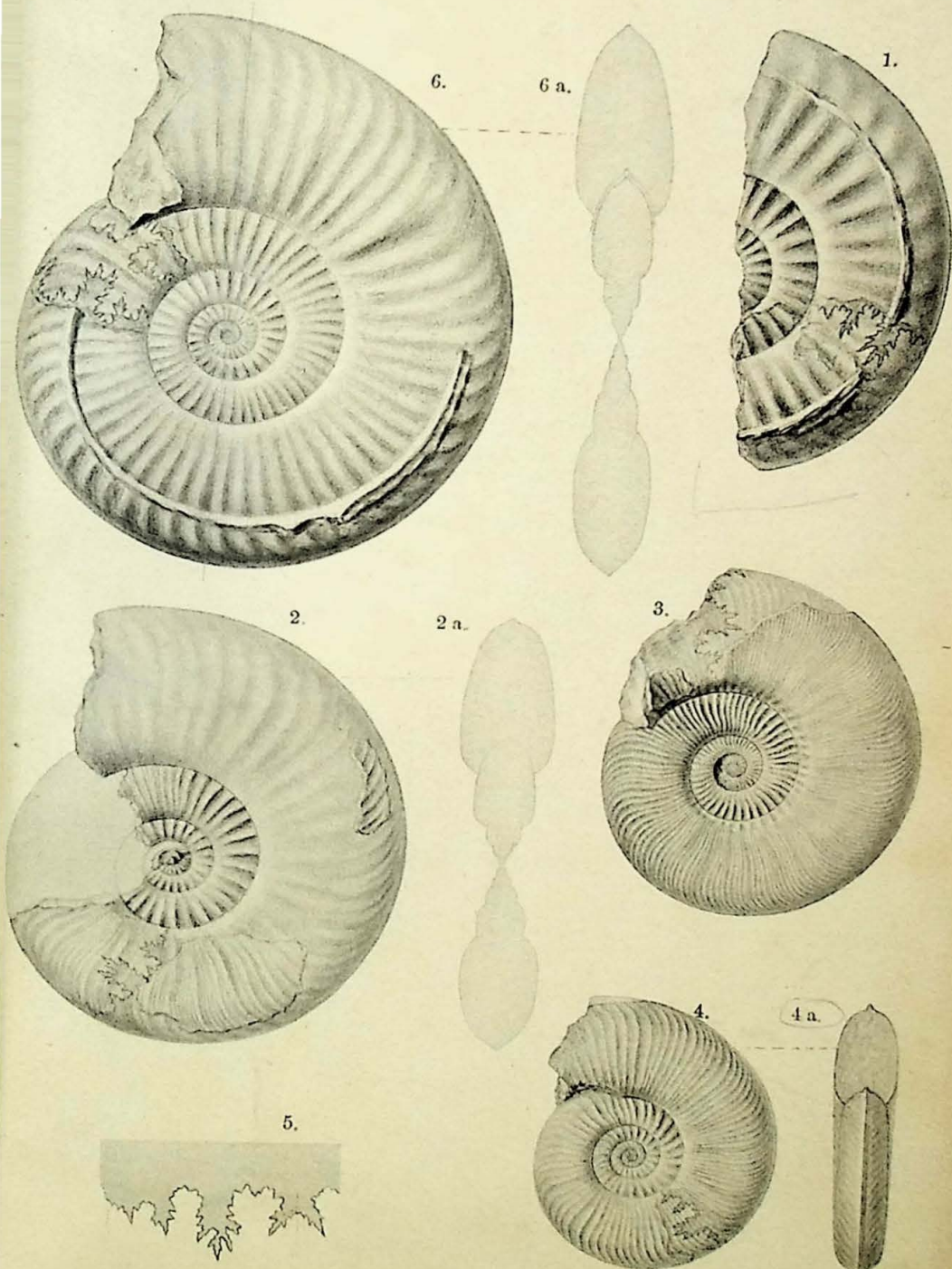
Erklärung zu Tafel XLI.

- Fig. 1. *Dumortieria Kochi* n. n. Fig. 1a Querschnitt. Braunes Lager, Esch. Sammlung des Athenäum in Luxemburg. S. 358.
- Fig. 2. *Dumortieria pseudoradiosa* BRANCO. Ansicht von vorn des Originals von BRANCO 30, Taf. II fig. 1. Graues Lager, Stürzenberg bei Bevingen. L. S. S. 361.
- Fig. 3. *Dumortieria pseudoradiosa* BRANCO. Graues Lager, Stürzenberg bei Bevingen. L. S. S. 361.
- Fig. 4. *Dumortieria pseudoradiosa* BRANCO. Graues Lager, Stürzenberg bei Bevingen. L. S. S. 361.
- Fig. 5. *Dumortieria pseudoradiosa* BRANCO. Graues Lager, Stürzenberg bei Bevingen. L. S. S. 361.
- Fig. 6. *Dumortieria pseudoradiosa* BRANCO. Fig. 6a Querschnitt. Graues Lager, Stürzenberg bei Bevingen. L. S. S. 361.
- Fig. 7. *Dumortieria pseudoradiosa* BRANCO. Fig. 7a Querschnitt. Graues Lager, Stürzenberg bei Bevingen. L. S. S. 361.



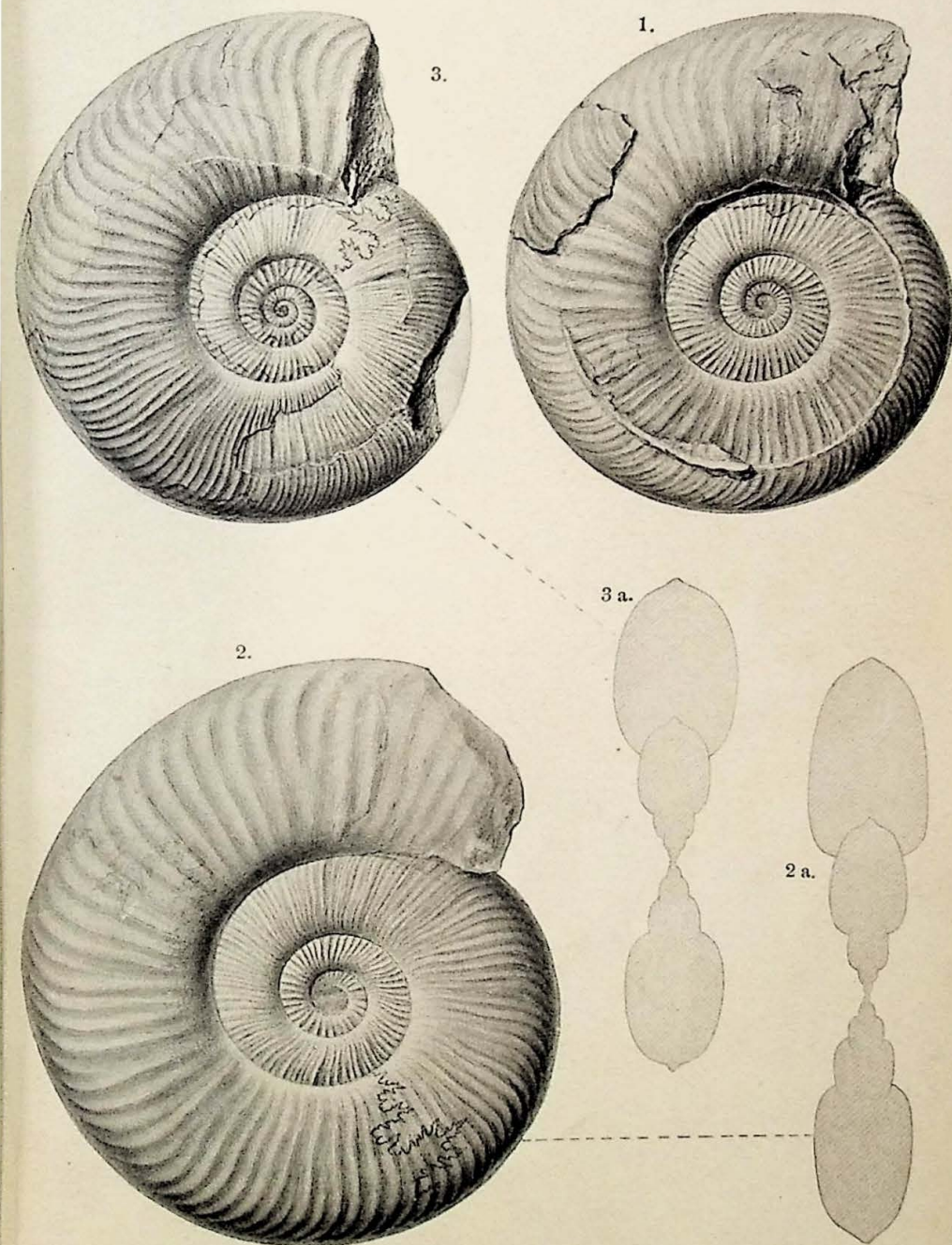
Erklärung zu Tafel XLII.

- Fig. 1. *Dumortieria subundulata* BRANCO. Graues Lager, Stürzenberg bei Bevingen. L. S. S. 351.
- Fig. 2. *Dumortieria Bleicheri* n. n. Fig. 2a Querschnitt. Graues Lager, Stürzenberg bei Bevingen. L. S. S. 354.
- Fig. 3. *Dumortieria cf. Bleicheri* n. n. Graues Lager, Stürzenberg bei Bevingen. L. S. S. 354.
- Fig. 4. *Dumortieria Bleicheri* n. n. Fig. 4a Ansicht von vorn. Graues Lager, Stürzenberg bei Bevingen. L. S. S. 354.
- Fig. 5. *Dumortieria Kochi* n. n. Sutur. Braunes Lager, Höhl bei Esch. L. S. S. 358.
- Fig. 6. *Dumortieria Nicklesi* n. n. Fig. 6a Querschnitt. Graues Lager, Stürzenberg. L. S. S. 356.
-



Erklärung zu Tafel XLIII.

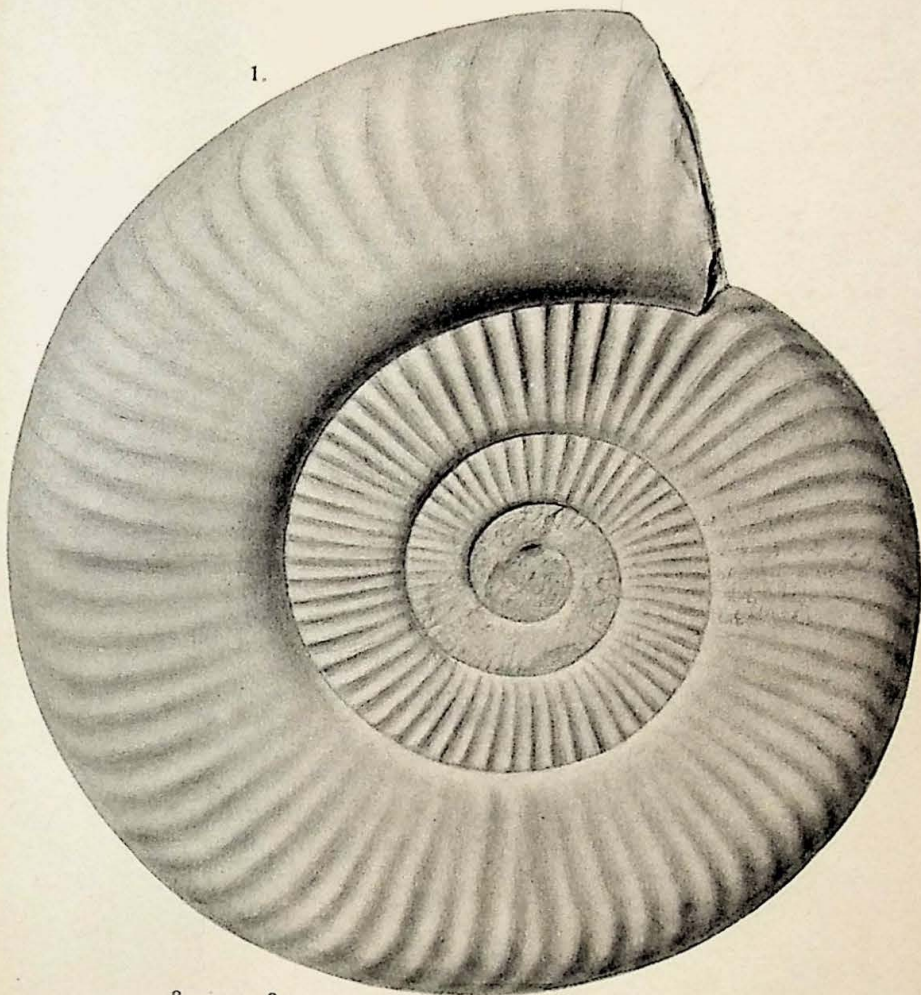
- Fig. 1. *Dumortieria pseudoradiosa* BRANCO. Graues Lager,
Stürzenberg bei Bevingen. L. S. S. 361.
- Fig. 2. *Dumortieria pseudoradiosa* BRANCO. Fig. 2a Quer-
schnitt. Graues Lager, Chavigny bei Nancy. L. S.
S. 361.
- Fig. 3. *Dumortieria radiosa* SEEB. var. *gundershofensis* HAUG.
Schichten mit *Harpoc. opalinum*, Gundershofener
Klamm. L. S. S. 366.
-



Erklärung zu Tafel XLIV.

- Fig. 1. *Dumortieria suevica* HAUG. Zwischen schwarzem und grauem Lager, Lamadeleine (Luxemburg). Sammlung des Athenäum in Luxemburg. S. 348.
- Fig. 2. *Dumortieria Brancoi* n. n. Fig. 2a Querschnitt. Wahrscheinlich graues Lager, Luxemburg. Sammlung des Athenäum in Luxemburg. S. 368.
- Fig. 3. *Dumortieria Brancoi* n. n. Fig. 3a Sutur. Wahrscheinlich graues Lager, nördliches Lothringen. L. S. S. 368.

1.



3.

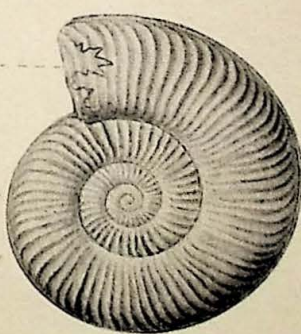
3 a.



2 a.

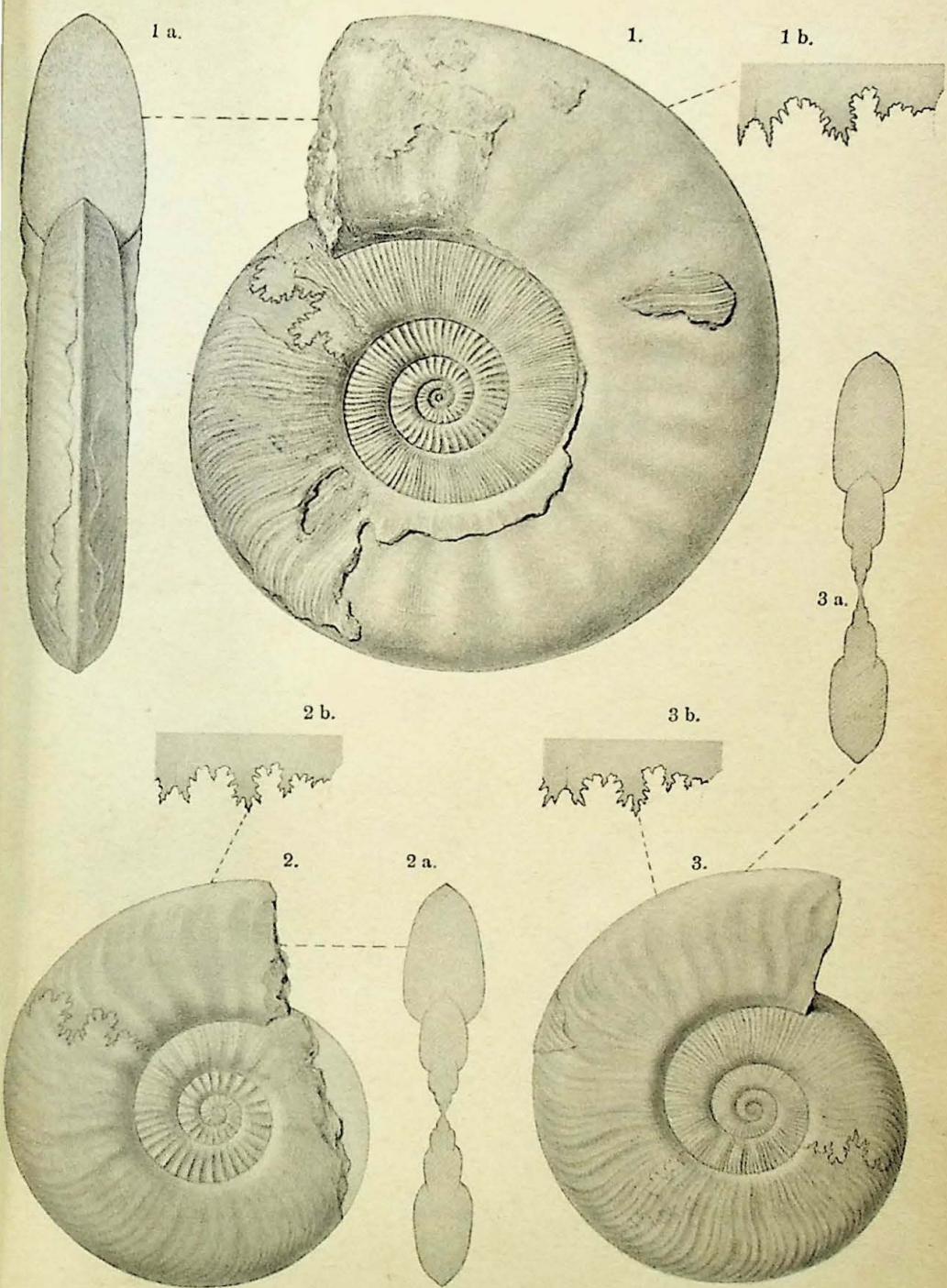


2.



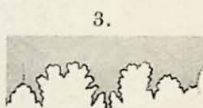
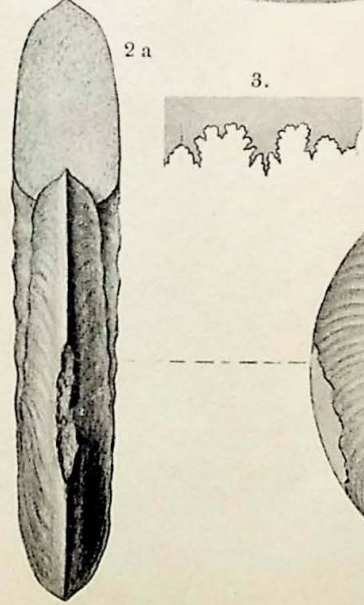
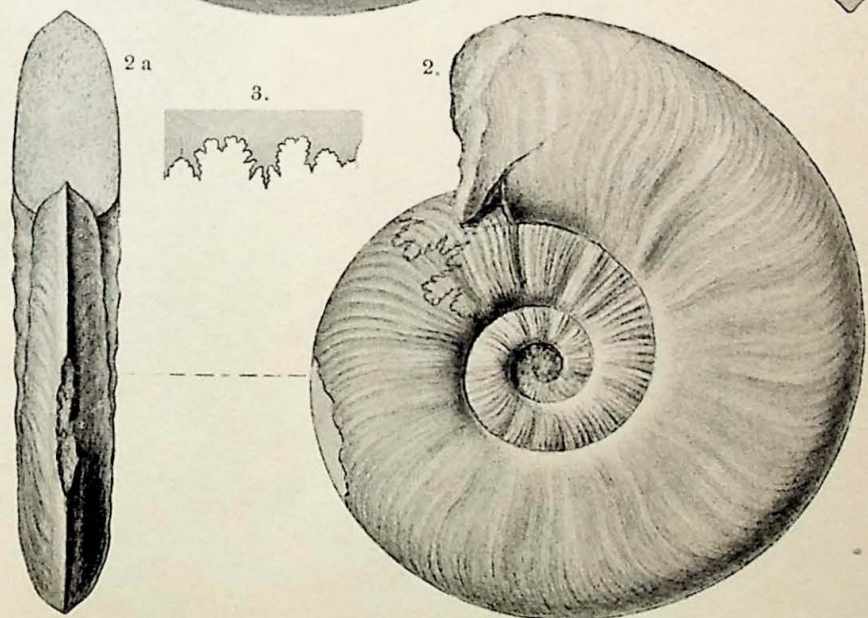
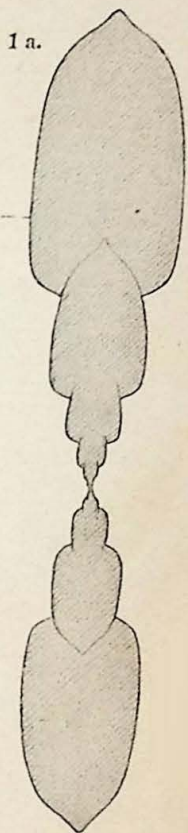
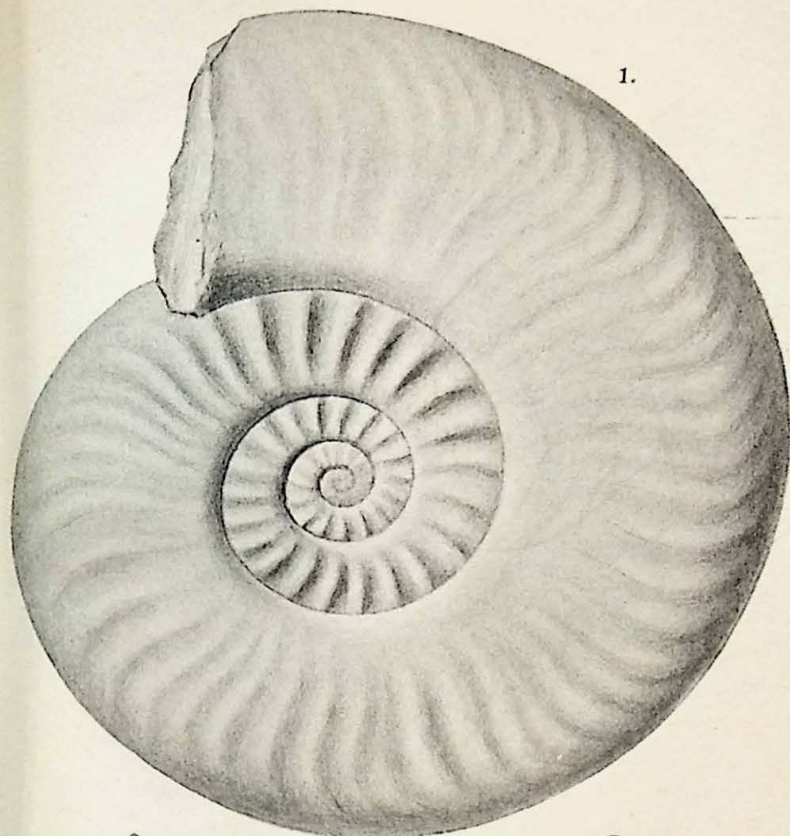
Erklärung zu Tafel XLV.

- Fig. 1. *Dumortieria Moorei* LYC. Fig. 1a Ansicht von vorn.
Fig. 1b Sutur. Graues Lager, nördliches Lothringen.
L. S. S. 376.
- Fig. 2. *Dumortieria Moorei* LYC. Fig. 2a Querschnitt, fig. 2b
Sutur. Schichten mit *Harpoc. opalinum*, La Verpillière.
U. S. S. 376.
- Fig. 3. *Dumortieria mactra* DUM. Fig. 3a Querschnitt, fig. 3b
Sutur. Schichten mit *Harpoc. opalinum*. La Verpillière.
U. S. S. 380.



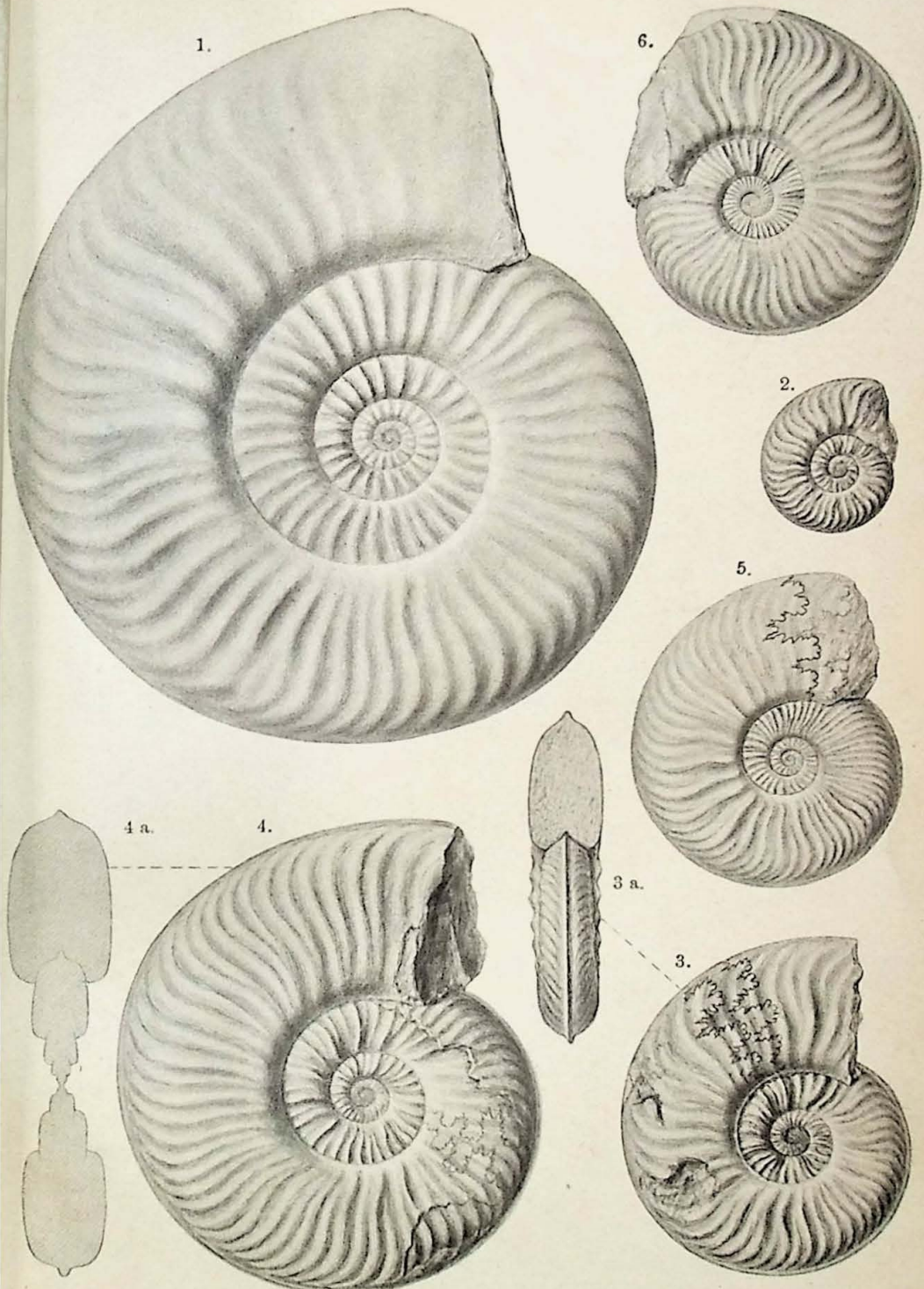
Erklärung zu Tafel XLVI.

- Fig. 1. *Harpoceras Hinsbergi* n. sp. Fig. 1a Querschnitt. Graues Lager, Moyeuvre. Sammlung des Athenäum in Luxemburg. S. 374.
- Fig. 2. *Harpoceras subcomptum* BRANCO. Fig. 2a Ansicht von vorn. Graues Lager, Rote Erde bei Esch. L. S. S. 387.
- Fig. 3. *Harpoceras subcomptum* BRANCO. Sutur. Graues Lager, Esch. Sammlung des Athenäum in Luxemburg. S. 387.



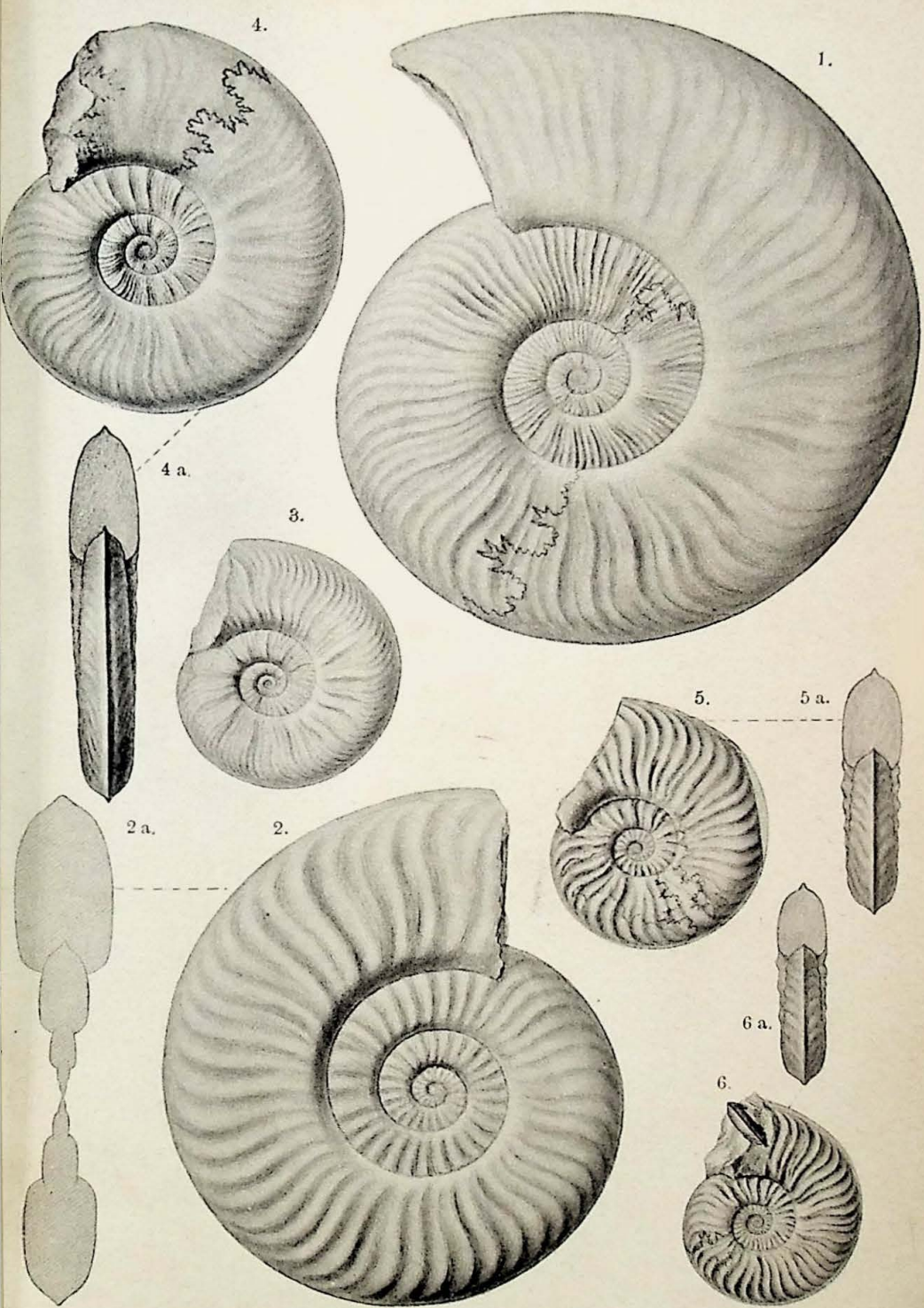
Erklärung zu Tafel XLVII.

- Fig. 1. *Harpoceras cf. fluitans* (DUM.) BRANCO. Graues Lager, Esch. Sammlung des Athenäum in Luxemburg. S. 385.
- Fig. 2. *Harpoceras aalense* Z. Zwischen den beiden rotkalkigen Lagern, Villerupt. L. S. S. 389.
- Fig. 3. *Harpoceras aalense* Z. Fig. 3a Ansicht von vorn. Zwischen den beiden rotkalkigen Lagern, Villerupt. L. S. S. 389.
- Fig. 4. *Harpoceras aalense* Z. Fig. 4a Durchschnitt. Schichten mit *Harp. opalinum*, Gundershofen. L. S. S. 389.
- Fig. 5. *Harpoceras cf. aalense* Z. Graues Lager, Pickberg bei Redingen. L. S. S. 389.
- Fig. 6. *Harpoceras aalense* Z. Graues Lager, Stürzenberg bei Bevingen. L. S. S. 389.



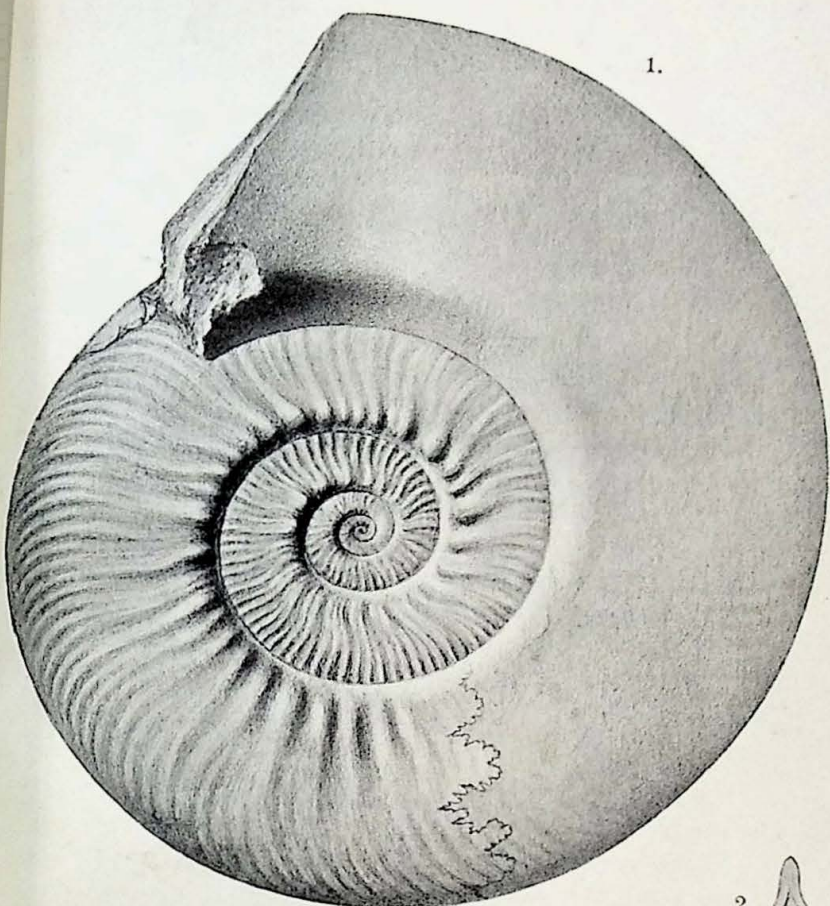
Erklärung zu Tafel XLVIII.

- Fig. 1. *Harpoceras subcomptum* BRANCO. Braunes Lager, Esch.
Sammlung des Athenäum in Luxemburg. S. 387.
- Fig. 2. *Harpoceras cf. fluitans* (DUM.) BRANCO. Fig. 2a Quer-
schnitt. Graues Lager, Düdelingen. Sammlung des
Athenäum in Luxemburg. S. 385.
- Fig. 3. *Harpoceras subcomptum* BRANCO. Braunes Lager, Grube
St. Michel bei Deutsch-Oth. L. S. S. 387.
- Fig. 4. *Harpoceras cf. subcomptum* BRANCO. Fig. 4a Ansicht
von vorn. Levesqueischichten, Maringen. L. S. S. 387.
- Fig. 5. *Harpoceras aalense* Z. Genaues Lager unbekannt, Ars.
L. S. S. 389.
- Fig. 6. *Harpoceras aalense* Z. Schichten mit *Harpoceras opa-*
linum, Gundershofen. L. S. S. 389.

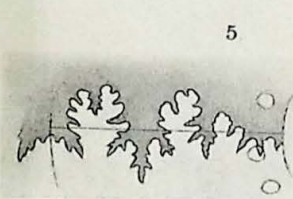
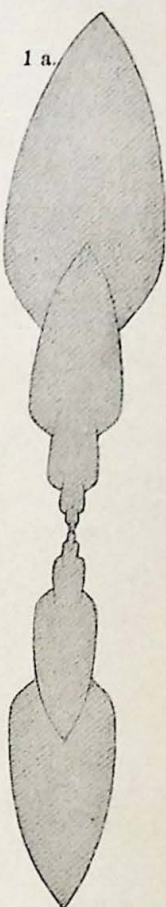


Erklärung zu Tafel XLIX.

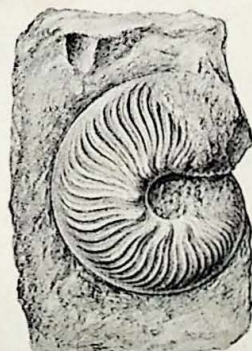
- Fig. 1. *Harpoceras dispansum* LYC. Fig. 1a Durchschnitt. Levesquei- oder oberste Fallaciosusschichten, Réhon, Frankreich (Meurthe-et-Moselle). Sammlung des Athénäum in Luxemburg. S. 372.
- Fig. 2. *Harpoceras dispansum* LYC. Durchschnitt. Fallaciosusschichten, Gentringer Höhe bei Diedenhofen. L. S. S. 372.
- Fig. 3. *Harpoceras dispansum* LYC. Fallaciosusschichten, Stollen Burbach I bei Kneuttingen. L. S. S. 372.
- Fig. 4. *Harpoceras dispansum* LYC. Sutur. Levesqueischichten, Algringen. L. S. S. 372.
- Fig. 5. *Harpoceras variabile* ORB. Sutur. Oberer Lias, Evreey (Calvados). U. S. S. 373.
-



1.

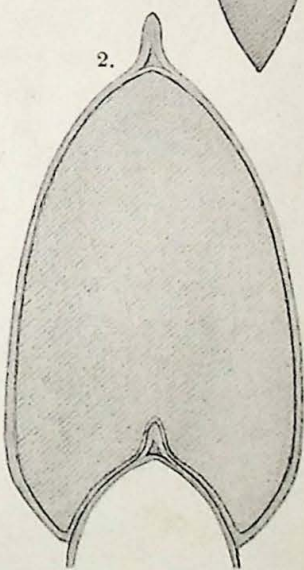


5



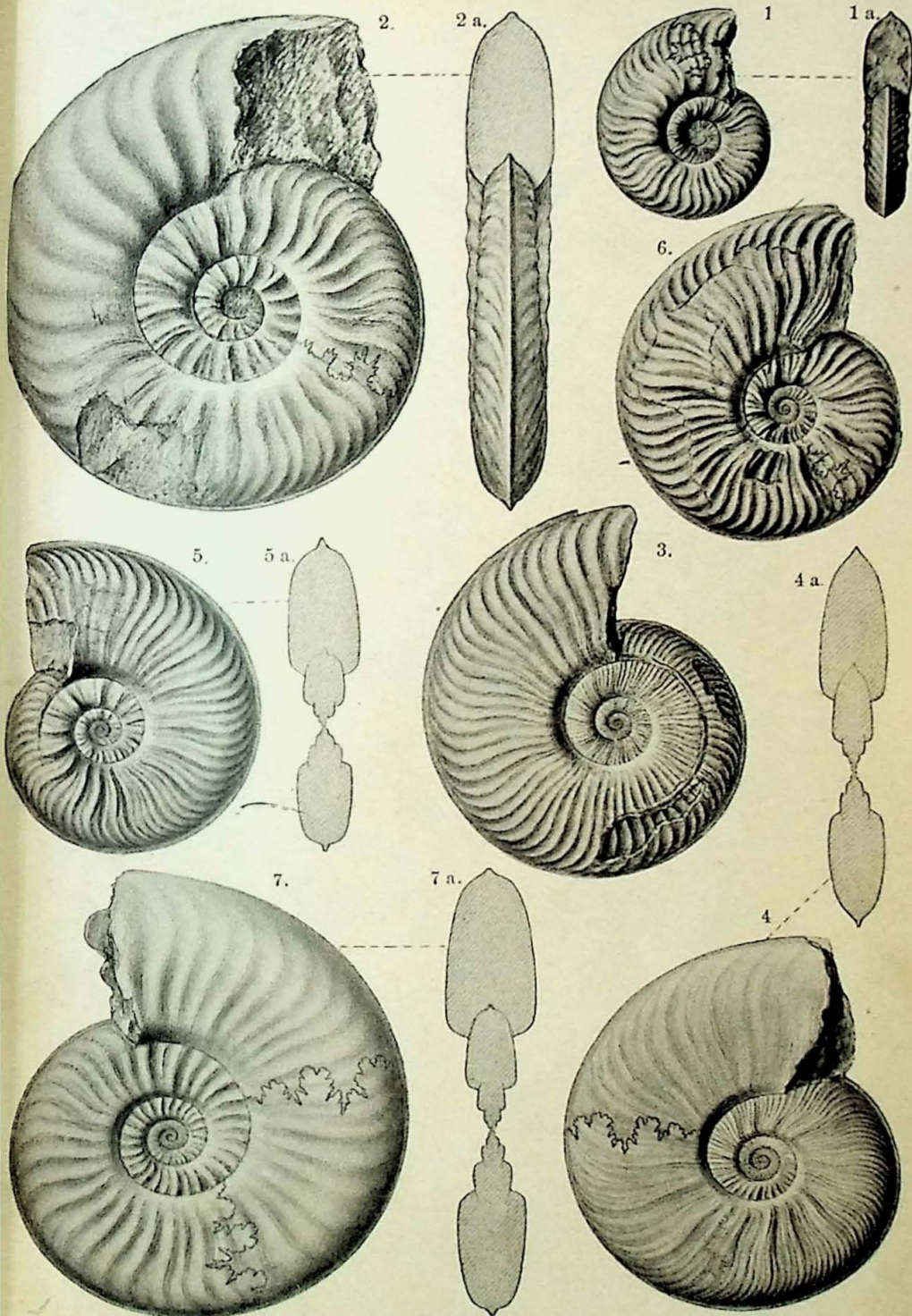
4.

3.



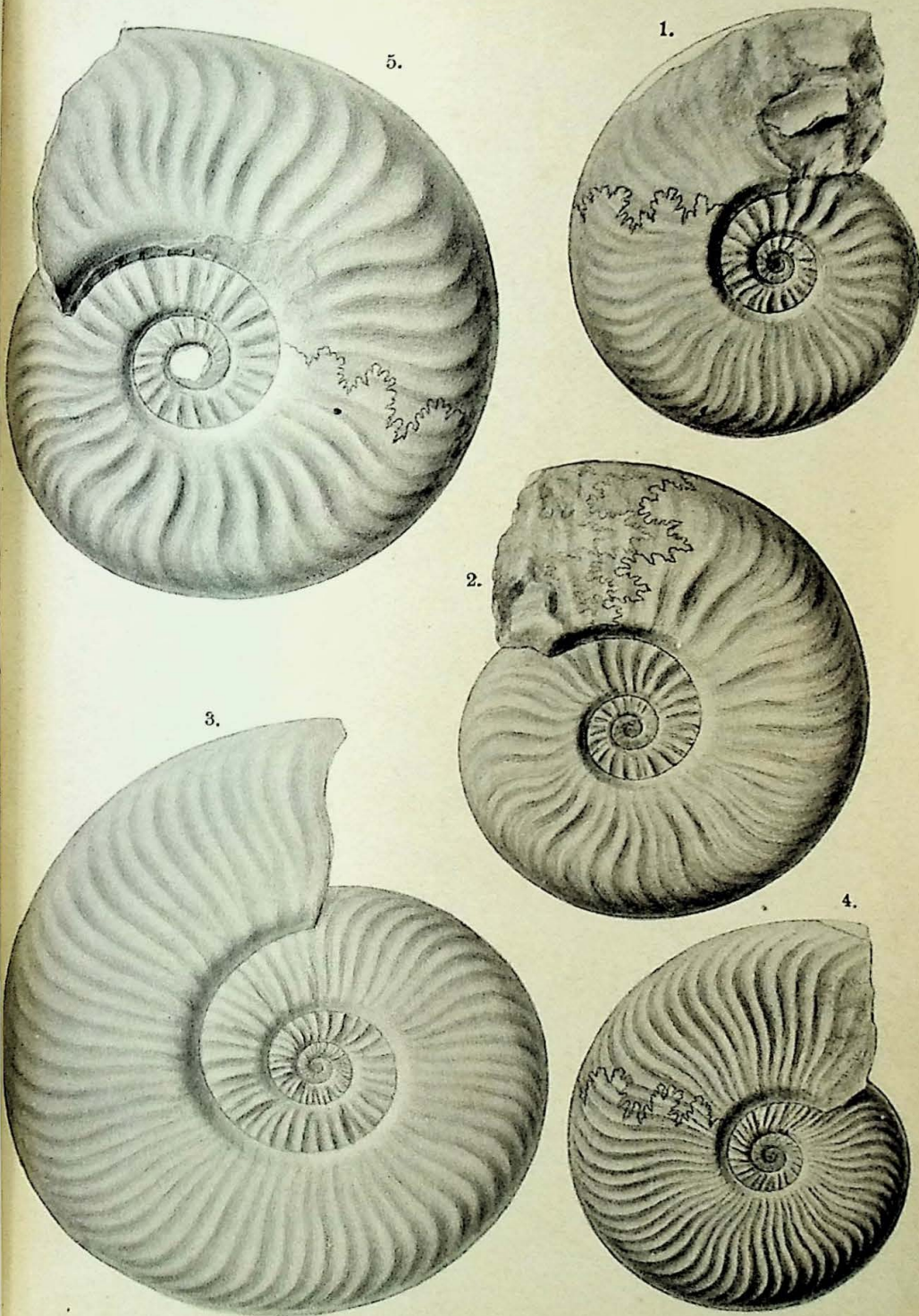
Erklärung zu Tafel L.

- Fig. 1. *Harpoceras aalense* Z. Fig. 1a Ansicht von vorn. Nach dem Original zu QUENSTEDT 209, Taf. VII fig. 1 und 214, Taf. LIV fig. 1. Sammlung des geologischen Instituts der Universität Tübingen. S. 389.
- Fig. 2. *Harpoceras* sp. Fig. 2a Ansicht von vorn. Levesqueischichten, Maringen. L. S. S. 394.
- Fig. 3. *Harpoceras* sp. Graues Lager, Stürzenberg bei Bevingen. L. S. S. 393.
- Fig. 4. *Harpoceras opalinum* REIN. sp. var. comptum. Fig. 4a Querschnitt. Graues Lager, Düdelingen. Sammlung des Athenäum in Luxemburg. S. 410.
- Fig. 5. *Harpoceras aalense* Z. Fig. 5a Querschnitt. Graues Lager, Stürzenberg bei Bevingen. L. S. S. 389.
- Fig. 6. *Harpoceras aalense* Z. Schichten mit *Harpoc. opalinum*, La Verpillière (Isère). U. S. S. 389.
- Fig. 7. *Harpoceras Grandjeani* n. sp. Zwischen beiden rot-kalkigen Lagern, Villerupt. L. S. S. 375.



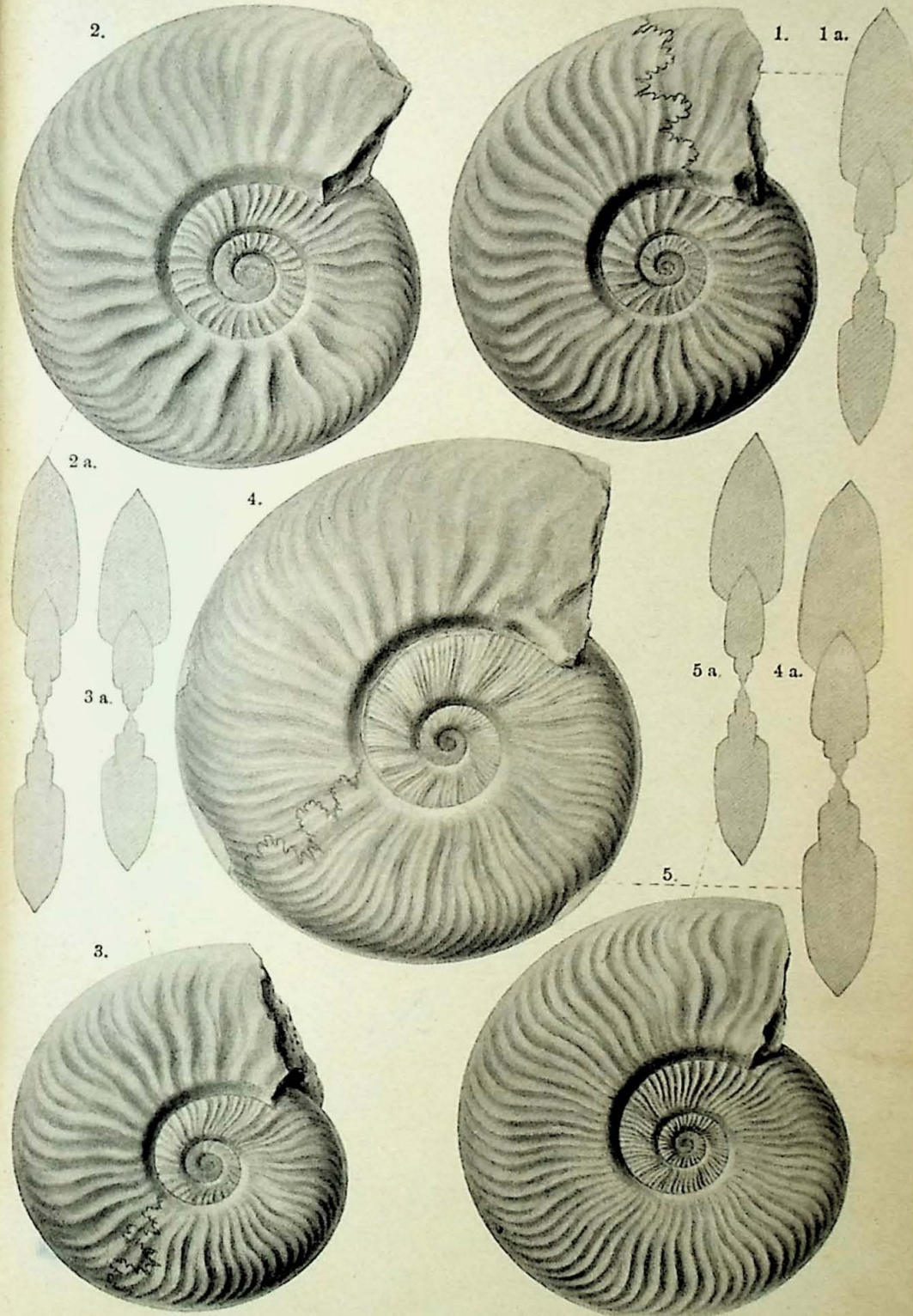
Erklärung zu Tafel LI.

- Fig. 1. *Harpoceras lotharingicum* BRANCO. Zwischen beiden rotkalkigen Lagern, Villerupt. L. S. S. 399.
- Fig. 2. *Harpoceras lotharingicum* BRANCO. Graues Lager, Moyeuvre. L. S. S. 399.
- Fig. 3. *Harpoceras lotharingicum* BRANCO. Graues Lager, Beles. Sammlung des Athenäum in Luxemburg. S. 399.
- Fig. 4. *Harpoceras* sp. BRANCO. Graues Lager, Düdelingen. Sammlung des Athenäum in Luxemburg. S. 401.
- Fig. 5. *Harpoceras* cf. *lotharingicum* BRANCO. Graues Lager, Düdelingen. Sammlung des Athenäum in Luxemburg. S. 400.



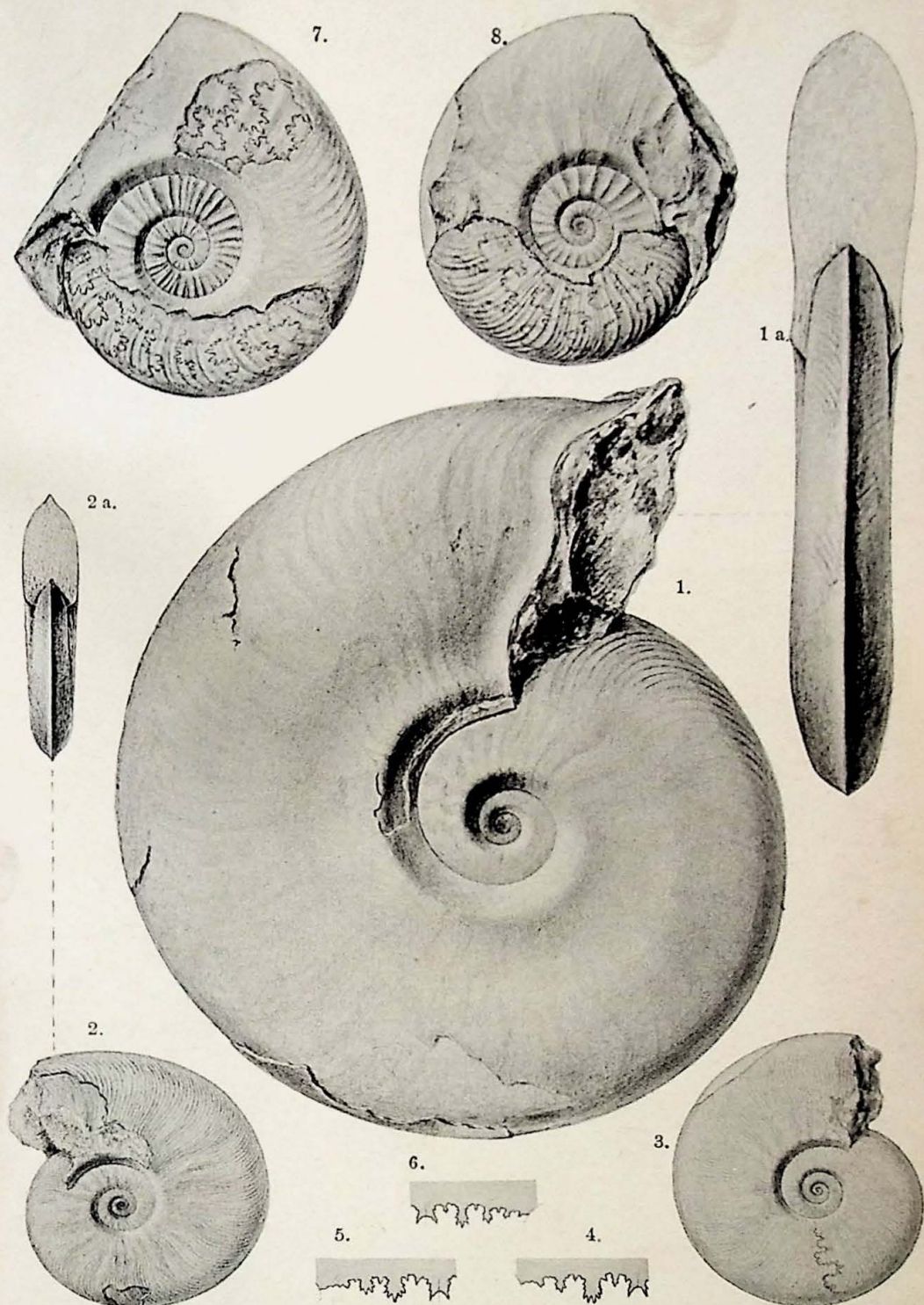
Erklärung zu Tafel LII.

- Fig. 1. *Harpoceras lotharingicum* BRANCO. Fig. 1a Querschnitt.
Graues Lager, Düdelingen. Sammlung des Athenäum
in Luxemburg. S. 399.
- Fig. 2. *Harpoceras lotharingicum* BRANCO. Fig. 2a Querschnitt.
Graues Lager, Düdelingen. Sammlung des Athenäum
in Luxemburg. S. 399.
- Fig. 3. *Harpoceras lotharingicum* BRANCO. Fig. 3a Querschnitt.
Graues Lager, Düdelingen. Sammlung des Athenäum
in Luxemburg. S. 399.
- Fig. 4. *Harpoceras* sp. Fig. 4a Querschnitt. Graues Lager,
Düdelingen. Sammlung des Athenäum in Luxemburg.
S. 401.
- Fig. 5. *Harpoceras lotharingicum* BRANCO. Fig. 5a Querschnitt.
Graues Lager, Düdelingen. Sammlung des Athenäum
in Luxemburg. S. 399.



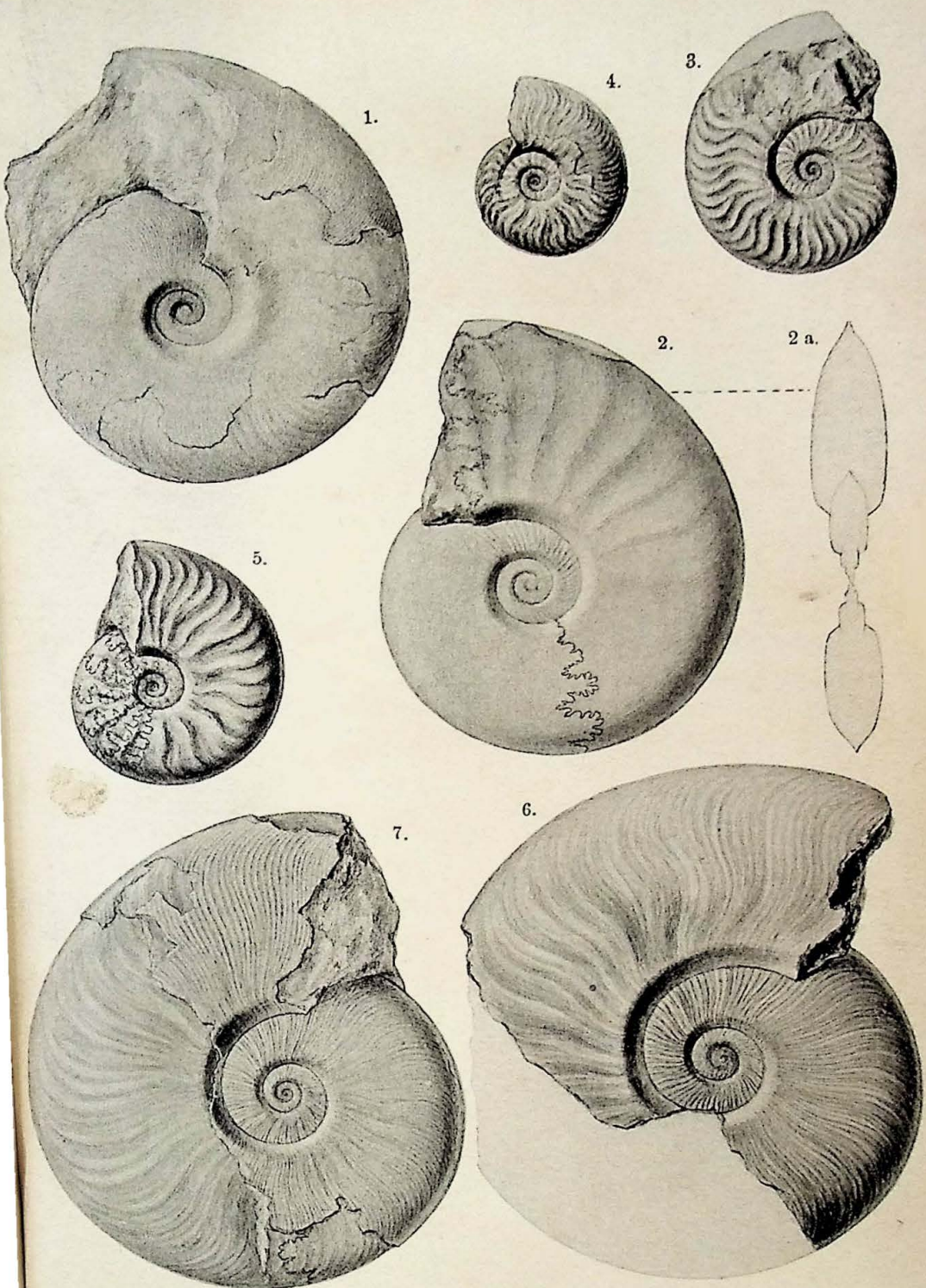
Erklärung zu Tafel LIII.

- Fig. 1. *Harpoceras opalinum* REIN. sp. Fig. 1a Ansicht von vorn. Graues Lager, Mine de l'Orne, Moyeuvre. L. S. S. 403.
- Fig. 2. *Harpoceras opalinum* REIN. sp. Fig. 2a Ansicht von vorn. Graues Lager, Saarschacht bei Roncourt. L. S. S. 403.
- Fig. 3. *Harpoceras opalinum* REIN. sp. Graues Lager, Saarschacht bei Roncourt. L. S. S. 403.
- Fig. 4. *Harpoceras opalinum* REIN. sp. Sutur. Graues Lager, Saarschacht bei Roncourt. L. S. S. 409.
- Fig. 5. *Harpoceras opalinum* REIN. sp. Sutur. Graues Lager, Saarschacht bei Roncourt. L. S. S. 409.
- Fig. 6. *Harpoceras opalinum* REIN. sp. Sutur. Schichten des *Harpoc. opalinum*, Reichenbach bei Wintringen (Württemberg). U. S. S. 409.
- Fig. 7. *Harpoceras cf. leurum* S. S. BUCKM. Levesqueischichten, Galerie des Aulnes, Maringen. L. S. S. 402.
- Fig. 8. *Harpoceras cf. leurum* S. S. BUCKM. Levesqueischichten, Galerie des Aulnes, Maringen. L. S. S. 402.



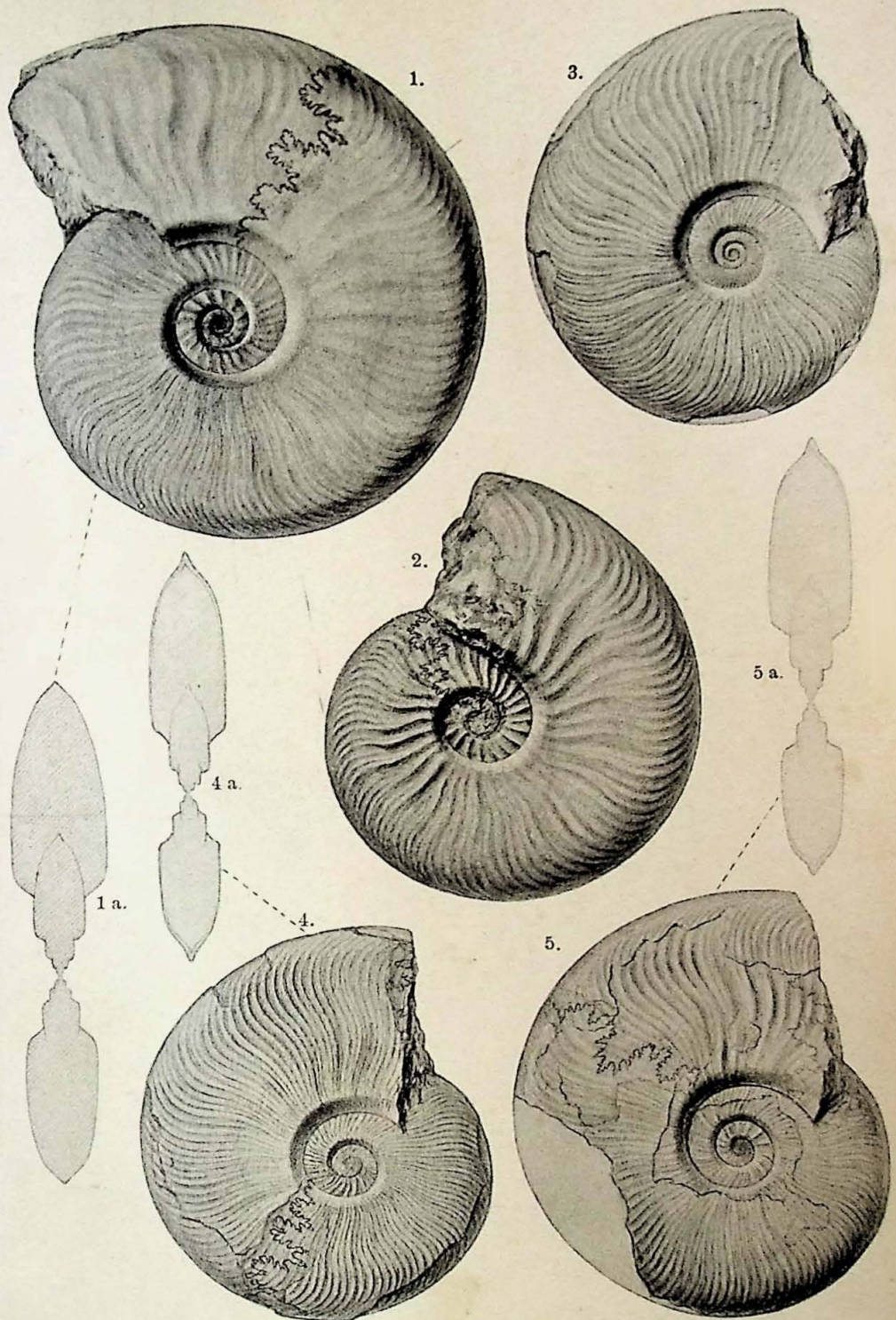
Erklärung zu Tafel LIV.

- Fig. 1. *Harpoceras opalinum* REIN. sp. Graues Lager, Mine de l'Orne, Moyeuvre. L. S. S. 403.
- Fig. 2. *Harpoceras opalinum* REIN. sp. Fig. 2a Querschnitt. Graues Lager, Düdelingen. Sammlung des Athenäum in Luxemburg. S. 403.
- Fig. 3. *Harpoceras costosum* QU. Graues Lager, Maringen. L. S. S. 415.
- Fig. 4. *Harpoceras costosum* QU. Graues Lager, Maringen. L. S. S. 415.
- Fig. 5. *Harpoceras costosum* QU. Schichten mit *Harpoc. opalinum*, Reichenbach bei Wintringen (Württemberg). U. S. S. 415.
- Fig. 6. *Harpoceras partitum* S. S. BUCKM. Graues Lager, Rangwall. L. S. S. 414.
- Fig. 7. *Harpoceras partitum* S. S. BUCKM. Graues Lager, Kneuttingen. L. S. S. 414.
-



Erklärung zu Tafel LV.

- Fig. 1. *Harpoceras plicatellum* S. S. BUCKM. Fig. 1a Querschnitt.
Graues Lager, Grube Friede bei Aumetz L. S. S. 411.
- Fig. 2. *Harpoceras plicatellum* S. S. BUCKM. Graues Lager,
Grube Friede bei Aumetz. L. S. S. 411.
- Fig. 3. *Harpoceras plicatellum* S. S. BUCKM. Schichten mit
Harpoceras opalinum, La Verpillière, Isère. U. S. S. 411.
- Fig. 4. *Harpoceras plicatellum* S. S. BUCKM. Fig. 4a Querschnitt.
Schichten mit *Harpoc. opalinum*, Gundershofen. L. S.
S. 411.
- Fig. 5. *Harpoceras plicatellum* S. S. BUCKM. Fig. 5a Querschnitt.
Graues Lager, Grube Orne, Moyeuvre. L. S. S. 411.

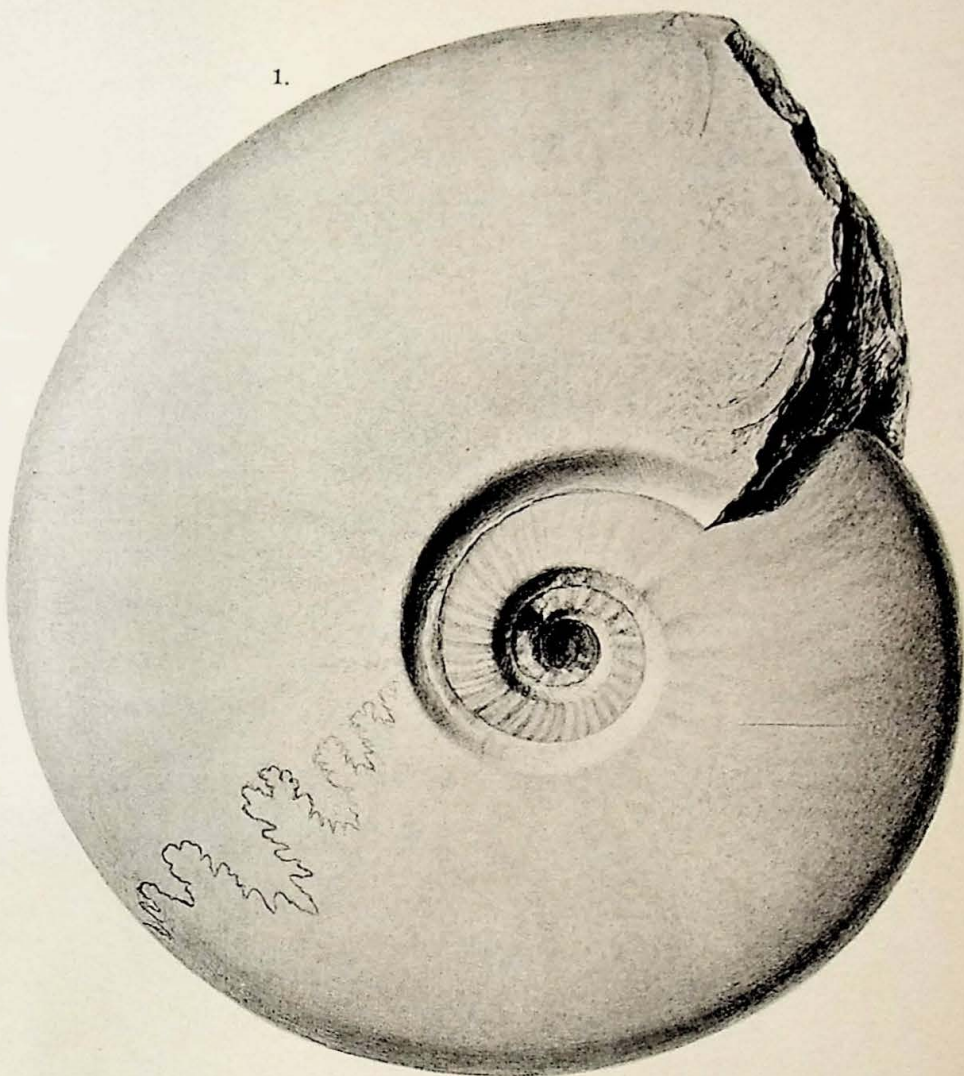


Erklärung zu Tafel LVI.

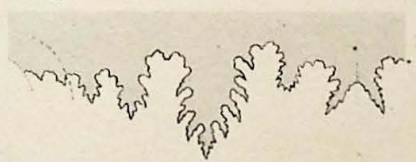
Fig. 1. *Harpoceras bradfordense* S. S. Buckm. Schichten mit
Harpoc. Murchisonae, Oettingen. L. S. S. 423.

Fig. 2. *Harpoceras bradfordense* S. S. BUCKM. Sutur. Schichten
mit *Harpoceras Murchisonae*, Oettingen. L. S. S. 423.

1.

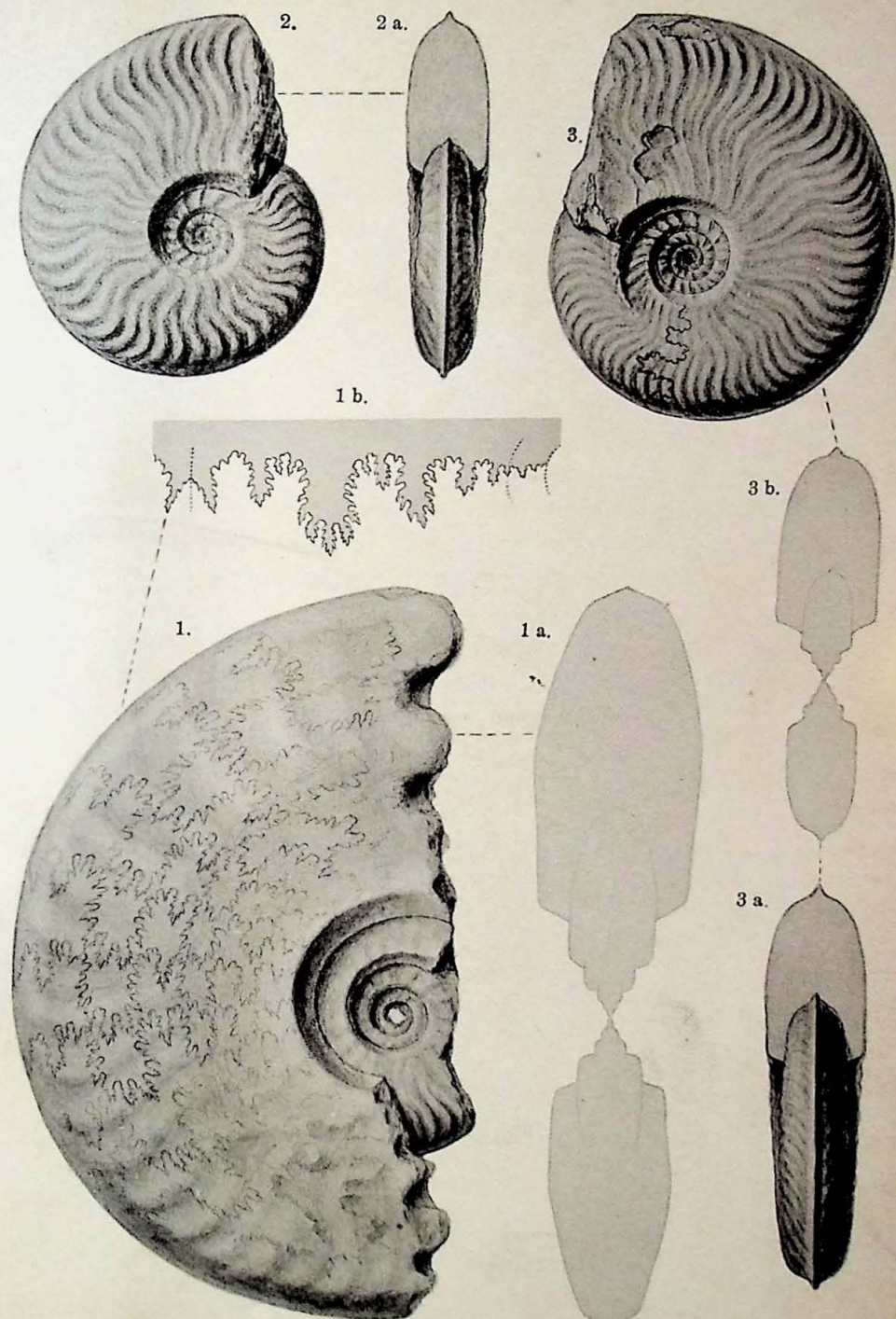


2.



Erklärung zu Tafel LVII.

- Fig. 1. *Harpoceras Murchisonae* Sow. Fig. 1a Querschnitt,
1b Sutur. Schichten des *Harpoc. Murchisonae*. Düde-
lingen. Sammlung des Athenäum in Luxemburg. S. 416.
- Fig. 2. *Harpoceras bradfordense* S. S. BUCKM. Fig. 2a Ansicht
von vorn. Schichten des *Harpoc. Murchisonae*, Galgen-
berg bei Esch. L. S. S. 423.
- Fig. 3. *Harpoceras bradfordense* S. S. BUCKM. Fig. 3a Ansicht
von vorn. Fig. 3b Querschnitt. Schichten des *Harpo-
ceras Murchisonae*. Galgenberg bei Esch. L. S. S. 423.



Erklärung zu Tafel LVIII.

- Fig. 1. *Ichthyosaurus* sp. Wirbel aus dem vorderen Teil des Rumpfes, von vorn. Fig. 1a von der Seite. Fig. 1b von oben. Oberer Teil der Erzformation. Beles in Luxemburg. Sammlung des Athenäum in Luxemburg. S. 426.
- Fig. 2. *Ichthyosaurus* sp. Wirbel aus dem vorderen Teil des Schwanzes von vorn, fig. 2b von der Seite. ? Rotkalkiges Lager, Rüssingen. Sammlung des Athenäum in Luxemburg. S. 431.
-

1.

d a.

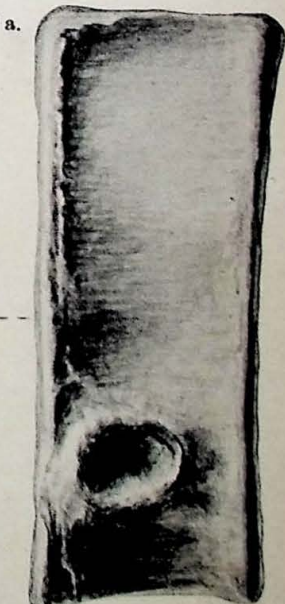
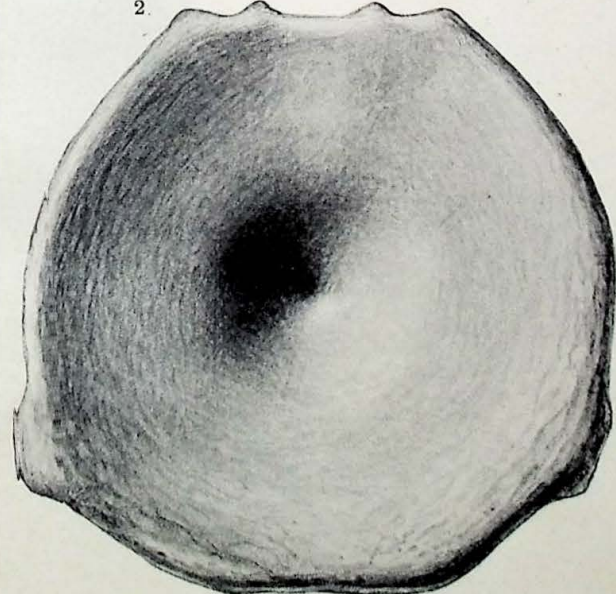
a.

1 b.

1 a.

2 a.

2.



Erklärung zu Tafel LIX.

- Fig. 1. ?*Plesiosaurus* sp. Vorderer Rumpf- oder hinterer Brustwirbel, von hinten. Wahrscheinlich oberes rotkalkiges Lager, Esch. Sammlung des Athenäum in Luxemburg. S. 439.
- Fig. 2. ?*Plesiosaurus* sp. Vorderer Rumpf- oder hinterer Brustwirbel, von vorn. Wahrscheinlich oberes rotkalkiges Lager, Esch. Sammlung des Athenäum in Luxemburg. S. 439.
- Fig. 3. *Plesiosaurus* sp. Brustwirbel von hinten. Oberer Teil der Erzformation. Esch ? jedenfalls aus dem Luxemburgischen. Sammlung des Athenäum in Luxemburg. S. 433.
-

